

SPECIFICATIES VOOR LATITUDE INTEGRATION IDCO EN
HL7

LATITUDE™ NXT

LATITUDE NXT Patiëntenmanagementsysteem

Остаряла версия. Да не се използва.
Zastaralá verze. Nepoužívat.
Forældet version. Må ikke anvendes.
Version überholt. Nicht verwenden.
Aegunud versioon. Ärge kasutada.
Παλιά έκδοση. Μην την χρησιμοποιείτε.
Outdated version. Do not use.
Versión obsoleta. No utilizar.
Version périmée. Ne pas utiliser.
Zastarjela verzija. Nemojte upotrebljavati.
Úreлт útгáфа. Notið ekki.
Versione obsoleta. Non utilizzate.
Pasenjela verzija. Nenaudokite.
Elavult verzió. Ne használja!
Dit is een verouderde versie. Niet gebruiken.
Utdatert versjon. Skal ikke brukes.
Wersja przeterminowana. Nie używać.
Versão obsoleta. Não utilize.
Versiune expirată. A nu se utiliza.
Zastaraná verzia. Nepoužívať.
Zastarela različica. Ne uporabite.
Vanhentunut versio. Älä käytä.
Föråldrad version. Använd ej.
Güncel olmayan sürüm. Kullanmayın.

Остаряла версия. Да не се използва.
Zastaralá verze. Nepoužívat.
Forældet version. Må ikke anvendes.
Version überholt. Nicht verwenden.
Aegunud versioón. Myn þyn Χρησιμοποιείτε.
Παλιά έκδοση. Μην την Χρησιμοποιείτε.
Outdated version. Do not use.
Versión obsoleta. No utilizar.
Version périmée. Ne pas utiliser.
Zastarjela verzija. Nemojte upotrebljavati.
Úrelt útgáfa. Notið ekki.
Versione obsoleta. Non utilizzare.
Pasenusi versija. Neizmantot.
Elavult verzió. Ne használja!
Utdatert versjon. Nenaudokite.
Wersja przeterminowana. Nie używać.
Versão expiratã. A nu se utiliza.
Versiune expirată. Nu se utilizează.
Zastaraná verzia. Nepoužívat.
Zastarela različica. Ne uporabite.
Vanhentunut versio. Älä käytä.
Föråldrad version. Använd ej.
Güncel olmayan sürüm. Kullanmayın.

OVERZICHT

Dit document bevat paragrafen over zowel IDCO als HL7 voor Latitude NXT.

OPMERKINGEN: *Er wordt aangenomen dat de lezers van dit document bekend zijn met terminologie, specificatiesyntaxis, gegevenstypen, berichtstructuren en semantiek voor IDCO-berichten met de HL7- en IDCO-standaard. Meer informatie vindt u via de volgende links:*

- www.hl7.org voor HL7-berichtgeving
- www.ihe.net voor IDCO-berichtgeving
- http://ihe.net/Technical_Framework/index.cfm#pcd voor PCD-09 Technical Framework (bestaat uit Vol. 1, 2 en 3)
- <http://standards.ieee.org/findstds/standard/11073-10103-2012.html> voor IEEE IDCO-nomenclatuur

De volgende zijn handelsmerken van Boston Scientific Corporation of haar dochterondernemingen:

LATITUDE, RYTHMIQ.

Остаряла версия. Да не се използва.
Zastaralá verze. Nepoužívat.
Forældet version. Må ikke anvendes.
Version überholt. Nicht verwenden.
Aegunud versioón. Myn þyn Χρησιμοποιείτε.
Παλιά έκδοση. Μην την Χρησιμοποιείτε.
Outdated version. Do not use.
Versión obsoleta. No utilizar.
Version périmée. Ne pas utiliser.
Zastarjela verzija. Nemojte upotrebljavati.
Úrelt útgáfa. Notið ekki.
Versione obsoleta. Non utilizzare.
Pasenusi versija. Neizmantot.
Elavult verzió. Ne használja!
Wersja przeterminowana. Niet gebruiken.
Versão expiratã. A nu se utiliza.
Versiune expirată. Skal ikke brukes.
Zastaraná verzia. Nie używać.
Zastarela različica. Ne uporabite.
Vanhentunut versio. Älä käytä.
Föråldrad version. Använd ej.
Güncel olmayan sürüm. Kullanmayın.

INHOUDSTABEL

| | |
|---|------------|
| OVERZICHT..... | 1-1 |
| HOOFDSTUK 1 | |
| Overzicht IDCO..... | 1-2 |
| LATITUDE IDCO-BERICHTENSPECIFICATIE | 2-1 |
| HOOFDSTUK 2 | |
| Latitude IDCO-berichtenspecificatie | 2-2 |
| Segmentstructuur..... | 2-2 |
| MSH-segmentstructuur..... | 2-2 |
| PID-segmentstructuur..... | 2-2 |
| Standaardpatiëntcode IDCO (eerste code in de lijst)..... | 2-2 |
| Patiënt-id Latitude (tweede code in de lijst)..... | 2-2 |
| PV1-segmentstructuur..... | 2-3 |
| PV2-segmentstructuur..... | 2-3 |
| OBR-segmentstructuur..... | 2-3 |
| OBX-segmentstructuur..... | 2-3 |
| Outputparameters..... | 2-4 |
| NTE-segmentstructuur..... | 2-4 |
| Rapporten..... | 2-5 |
| Gepresenteerd EGM rapport..... | 2-5 |
| Detailrapport events..... | 2-5 |
| Gecombineerd follow-uprapport..... | 2-5 |
| Rapport Aritmie-logboek..... | 2-5 |
| Heart Failure Management rapport..... | 2-5 |
| Namen van rapporten in het bericht..... | 2-5 |
| Basistermen | 2-6 |
| GEGEVENS VAN GEÏMPLANTEERDE APPARATEN CONVERTEREN NAAR IDCO- BERICHTEN | 3-1 |
| HOOFDSTUK 3 | |
| Batterijstatus..... | 3-2 |
| SET_BRADY_SENSOR_TYPE..... | 3-2 |
| Episodemapping | 3-2 |
| Tellermapping | 3-4 |
| Leadconfiguratiemapping | 3-4 |
| Systeembepervingen..... | 3-5 |
| Definities van alarmen en waarschuwingen..... | 3-6 |

| | |
|--|------------|
| Rapporten | 3-6 |
| VOORBEELD VAN IDCO-BESTANDEN | 4-1 |
| HOOFDSTUK 4 | |
| Voorbeeld van IDCO-bestanden..... | 4-2 |
| Voorbeeldbericht 1 — S-ICD-Apparaat | 4-2 |
| Voorbeeldbericht 2 — Overige Apparaten (Niet S-ICD) | 4-3 |
| OVERZICHT..... | 5-1 |
| HOOFDSTUK 5 | |
| Overzicht HL7..... | 5-2 |
| LATITUDE HL7-BERICHTENSPECIFICATIE | 6-1 |
| HOOFDSTUK 6 | |
| Latitude HL7-berichtenspecificatie..... | 6-2 |
| MSH-segmentstructuur..... | 6-2 |
| PID-segmentstructuur | 6-4 |
| NTE-segmentstructuur | 6-5 |
| PV1-segmentstructuur..... | 6-6 |
| PV2-segmentstructuur..... | 6-7 |
| OBR-segmentstructuur..... | 6-7 |
| Groep-id's observatierapport..... | 6-9 |
| OBX-segmentstructuur..... | 6-9 |
| ZUx-segmentstructuur..... | 6-10 |
| DEFINITIES VAN HL7-TERMEN VOOR LATITUDE | 7-1 |
| HOOFDSTUK 7 | |
| Definities van HL7-terminen voor Latitude..... | 7-2 |
| OBX-terminen die worden gebruikt in de groep OBR–1 (Gegevens laatste opvraging)..... | 7-2 |
| OBX-terminen die worden gebruikt in de groep OBR–2 (Implantatiegegevens)..... | 7-9 |
| OBX-terminen die worden gebruikt in de groep OBR–3 (Gegevens laatste poliklinische leadtest) | 7-10 |
| OBX-terminen die worden gebruikt in de groep OBR–4 (Leadinformatiegegevens)..... | 7-11 |
| VOORBEELD VAN HL7-BESTAND | 8-1 |
| HOOFDSTUK 8 | |
| Voorbeeld van HL7-bestand..... | 8-2 |
| Voorbeeldbericht 1 — S-ICD-Apparaat | 8-2 |
| Voorbeeldbericht 2 — Overige Apparaten (Niet S-ICD) | 8-3 |

Остаряла версия. Да не се използва.
Zastaralá verze. Nepoužívat.
Forældet version. Må ikke anvendes.
Version überholt. Nicht verwenden.
Aegunud versioon. Ärge kasutage.
Παλιά έκδοση. Μην την χρησιμοποιείτε.
Outdated version. Do not use.
Version périmée. Ne pas utiliser.
Zastarjela verzija. Neizmantot.
Úreлт útγάfa. Notið ekki.
Versione obsoleta. Non utilizzare.
Zastarjela verzija. Nenaudokite.
Pasenusi versija. Neizmantot.
Elavult verzió. Ne használja!
Utdatert versjon. Nenaudokite.
Wersja przeterminowana. Nie używać.
Versão obsoleta. Não utilize.
Versione expirată. A nu se utiliza.
Zastaraná verzia. Nepoužívat.
Zastarela različica. Ne uporabite.
Vanhentunut versio. Älä käytä.
Föråldrad version. Använd ej.
Güncel olmayan sürüm. Kullanmayın.

Остаряла версия. Да не се използва.
Zastaralá verze. Nepoužívat.
Forældet version. Må ikke anvendes.
Version überholt. Nicht verwenden.
Aegunud versioón. Myn þyn Χρησιμοποιείτε.
Παλιά έκδοση. Μην την χρησιμοποιείτε.
Outdated version. Do not use.
Versión obsoleta. No utilizar.
Version périmée. Ne pas utiliser.
Zastarjela verzija. Nemojte upotrebljavati.
Úrelt útgáfa. Notið ekki.
Versione obsoleta. Non utilizzare.
Pasenusi versija. Neizmantot.
Elavult verzió. Ne használja!
Dit is een verouderde versie. Niet gebruiken.
Wersja przeterminowana. Nie używać.
Versão expiratã. A nu se utiliza.
Versiune expiratã. Nu se utilize.
Zastaraná verzia. Nepoužívat.
Zastarela različica. Ne uporabite.
Vanhentunut versio. Älä käytä.
Föråldrad version. Använd ej.
Güncel olmayan sürüm. Kullanmayın.

OVERZICHT

HOOFDSTUK 1

In dit hoofdstuk worden de volgende onderwerpen beschreven:

- “Overzicht IDCO” op pagina 1-2

Остаряла версия. Да не се използва.
Zastaralá verze. Nepoužívat.
Forældet version. Må ikke anvendes.
Version überholt. Nicht verwenden.
Aegunud versioón. Myn þyn Χρησιμοποιείτε.
Παλιά έκδοση. Μην την Χρησιμοποιείτε.
Outdated version. Do not use.
Version obsolete. Ne utilizar.
Zastarjela verzija. Nemojte upotrebljavati.
Úrelt útgáfa. Notið ekki.
Versione obsolete. Non utilizzare.
Zastarjela verzija. Neizmantot.
Úreлт útgáfa. Notið ekki.
Pasenusi versija. Nenaudokite.
Elavult verzió. Ne használja!
Dit is een verouderde versie. Niet gebruiken.
Utdatert versjon. Skal ikke brukes.
Wersja przeterminowana. Nie używać.
Versão obsoleta. Não utilize.
Versione expirată. A nu se utiliza.
Zastaraná verzia. Nepoužívat.
Zastarela različica. Ne uporabite.
Vanhentunut versio. Älä käytä.
Föråldrad version. Använd ej.
Güncel olmayan sürüm. Kullanmayın.

OVERZICHT IDCO

Het Boston Scientific LATITUDE-systeem voor patiëntbewaking op afstand genereert IDCO-berichten (Implantable Device - Cardiac - Observation) op basis van de specificaties en definities in dit document. De berichten zijn in overeenstemming met het profiel voor Integrating the Healthcare Enterprise (IHE) Patient Care Device (PCD) Technical Framework IDCO. Deze berichten worden gebruikt om patiëntgegevens over te brengen naar EMR- of CIS-systemen (respectievelijk Electronic Medical Record en Clinical Information System).

Dit document is bedoeld voor klanten van Boston Scientific (BSC) LATITUDE die (1) IDCO-berichten integreren in een EMR-systeem en (2) gebruikmaken van een EMR- of CIS-systeem om patiëntgegevens te volgen en te beheren. De eerste paragraaf van dit document ("LATITUDE IDCO-berichtsamenstelling") is hoofdzakelijk bedoeld voor technisch personeel dat zich bezighoudt met berichtintegratie. Het tweede deel is voornamelijk bedoeld voor de arts als extra informatie bij de Boston Scientific-versie van de gegevens in het bericht.

OPMERKINGEN: *Er wordt aangenomen dat de lezers van deze paragraaf bekend zijn met terminologie, specificatiesyntaxis, gegevenstypen, berichtstructuren en semantiek voor IDCO-berichten met de HL7- en IDCO-standaard. Meer informatie vindt u via de volgende links:*

- www.hl7.org voor HL7-berichtgeving
- www.ihe.net voor IDCO-berichtgeving
- http://ihe.net/Technical_Framework/index.cfm#pcd voor PCD-09 Technical Framework (bestaat uit Vol. 1, 2 en 3)
- <http://standards.ieee.org/findstds/standard/11073-10103-2012.html> voor IEEE IDCO-nomenclatuur

LATITUDE IDCO-BERICHTENSPECIFICATIE

HOOFDSTUK 2

In dit hoofdstuk worden de volgende onderwerpen beschreven:

- “Latitude IDCO-berichtsenspecificatie” op pagina 2-2
- “Segmentstructuur” op pagina 2-2
- “MSH-segmentstructuur” op pagina 2-2
- “PID-segmentstructuur” op pagina 2-2
- “PV1-segmentstructuur” op pagina 2-3
- “PV2-segmentstructuur” op pagina 2-3
- “OBR-segmentstructuur” op pagina 2-3
- “OBX-segmentstructuur” op pagina 2-3
- “Outputparameters” op pagina 2-4
- “NTE-segmentstructuur” op pagina 2-4
- “Rapporten” op pagina 2-5
- “Basistermen” op pagina 2-6

LATITUDE IDCO-BERICHTENSPECIFICATIE

Het LATITUDE IDCO-bericht is een PCD-09-bericht op basis van IHE PCD Technical Framework Revision 3.0, 11 oktober 2013. Conform het technische kader is het bericht een standaard ongevraagd HL7 v2.6-bericht voor orders en observaties met observaties die zijn uitgevoerd door het geïmplanteerde apparaat en die zijn gecodeerd met behulp van de ISO/IEEE 11073-10103:2014 IDC-nomenclatuur. In deze internationale standaard wordt een universeel model beschreven voor de interoperabiliteit van medische elektronische gegevens.

Waarden tussen aanhalingstekens in de waardekolommen in onderstaande tabellen geven aan dat het om harde codering gaat die altijd op deze manier wordt weergegeven. Bij waarden zonder aanhalingstekens gaat het om een voorbeeld of een beschrijving van de waarde.

SEGMENTSTRUCTUUR

Alle gegevens worden verzonden per PCD-09. De informatie in deze paragraaf is bedoeld om de BSC-output voor IDCO-berichten te definiëren. De informatie is niet volledig en is niet bedoeld om de IDCO-nomenclatuur verder te definiëren.

MSH-SEGMENTSTRUCTUUR

Het MSH-segment bevat informatie over de verzender en ontvanger van het bericht, het type bericht, een tijdstempel, enzovoort. Het is het eerste segment in elk IDCO-bericht.

| ELEMENTNAAM | SEQ | SUB SEQ | WAARDE |
|------------------------|-----|---------|----------------------|
| Verzendtoepassing | 3 | | "LATITUDE" |
| Verzenderinstelling | 4 | | "BOSTON SCIENTIFIC" |
| Ontvangende instelling | 6 | | LATITUDE-klinieknaam |
| Tekenset | 18 | | "UNICODE UTF-8" |

PID-SEGMENTSTRUCTUUR

Het PID-segment bevat patiëntcodegegevens zoals naam, id-codes, postcode, enzovoort. Deze informatie wordt gebruikt voor patiëntkoppeling.

LATITUDE stelt klinieken in staat om (optioneel) hun eigen patiënt-id toe te voegen aan het LATITUDE-systeem. De optionele patiënt-id wordt opgenomen in het geëxporteerde IDCO-bericht. Indien deze door de kliniek gedefinieerde patiënt-id wordt gebruikt, worden deze als tekst weergegeven in de patiëntcodelijst (reeks 3) na een tildesymbool (~).

Standaardpatiëntcode IDCO (eerste code in de lijst)

| ELEMENTNAAM | SEQ | SUB SEQ | WAARDE |
|-----------------------|-----|---------|--------|
| Patiëntcode | 3 | | |
| Toewijzende instantie | 3 | 4 | "BSX" |

Patiënt-id Latitude (tweede code in de lijst)

| ELEMENTNAAM | SEQ | SUB SEQ | WAARDE |
|---------------------|-----|---------|---------------------|
| Patiëntcodelijst | 3 | | |
| Identificatienummer | 3 | 1 | LATITUDE-patiënt-id |

| | | | |
|--------------------------|---|---|----------------------|
| Toewijzende instantie | 3 | 4 | LATITUDE-klinieknaam |
| Code voor het soort code | 3 | 5 | "U" |

Voorbeeld:

```
PID|1|model:N119/serial:123456^^^BSX^U~{Patiënt-id LATITUDE} ^^^{Naam  
LATITUDE-kliniek}^U||PatientLastName^VoornaamPatiënt ^^^^^^|19550116|U|...
```

PV1-SEGMENTSTRUCTUUR

Het segment PV1 (patiëntenbezoek) bevat informatie over de behandelend arts van de patiënt.

| ELEMENTNAAM | SEQ | SUB SEQ | WAARDE |
|---------------|-----|---------|--------|
| Patiëntklasse | 2 | | "R" |

PV2-SEGMENTSTRUCTUUR

Het segment PV2 (patiëntenbezoek 2) bevat informatie over de LATITUDE-groep van de patiënt.

| ELEMENTNAAM | SEQ | SUB SEQ | WAARDE |
|--|-----|---------|---|
| Naam van organisatie (groep) | 23 | 1 | Naam van LATITUDE-groep Voorbeeld: Cardiologie |
| Identificatienummer (primaire of secundaire patiëntengroep) | | 3 | 1 Zie opmerking a |

- a. De waarde is "1" als het HL7-bestand is gekoppeld aan de primaire LATITUDE-groep; de waarde is "2" als het is gekoppeld aan de secundaire LATITUDE-groep.

OBR-SEGMENTSTRUCTUUR

OBR-segmenten zijn de sectiekoppen voor afzonderlijke OBX-segmenten voor opgevraagde informatie. Deze bevatten gegevens als tijdstempels, een rapportcode en een unieke door het systeem gegenereerde code.

| ELEMENTNAAM | SEQ | SUB SEQ | VOORBEELDWAARDE |
|------------------------------|-----|---------|--|
| Universele servicecode | 4 | | |
| Code | | 1 | 754053 |
| Tekst | | 2 | Zie opmerking a |
| Nummer observatiedatum/-tijd | 7 | | 20060429080005+0000 Zie opmerking b |
| Resultaatstatus | 25 | | "F" Zie opmerking c |

- a. De tekst voor de universele servicecode heeft de vorm MDC_IDC_ENUM_SESS_TYPE_{sessietype} (bijv. MDC_IDC_ENUM_SESS_TYPE_RemoteScheduled).
- b. Observatiedatum/-tijd is de tijdstempel voor het moment waarop het geplanteerde apparaat is opgevraagd. De tijdstempel maakt gebruik van de tijdzone die is ingesteld voor de patiënt.
- c. Resultaatstatus is "F" (eindresultaten).

OBX-SEGMENTSTRUCTUUR

OBX-segmenten bevatten gegevens die zijn verzameld gedurende de recentste apparaatopvraging.

| ELEMENTNAAM | SEQ | SUB SEQ | WAARDE |
|------------------------------|-----|---------|--|
| Resultaatstatus observatie | 11 | | "F" Zie opmerking a |
| Datum/tijd van de observatie | 14 | | 20060317170000+0000 Zie opmerking b |

- a. Resultaatstatus is "F" (eindresultaten).
b. De datum van de meting wordt vermeld als de datum van de meting afwijkt van de observatiedatum in de OBR.

OUTPUTPARAMETERS

- Tekenreeksen worden verzonden in de taal die is geconfigureerd voor de kliniek in LATITUDE.
- Numerieke waarden worden altijd verzonden met de punt "." als radixpunt (d.w.z. decimaalpunt).

NTE-SEGMENTSTRUCTUUR

- S-ICD-apparaten

- Als het apparaat zich in een modus bevindt waar instellingen niet relevant zijn (bijvoorbeeld MRI-modus), bevat de eerste NTE informatie over de huidige status van het apparaat.
Voorbeeld:

```
NTE|1||Pieper is momenteel uitgeschakeld.\.br\\.br\Het apparaat bevindt
zich in MRI Beschermingsmodus\.br\Starttijd: Sep 04, 2015 00:45 CDT
\.br\Geplande time-out: Sep 04, 2015 06:45 CDT\.br\Na het afsluiten
van de MRI Beschermingsmodus is de therapie AAN.
```

- Als het apparaat zich in een modus bevindt waar instellingen relevant zijn, bevat de eerste NTE informatie over de instellingen met de indeling *label:waarde*, waarbij de instellingen worden gescheiden met een regeleinde (\.br). Voorbeeld:

```
NTE|1||Detectie-configuratie: Primary\.br\Gain-instelling: 2X\.br\
Post-shock stimulatie: AAN
```

- Als er apparaatstatusinformatie aanwezig is, wordt de volledige apparaatstatus in de tweede NTE getoond. Voorbeeld:

```
NTE|2||Apparaat moet direct worden nagekeken.\.br\
\.br\Bel Boston Scientific -BD.\.br\\.br\Amerikaans continent:
1.800.CARDIAC (227.3422) of +1.651.582.4000\.br
\Europa, Midden-Oosten, Afrika: +32 2 416 7222
\.br\Azië-Oceanië: +61 2 8063 8299
```

- Alle overige apparaten

- Bij een alarm is er sprake van één NTE voor elk alarm.

- In geval van een waarschuwing gaat aan een of meerdere alarm-NTE's een waarschuwings-NTE vooraf. Een waarschuwings-NTE bevat een of meerdere waarschuwingen in één NTE.

RAPPORTEN

Gepresenteerd EGM rapport

Als het gepresenteerde EGM-rapport beschikbaar is in de payload die is ontvangen van de PG, wordt het als PDF bij het bericht gevoegd, en wordt het gekoppeld aan de betreffende APMRT-episode met behulp van de groep-id (OBX-4) voor de APMRT-episode.

Detailrapport events

Indien een of meer episodes voorkomen in een opvraging van de PG, wordt een PDF-bestand met het Detailrapport events verzonden voor elke episode. Elk PDF-bestand wordt aan de bijbehorende episode gekoppeld (MDC_IDC_EPISODE) met de groeps-id (OBX-4). In een poging de EMR-bestandsgrootte en het aantal episodes in het bericht te beperken, heeft een episode niet altijd een geassocieerd PDF-bestand. Indien het aantal PDF-bestanden beperkt is, zal het systeem proberen balans aan te brengen door PDF-bestanden met de hoogste prioriteit en een paar episodetypen met lagere prioriteit bij te voegen. De naam van de episode, inclusief de episode-id, wordt in het bericht opgenomen (zie het gedeelte "Namen van rapporten in het bericht" in dit document voor meer informatie). Bijvoorbeeld:

```
OBX|18|CWE|739568^MDC_IDC_EPISODE_TYPE^MDC|2|754883
^MDC_IDC_ENUM_EPISODE_TYPE_Epis_ATAF^MDC|||||F
OBX|19|CWE|739600^MDC_IDC_EPISODE_VENDOR_TYPE^MDC|2|771078
^MDC_IDC_ENUM_EPISODE_VENDOR_TYPE_BSX-Epis_ATR^MDC|||||F
OBX|20|NM|739616^MDC_IDC_EPISODE_ATRIAL_INTERVAL_AT_DETECTION
^MDC|2|247|ms|||||F
OBX|21|NM|739712^MDC_IDC_EPISODE_DURATION^MDC|2|4|s|||||F
OBX|22|ED|18750-0^Elektrofysiologierapport hart^LN
^^ATR-44 - Detailrapport
events|2|Application^PDF^^Base64^
{hier het gecodeerde PDF voor base 64}|||||F|||201606010918-0500
```

OPMERKING: Gebruik bij dit voorbeeld dezelfde indeling als bij het voorbeeld in het gedeelte "Namen van rapporten in het bericht".

Gecombineerd follow-uprapport

Een gecombineerd follow-uprapport wordt als PDF aan een bericht toegevoegd in een afzonderlijke OBX.

Rapport Aritmie-logboek

Een aritmie-logboekrapport wordt als PDF aan een bericht toegevoegd in een afzonderlijke OBX.

Heart Failure Management rapport

Een Heart Failure Management rapport wordt als PDF aan een bericht toegevoegd in een afzonderlijke OBX.

Namen van rapporten in het bericht

Elk OBX-segment bevat de naam van het rapport in OBX-3.5. Voorbeeld:

```
OBX|51|ED|18750-0^Elektrofysiologierapport hart^LN^^Gecombineerd
follow-uprapport||Toepassing^PDF^^Base64^{hier het gecodeerde PDF
voor base 64}|...
```

BASISTERMEN

De volgende tabel bevat nomenclatuurtermen die kunnen voorkomen in een BSC IDCO-bericht.

| REFERENCE IDPREPEND MDC_IDC_ | Weergavenaam |
|------------------------------|---|
| DEV | Implanteerbaar cardiaal apparaat |
| _TYPE | Type implanteerbaar cardiaal apparaat |
| _MODEL | Model van implanteerbaar cardiaal apparaat |
| _SERIAL | Serienummer van implanteerbaar cardiaal apparaat |
| _MFG | Fabrikant van implanteerbaar cardiaal apparaat |
| _IMPLANT_DT | Implantatiedatum van implanteerbaar cardiaal apparaat |
| LEAD | Attributen van implanteerbare lead |
| _MODEL | Model van implanteerbare lead |
| _SERIAL | Serienummer van implanteerbare lead |
| _MFG | Fabrikant van implanteerbare lead |
| _IMPLANT_DT | Implantatiedatum van implanteerbare lead |
| _POLARITY_TYPE | Type polariteit van implanteerbare lead |
| _LOCATION | Locatie van implanteerbare lead |
| _LOCATION_DETAIL_1 | Detail 1 van locatie van implanteerbare lead |
| SESS | Opvraagessie |
| _DTM | Datum/tijd van opvraagessie |
| _TYPE | Type opvraagessie |
| _CLINIC_NAME | Naam van kliniek |
| MSMT | Metingen |
| _BATTERY | Batterijmetingen |
| _DTM | Datum/tijd van batterijmetingen |
| _STATUS | Batterijstatus |
| _REMAINING_LONGEVITY | Resterende levensduur batterij |
| _REMAINING_PERCENTAGE | Resterend percentage batterij |
| _CAP | Condensatormetingen |
| _CHARGE_DTM | Datum/tijd van laatste keer opladen van condensator |
| _CHARGE_TIME | Laadtijd van condensator |
| _CHARGE_TYPE | Laadtype van condensator |
| _CHARGE_ENERGY | Laadvermogen |
| _LEADCHNL_[CHAMBER] | Leadkanaalmetingen |
| _DTM_[STRTEND] | Datum en tijd van leadkanaalmetingen |
| _LEAD_CHANNEL_STATUS | Leadkanaalstatus |

| | |
|----------------------------|--|
| _SENSING | Detectiemetingen van leadkanaal |
| _INTR_AMPL_[MMM] | Intrinsieke amplitude leadkanaaldetectie |
| _POLARITY | Polariteit van leadkanaaldetectie |
| _PACING_THRESHOLD | Metingen van stimulatiedrempel van leadkanaal |
| _AMPLITUDE | Amplitude van stimulatiedrempel van leadkanaal |
| _PULSEWIDTH | Pulsduur van stimulatiedrempel van leadkanaal |
| _MEASUREMENT_METHOD | Meetmethode van stimulatiedrempel van leadkanaal |
| _POLARITY | Polariteit van stimulatiedrempel van leadkanaal |
| _IMPEDANCE | Impedantiemetingen van leadkanaal |
| _VALUE | Impedantiewaarde van leadkanaal |
| _POLARITY | Polariteit van leadkanaalimpedantie |
| _LEADHVCHNL | Leadkanaalmetingen hoog voltage |
| _DTM_[STRTEEND] | Datum/tijd leadkanaal hoog voltage |
| _IMPEDANCE | Leadkanaalimpedantie hoog voltage |
| _MEASUREMENT_TYPE | Type leadkanaalmeting hoog voltage |
| _STATUS | Leadkanaalstatus hoog voltage |
| SET | Instellingen |
| _CRT | CRT-instellingen |
| _LVRV_DELAY | CRT LV-RV-interval |
| _PACED_CHAMBERS | Ventriculaire kamers gestimuleerd tijdens CRT-stimulatie |
| _LEADCHNL_[CHAMBER] | Leadkanaalinstellingen |
| _SENSING | Detectie van leadkanaalinstellingen |
| _SENSITIVITY | Detectiegevoeligheid leadkanaalinstellingen |
| _POLARITY | Detectiepolariteit van leadkanaalinstellingen |
| _ANODE_LOCATION_[1..3] | Anodelocatie detectie leadkanaalinstellingen |
| _ANODE_ELECTRODE_[1..3] | Anodeconnector detectie leadkanaalinstellingen |
| _CATHODE_LOCATION_[1..3] | Kathodelocatie detectie leadkanaalinstellingen |
| _CATHODE_ELECTRODE_[1..3] | Kathodeconnector detectie leadkanaalinstellingen |
| _ADAPTATION_MODE | Aanpassingsmodus detectie leadkanaalinstellingen |
| _PACING | Stimulatie van leadkanaalinstellingen |
| _AMPLITUDE | Stimulatieamplitude van leadkanaalinstellingen |

| | |
|---------------------------|--|
| _PULSEWIDTH | Pulsduur van stimulatie van leadkanaalinstellingen |
| _POLARITY | Stimulatiepolariteit van leadkanaalinstellingen |
| _ANODE_LOCATION_[1..3] | Anodelocatie stimulatie leadkanaalinstellingen |
| _ANODE_ELECTRODE_[1..3] | Anodeconnector stimulatie leadkanaalinstellingen |
| _CATHODE_LOCATION_[1..3] | Kathodelocatie stimulatie leadkanaalinstellingen |
| _CATHODE_ELECTRODE_[1..3] | Kathodeconnector stimulatie leadkanaalinstellingen |
| _CAPTURE_MODE | Stimulatiecapturemodus leadkanaalinstellingen |
| _BRADY | Brady-instellingen |
| MODE | Brady-instellingsmodus (NBG-code) |
| _LOWRATE | Basisfrequentie brady-instellingen |
| _SENSOR_TYPE | Sensortype brady-instellingen |
| _MAX_TRACKING_RATE | Maximale trackingfrequentie brady-instellingen |
| _MAX_SENSOR_RATE | Maximale sensorfrequentie brady-instellingen |
| _SAV_DELAY_[HIGHLOW] | SAV-interval brady-instellingen |
| _PAV_DELAY_[HIGHLOW] | PAV-interval brady-instellingen |
| _AT_MODE_SWITCH_MODE | Switchmodus AT-modus brady-instellingen |
| _AT_MODE_SWITCH_RATE | Switchfrequentie AT-modus brady-instellingen |
| _TACHYTHERAPY | Instellingen tachytherapie |
| _VSTAT | Ventriculaire status tachytherapie-instellingen |
| _ZONE | Zone-instellingen |
| _TYPE | Typecategorie zone-instellingen |
| _VENDOR_TYPE | Categorie leverancierstype zone-instellingen |
| _STATUS | Status zone-instellingen |
| _DETECTION_INTERVAL | Detectie-interval zone-instellingen |
| _DETECTION_DETAILS | Detectedetails |
| _TYPE_ATP_[1..10] | ATP-type zone-instellingen |
| _NUM_ATP_SEQS_[1..10] | Aantal ATP-reeksen zone-instellingen |
| _SHOCK_ENERGY_[1..10] | Shockenergie zone-instellingen |
| _NUM_SHOCKS_[1..10] | Aantal shocks zone-instellingen |
| STAT | Statistieken |
| _DTM_[STRTEEND] | Datum/tijd statistieken |
| _BRADY | Bradystatistieken |

| | |
|-------------------------------|---|
| _DTM_[STRTEEND] | Datum/tijd bradystatistieken |
| _RA_PERCENT_PACED | RA-stimulatiepercentage bradystatistieken |
| _RV_PERCENT_PACED | RV-stimulatiepercentage bradystatistieken |
| _AT | Atriale tachystatistieken |
| _DTM_[STRTEEND] | Datum/tijd atriale tachystatistieken |
| _BURDEN_PERCENT | AT/AF-belastingpercentage atriale tachystatistieken |
| _CRT | CRT-statistieken |
| _DTM_[STRTEEND] | Datum/tijd CRT-statistieken |
| _LV_PERCENT_PACED | LV-stimulatiepercentage CRT-statistieken |
| _TACHYTHERAPY | Tachytherapiestatistieken |
| _SHOCKS_DELIVERED_RECENT | Recent afgegeven shocks |
| _RECENT_DTM_[STRTEEND] | Recente datum/tijd |
| _SHOCKS_DELIVERED_TOTAL | Totaal afgegeven shocks |
| _TOTAL_DTM_[STRTEEND] | Totaal datum/tijd |
| _SHOCKS_ABORTED_RECENT | Recent afgebroken shocks |
| _SHOCKS_ABORTED_TOTAL | Totaal afgebroken shocks |
| _ATP_DELIVERED_RECENT | Recent afgegeven ATP |
| _ATP_DELIVERED_TOTAL | Totaal afgegeven ATP |
| _EPISODE | Episodestatistieken |
| _TYPE | Categorie type episodestatistieken |
| _TYPE_INDUCED | Type episodestatistieken geïnduceerd |
| _VENDOR_TYPE | Categorie leverancierstype episodestatistieken |
| _RECENT_COUNT | Recent aantal episodestatistieken |
| _RECENT_COUNT_DTM_[STRTEEND] | Recente datum/tijd episodestatistieken |
| _TOTAL_COUNT | Totale telling |
| _TOTAL_COUNT_DTM_[STRTEEND] | Totaal datum/tijd |
| EPISODE | Episode |
| _ID | Episodecode |
| _DTM | Datum/tijd van episode |
| _TYPE | Categorie episodetype |
| _TYPE_INDUCED | Vlag episodetype geïnduceerd |
| _VENDOR_TYPE | Categorie leverancierstype episode |
| _ATRIAL_INTERVAL_AT_DETECTION | Detectie-interval episode atriaal |

| | |
|------------------------------------|--|
| _VENTRICULAR_INTERVAL_AT_DETECTION | Detectie-interval episode ventriculair |
| _DETECTION_THERAPY_DETAILS | Episodedetectie en therapiedetails |
| _DURATION | Episodeduur |

Остаряла версия. Да не се използва.
 Zastaralá verze. Nepoužívat.
 Forældet version. Må ikke anvendes.
 Version überholt. Nicht verwenden.
 Version obsolete. Μην την χρησιμοποιείτε.
 Outdated version. Ärge kasutage.
 Παλιά έκδοση. Μην την χρησιμοποιείτε.
 Outdated version. Do not use.
 Versión obsoleta. No utilizar.
 Version périmée. Ne pas utiliser.
 Zastarjela verzija. Nemojte upotrebljavati.
 Úrejt útgáfa. Notið ekki.
 Versione obsolete. Non utilizzare.
 Zastarjela verzija. Neizmantot.
 Pasenusi versija. Nenaudokite.
 Elavult verzió. Ne használja!
 Dit is een verouderde versie. Niet gebruiken.
 Utdatert versjon. Skal ikke brukes.
 Wersja przeterminowana. Nie używać.
 Versão obsoleta. Não utilize.
 Versiune expirată. A nu se utiliza.
 Zastaraná verzia. Nepoužívať.
 Zastarela različica. Ne uporabite.
 Vanhentunut versio. Älä käytä.
 Föråldrad version. Använd ej.
 Güncel olmayan sürüm. Kullanmayın.

GEGEVENS VAN GEÏMPLANTEERDE APPARATEN CONVERTEREN NAAR IDCO-BERICHTEN

HOOFDSTUK 3

In dit hoofdstuk worden de volgende onderwerpen beschreven:

- “Batterijstatus” op pagina 3-2
- “SET_BRADY_SENSOR_TYPE” op pagina 3-2
- “Episodemapping” op pagina 3-2
- “Tellermapping” op pagina 3-4
- “Leadconfiguratiemapping” op pagina 3-4
- “Systeembeperkingen” op pagina 3-5
- “Definities van alarmen en waarschuwingen” op pagina 3-6
- “Rapporten” op pagina 3-6

BATTERIJSTATUS

Deze batterijparameters zijn als volgt aan een BSC-batterijstatus gekoppeld:

| BSC-BATTERIJSTATUS (S-ICD-apparaten) | BSC-BATTERIJSTATUS (alle overige apparaten) | IDCO-BATTERIJSTATUS |
|--------------------------------------|---|---------------------|
| >10% resterend tot ERI | BOL | BOS |
| <10% resterend tot ERI | OY | MOS |
| ERI | ERI | RRT |
| EOL | EOL | EOS |

Als er bij een geïmplanteerd apparaat sprake is van beperkte telemetrie, kan de batterijstatus van het apparaat ERI of EOL zijn. Beide batterijstatussen resulteren in hetzelfde bericht: ENUM_BATTERY_STATUS_RRT (ERI) in MSMT_BATTERY_STATUS met de ERI-tijdstempel in MSMT_BATTERY_DTM. Dit is alleen van toepassing op beperkte telemetrie en niet op S-ICD-apparaten.

SET_BRADY_SENSOR_TYPE

Het sensortype wordt verzonden zoals weergegeven in onderstaande tabel.

| VERZONDEN WAARDE VOOR SET_BRADY_SENSOR_TYPE VARIABLE OP BASIS VAN INSTELLING VOOR GEÏMPLANTEERD APPARAAT | INSTELLING GEÏMPLANTEERD APPARAAT |
|--|-----------------------------------|
| "Accelerometer" | Alleen accelerometer |
| "Minuut Volume" | Alleen MV |
| "Accelerometer + MV" | Accelerometer en MV |

Bovenstaande waarden worden alleen verzonden als de frequentie kan worden bestuurd door de sensor (en kunnen dus niet worden verzonden als de sensor zich in de monitorstatus bevindt).

Bovenstaande waarden worden verzonden als de frequentie kan worden bestuurd in de normale bradymodus of in ATR (d.w.z. de waarde komt niet alleen overeen met de normale brachymodus).

Let op: "ATR excl" kan worden weergegeven in rapporten als de ATR-modus een frequentieadapterende modus is, en als de normale bradymodus niet frequentieadapterend is. In dat geval wordt de tekst (bijv. "Accelerometer") nog steeds verzonden voor de ATR-modus. De gebruiker kan de brachymodus en ATR-modus bekijken en bepalen of de frequentierespons exclusief voor ATR is.

EPISODEMAPPING

Episodes, tellers, enzovoort worden verzonden op basis van de informatie in de opvraging. Dezelfde informatie wordt eerst verzonden en vervolgens opnieuw verstuurd, ook als er opvragingen tussen liggen. De EMR-output komt niet altijd overeen met de weergave in het Quick Notes-rapport, omdat in Quick Notes episodes, waarschuwingen en tellers worden weergegeven sinds de laatste reset. Episodes worden weergegeven in een combinatie van normatieve en leveranciersspecifieke typen. Sommige Boston Scientific-episodetypen kunnen niet uniek worden weergegeven in de huidige IDCO-nomenclatuur.

| BSC-EPISODE-ID | BSC-EPISODETYPE | NORMATIEF IDCO-EPISODETYPE | LEVERANCIERSPECIFIEK IDCO-EPISODETYPE |
|-----------------|-----------------|---|--|
| V-x | VF | VF | BSX-Zone_VF |
| V-x | VT | VT | BSX-Epis_VT |
| V-x | VT (V>A) | VT | BSX-Epis_VT |
| V-x | Tachy | Voor SSI-apparaten, bij lead in de: <ul style="list-style-type: none"> • V – VT • A – AT/AF • Ongespecificeerd – VT | Zie opmerking a |
| V-x | NietAanh. | Voor SSI-apparaten, bij lead in de: <ul style="list-style-type: none"> • V – VT • A – AT/AF • Ongespecificeerd – VT | Indien A, leeg anders BSX-Epis_NSVT |
| V-x | SVT (V≤A) | SVT | BSX-Zone_SVT |
| V-x | VT-1 | VT | BSX-Epis_VT-1 |
| RMS-x | RMS | Overig | BSX-Epis_RMS |
| RYTHMIQ™-x | RYTHMIQ™ | Overig | BSX-Epis_RMS |
| ATR-x | ATR | ATAF | BSX-Epis_ATR |
| PMT-x | PMT | Overig | BSX-Epis_PMT |
| PBR-x | PBR | Overig | Zie opmerking a |
| PTM-x | PTM | Door patiënt geactiveerd | BSX-Epis_PTM |
| V-x | Cmnd V | Overig | Zie opmerking a |
| V-x | NietAanhV | VT | BSX-Epis_NSVT |
| APMRT-x | APM RT | Periodieke EGM | BSX-Epis_APMRT |
| RVAT-x | RV Auto | Overig | Zie opmerking a |
| RAAT-x | RA Auto | Overig | Zie opmerking a |
| LVAT-x | LV Auto | Overig | Zie opmerking a |
| MRI-x | MRI | Overig | Zie opmerking a |
| <episodenummer> | Behandeld | VF | BSX-Zone_VF |
| <episodenummer> | Niet-behandeld | Overig | Zie opmerking a |
| <episodenummer> | AF | ATAF | Zie opmerking a |

a. Het leverancierspecifieke episodetype OBX wordt getoond in het bericht met een lege waarde voor observatie.

TELLERMAPPING

Sommige tellers worden opgeteld voordat ze in het bericht worden verzonden. De reden hiervoor is dat niet alle Boston Scientific-tellers momenteel kunnen worden weergegeven in de IDCO-nomenclatuur: De verzonden waarden zijn de waarden sinds de laatste reset.

| BSC-EPISODETELLER | STATISTISCH NORMATIEF IDCO-EPISODETYPE | STATISTISCH LEVERANCIERSPECIFIEK IDCO-EPISODETYPE |
|------------------------------|--|---|
| Behandeld | VF | BSX-Epis_VF |
| Niet-behandeld | Overig | Zie opmerking a |
| VT (V>A) | VT | BSX-Epis_VT |
| Tachy | VT | BSX-Epis_VT |
| NietAanh. | VT | BSX-Epis_NSVT |
| NietAanhV | VT | BSX-Epis_NSVT |
| SVT (V≤A) | SVT | BSX-Epis_SVT |
| ATR | AT/AF | BSX-Epis_ATR |
| MRI | Overig | Zie opmerking a |
| VF | VF | BSX-Epis_VF |
| VT | VT | BSX-Epis_VT |
| VT-1 | VT | BSX-Epis_VT-1 |
| Cmd | Overig | Zie opmerking a |
| Geen therapie geprogrammeerd | Monitor | Zie opmerking a |
| Overige niet-behandelde | Overig | Zie opmerking a |
| RMS | Overig | BSX-Epis_RMS |
| RYTHMIQ™ | Overig | BSX-Epis_RMS |
| PMT | Overig | BSX-Epis_PMT |
| PBR | Overig | Zie opmerking a |
| PTM | Door patiënt geactiveerd | BSX-Epis_PTM |
| APM RT | Periodieke EGM | BSX-Epis_APMRT |
| RA Auto | Overig | Zie opmerking a |
| RV Auto | Overig | Zie opmerking a |
| LV Auto | Overig | Zie opmerking a |

a. de leverancierspecifieke tellerstat OBX wordt getoond in het bericht met een lege waarde voor observatie.

LEADCONFIGURATIEMAPPING

In onderstaande tabel wordt aangegeven hoe leads met meerdere elektroden in IDCO en BSC zijn gedefinieerd. Deze tabel is niet bedoeld als volledige lijst, en bevat alleen gegevens die mogelijk niet duidelijk zijn.

De definities die in BSC worden gebruikt, zijn consistent met de Programmer/Recorder/Monitor (PRM) en de LATITUDE-website.

| BSC-ELEKTRODENAAM | IDCO-ELEKTRODELOCATIE | IDCO-ELEKTRODENAAM |
|-------------------|-----------------------|--------------------|
| Can | Overig | Can |
| LVTip1 | LV | Tip |
| LVRing2 | LV | Ring1 |
| LVRing3 | LV | Ring2 |
| LVRing4 | LV | Ring3 |

MDC_IDC_ENUM_ELECTRODE_LOCATION (locatie stimulatie/detectie anode/kathode) bevat momenteel geen lijst voor de pocket (d.w.z. can). Locatie wordt verzonden als "overig" en elektrode als "can".

De status "lead controleren" geeft aan dat er mogelijk een probleem is met de lead; als de status "lead controleren" echter niet wordt weergegeven, wil dat niet zeggen dat er geen probleem is. Er wordt een status "Controle Lead" verzonden bij een van de volgende statusindicatoren:

- S-ICD-apparaten
 - Hoge elektrode-impedantie
- Alle overige apparaten
 - Veiligheidsschakelaar lead
 - Impedantie buiten bereik
 - Amplitude buiten bereik
 - Lage shock-impedantie
 - Hoge shock-impedantie
 - Hoog voltage tijdens laden

Voor MSMT_LEADCHNL_[CHAMBER] (d.w.z. leadkanaalmetingen zoals intrinsieke amplitude, leadimpedantie, stimulatierempel) is slechts één tijdstempelbereik mogelijk voor alle metingen (dus niet één bereik per meting) in de huidige IDCO-nomenclatuur. Als de meetijden verschillend zijn, wordt er een tijdstempelbereik (d.w.z. MIN, MAX) verzonden dat de tijden van alle metingen bevat. Verder zijn de waarden die worden verzonden een IDCO MEAN-waarde op basis van de IDCO-nomenclatuur. De waarden zijn echter enkele metingen en zijn geen gemiddelde waarden over het tijdstempelbereik.

SYSTEEMBEPERKINGEN

- Tachyspecifieke en kamerspecifieke output zijn zo nauwkeurig mogelijk. In sommige gevallen is het echter zeer belangrijk dat de gegevens worden verzonden. Dit, en het feit dat IDCO bepaalde parameters niet kan weergeven, zorgt ervoor dat de gegevens toch worden verzonden. VT-zone-informatie wordt bijvoorbeeld verzonden alsof bradyapparaten een VT-zone zouden hebben.
- Bij apparaten die geen automatische stimulatierempel (autodrempelfunctie) hebben, wordt de laatste poliklinische drempelmeting verzonden.
- Een goede rapportering van de geïmplanteerde apparaatgegevens en alarmmeldingen door het LATITUDE NXT-systeem is afhankelijk van de al dan niet correcte programmering van de klok van het geïmplanteerde apparaat met een Programmer/Recorder/Monitor (PRM). Een goede rapportering kan ook een tijd nadat de klok van het geïmplanteerde apparaat correct

geprogrammeerd werd beïnvloed worden, afhankelijk van de hoeveelheid gegevens met onnauwkeurige tijdsinformatie en het tijdsverschil van de klok van het geïmplanteerde apparaat.

- Tekenreeksen worden verzonden in de taal die is geconfigureerd voor de kliniek in LATITUDE.

DEFINITIES VAN ALARMEN EN WAARSCHUWINGEN

Waarschuwingen en alarmen worden als opmerkingen bij het bericht gevoegd. Deze opmerkingen worden al dan niet in een EMR weergegeven. Een waarschuwing of alarm wordt in het bericht opgenomen als de gegevens die zijn geüpload van de PG de waarschuwing hebben veroorzaakt.

RAPPORTEN

Gepresenteerd EGM rapport

Als het Gepresenteerde EGM rapport beschikbaar is in de payload die is ontvangen van de PG, wordt het als PDF bij het bericht gevoegd, en wordt het gekoppeld aan de betreffende APMRT-episode met behulp van de groep-id (OBX-4) voor de APMRT-episode.

Detailrapport events

Indien een of meer episodes voorkomen in een opvraging van de PG, wordt een PDF-bestand met het Detailrapport events als bijlage meegestuurd voor elke episode. Elk PDF-bestand wordt aan de bijbehorende episode gekoppeld. Een episode heeft niet altijd een geassocieerd PDF-bestand. Er wordt een beperkt aantal episodes voor elk episodetype bijgevoegd. Indien het aantal episodes beperkt is, maakt het systeem een afweging waarbij PDF-bestanden met de hoogste prioriteit en een paar episodetypen met lagere prioriteit worden bijgevoegd.

Gecombineerd follow-uprapport

Een gecombineerd follow-uprapport wordt als PDF aan het bericht toegevoegd.

Rapport Aritmie-logboek

Een aritmie-logboekrapport wordt als PDF aan een bericht toegevoegd in een afzonderlijke OBX.

Heart Failure Management rapport

Een Heart Failure Management rapport wordt als PDF aan een bericht toegevoegd in een afzonderlijke OBX.

VOORBEELD VAN IDCO-BESTANDEN

HOOFDSTUK 4

In dit hoofdstuk worden de volgende onderwerpen beschreven:

- “Voorbeeld van IDCO-bestanden” op pagina 4-2
- “Voorbeeldbericht 1 — S-ICD-Apparaat” op pagina 4-2
- “Voorbeeldbericht 2 — Overige Apparaten (Niet S-ICD)” op pagina 4-3

Остаряла версия. Да не се използва.
Zastaralá verze. Nepoužívat.
Forældet version. Må ikke anvendes.
Version überholt. Nicht verwenden.
Version obsolete. Mην την χρησιμοποιείτε.
Παλιά έκδοση. Μην την χρησιμοποιείτε.
Outdated version. Do not use.
Version obsolete. Ne utilizar.
Zastarjela verzija. Nemojte upotrebljavati.
Version périmée. Ne pas utiliser.
Úreлт útгáфа. Notið ekki.
Versione obsoleta. Non utilizzare.
Zastarjela verzija. Neizmantot.
Pasenusi versija. Nenaudokite.
Elavult verzió. Ne használja!
Dit is een verouderde versie. Niet gebruiken.
Utdatert versjon. Nenaudokite.
Wersja przeterminowana. Nie używać.
Versão obsoleta. Não utilize.
Versione expirată. A nu se utiliza.
Zastaraná verzia. Nepoužívat.
Zastarela različica. Ne uporabite.
Vanhentunut versio. Älä käytä.
Föråldrad version. Använd ej.
Güncel olmayan sürüm. Kullanmayın.

OBX|28|CWE|731712^MDC_IDC_SET_ZONE_VENDOR_TYPE^MDC|1|771139^MDC_IDC_ENUM_ZONE_VENDOR_TYPE_BSX-Zone_VF^MDC|||||F

OBX|29|CWE|731776^MDC_IDC_SET_ZONE_STATUS^MDC|1|755009^MDC_IDC_ENUM_ZONE_STATUS_Active^MDC|||||F

OBX|30|NM|731840^MDC_IDC_SET_ZONE_DETECTION_INTERVAL^MDC|1|273|ms|||||F

OBX|31|NM|732225^MDC_IDC_SET_ZONE_SHOCK_ENERGY_1^MDC|1|80|J|||||F

OBX|32|CWE|731648^MDC_IDC_SET_ZONE_TYPE^MDC|1|754946^MDC_IDC_ENUM_ZONE_TYPE_Zone_VT^MDC|||||F

OBX|33|CWE|731712^MDC_IDC_SET_ZONE_VENDOR_TYPE^MDC|2|771137^MDC_IDC_ENUM_ZONE_VENDOR_TYPE_BSX-Zone_VT^MDC|||||F

OBX|34|CWE|731776^MDC_IDC_SET_ZONE_STATUS^MDC|2|755009^MDC_IDC_ENUM_ZONE_STATUS_Active^MDC|||||F

OBX|35|NM|731840^MDC_IDC_SET_ZONE_DETECTION_INTERVAL^MDC|2|300|ms|||||F

OBX|36|ST|732032^MDC_IDC_SET_ZONE_DETECTION_DETAILS^MDC|2|SMART Charge: 204,69 s (133 intervallen)|||||F

OBX|37|NM|732225^MDC_IDC_SET_ZONE_SHOCK_ENERGY_1^MDC|2|80|J|||||F

OBX|38|CWE|737952^MDC_IDC_STAT_EPISODE_TYPE^MDC|1|754888^MDC_IDC_ENUM_EPISODE_TYPE_Epis_Other^MDC|||||F

OBX|39|CWE|737984^MDC_IDC_STAT_EPISODE_VENDOR_TYPE^MDC|1|||||F

OBX|40|NM|738000^MDC_IDC_STAT_EPISODE_RECENT_COUNT^MDC|1|1|||||F

OBX|41|DTM|738017^MDC_IDC_STAT_EPISODE_RECENT_COUNT_DTM_START^MDC|1|20150126|||||F

OBX|42|DTM|738018^MDC_IDC_STAT_EPISODE_RECENT_COUNT_DTM_END^MDC|1|20150126|||||F

OBX|43|NM|738032^MDC_IDC_STAT_EPISODE_TOTAL_COUNT^MDC|1|1|||||F

OBX|44|DTM|738049^MDC_IDC_STAT_EPISODE_TOTAL_COUNT_DTM_START^MDC|1|20150126|||||F

OBX|45|DTM|738050^MDC_IDC_STAT_EPISODE_TOTAL_COUNT_DTM_END^MDC|1|20150126|||||F

OBX|46|CWE|737952^MDC_IDC_STAT_EPISODE_TYPE^MDC|2|754881^MDC_IDC_ENUM_EPISODE_TYPE_Epis_VF^MDC|||||F

OBX|47|CWE|737984^MDC_IDC_STAT_EPISODE_VENDOR_TYPE^MDC|2|771073^MDC_IDC_ENUM_EPISODE_VENDOR_TYPE_BSX-Epis_VF^MDC|||||F

OBX|48|NM|738000^MDC_IDC_STAT_EPISODE_RECENT_COUNT^MDC|2|1|||||F

OBX|49|DTM|738017^MDC_IDC_STAT_EPISODE_RECENT_COUNT_DTM_START^MDC|2|20150126|||||F

OBX|50|DTM|738018^MDC_IDC_STAT_EPISODE_RECENT_COUNT_DTM_END^MDC|2|20150126|||||F

OBX|51|NM|738032^MDC_IDC_STAT_EPISODE_TOTAL_COUNT^MDC|2|1|||||F

OBX|52|DTM|738049^MDC_IDC_STAT_EPISODE_TOTAL_COUNT_DTM_START^MDC|2|20150126|||||F

OBX|53|DTM|738050^MDC_IDC_STAT_EPISODE_TOTAL_COUNT_DTM_END^MDC|2|20150126|||||F

OBX|54|DTM|737937^MDC_IDC_STAT_TACHYTHERAPY_RECENT_DTM_START^MDC||20150126|||||F

OBX|55|DTM|737938^MDC_IDC_STAT_TACHYTHERAPY_RECENT_DTM_END^MDC||20150126|||||F

OBX|56|NM|737824^MDC_IDC_STAT_TACHYTHERAPY_SHOCKS_DELIVERED_RECENT^MDC||1|||||F

OBX|57|DTM|737921^MDC_IDC_STAT_TACHYTHERAPY_TOTAL_DTM_START^MDC||20150126|||||F

OBX|58|DTM|737922^MDC_IDC_STAT_TACHYTHERAPY_TOTAL_DTM_END^MDC||20150126|||||F

OBX|59|NM|737840^MDC_IDC_STAT_TACHYTHERAPY_SHOCKS_DELIVERED_TOTAL^MDC||1|||||F

OBX|60|ST|720961^MDC_IDC_LEAD_MODEL^MDC|1|1030|||||F

OBX|61|ST|720962^MDC_IDC_LEAD_SERIAL^MDC|1|A123456|||||F

OBX|62|CWE|720963^MDC_IDC_LEAD_MFG^MDC|1|753732^MDC_IDC_ENUM_MFG_BSX^MDC|||||F

OBX|63|CWE|720966^MDC_IDC_LEAD_LOCATION^MDC|1|753861^MDC_IDC_ENUM_LEAD_LOCATION_CHAMBER_OTHER^MDC|||||F

OBX|64|CWE|720967^MDC_IDC_LEAD_LOCATION_DETAIL_1^MDC|1|753944^MDC_IDC_ENUM_LEAD_LOCATION_DETAIL_Subcutaneous^MDC|||||F

OBX|65|ED|18750-0^Cardiac Electrophysiology Report^LN^^Overzichtsrapport||Application^PDF^^Base64^{gecodeerde PDF hier}|||||F
 ||201501260412-0600OBX|66|ED|18750-0^Cardiac Electrophysiology Report^LN^^Rapport Aritmie-logboek||Application^PDF^^Base64^{gecodeerde PDF hier}|||||F
 ||201501260412-0600OBX|67|ED|18750-0^Cardiac Electrophysiology Report^LN^^Gepresenteerd S-ECG-rapport||Application^PDF^^Base64^{gecodeerde PDF hier}|||||F
 ||201501260412-0600

VOORBEELDBERICHT 2 — OVERIGE APPARATEN (NIET S-ICD)

MSH|^~\&|LATITUDE|BOSTON SCIENTIFIC||TestClinic|201305092136+0000||ORU^R01^ORU_R01

```
|0|P|2.6| |||UNICODE UTF-8|nl^Dutch||IHE_PCD_009^IHE_PCD
^1.3.6.1.4.1.19376.1.6.1.9.1^ISO
PID|1||model:N119/serial:900141^^^BSX^U||testLastName^testName^^^^^I
~testAuxLName^testAuxFName^^^^^P||19680215|U
PV1|1|R
PV2| |||||TestDeviceGroup^1
OBR|1||1000000916|754054^MDC_IDC_ENUM_SESS_TYPE_RemotePatientInitiated
^MDC||201001151330-0500| |||||F
NTE|1||02 feb 2012 00:00 - Geel alarmsignaal - Atriale aritmiebelasting van ten
minste 3,0 uur in een periode van 24 uur.
NTE|2||02 feb 2012 00:00 - Geel alarmsignaal - Atriale aritmiebelasting van ten
minste 3,0 uur in een periode van 24 uur tussen 11 jan 2010 23:00 en 12 jan 2010 00:00.
NTE|3||02 feb 2012 00:00 - Geel alarmsignaal - Stimulatie met cardiale
resynchronisatie therapie van < 1%. Stimulatie bedroeg 2% tussen 11 jan 2010 23:00 en
12 jan 2010 00:00.
NTE|4||02 feb 2012 00:00 - Geel alarmsignaal - Rechtsventriculaire stimulatie
van > 1%. Stimulatie bedroeg 2% tussen 11 jan 2010 23:00 en 12 jan 2010 00:00.
NTE|5||02 feb 2012 00:00 - Geel alarmsignaal - Patiëntgetriggerd event opgeslagen.
Bekijk het episodetail in het aritmieboek op het tabblad Events.
NTE|6||02 feb 2012 00:00 - Geel alarmsignaal - Gewichtstoename van tenminste
2,27 kg per week of tenminste 0,91 kg gemiddeld tijdens een periode van twee
of meer dagen.
NTE|7||02 feb 2012 00:00 - Geel alarmsignaal - Gewichtsverlies van tenminste
2,27 kg per week of tenminste 0,91 kg gemiddeld tijdens een periode van twee
of meer dagen.
NTE|8||02 feb 2012 00:00 - Geel alarmsignaal - Explantatie-indicator bereikt op
12 jan 2010 00:00. Plan vervanging van dit apparaat.
NTE|9||02 feb 2012 00:00 - Geel alarmsignaal - Voltage was te laag voor de
geschatte restcapaciteit.
NTE|10||02 feb 2012 00:00 - Rood alarmsignaal - Monitoring van op afstand werd
gedeactiveerd op 12 jan 2010 00:00 als gevolg van een beperkte batterijcapaciteit
(Explantatie-indicator bereikt op 12 feb 2010 00:00).
NTE|11||02 feb 2012 00:00 - Geel alarmsignaal - Corruptie in therapiehistorie
gedetecteerd. Verder opgeslagen therapiehistoriegegevens zijn verwijderd.
NTE|12||02 feb 2012 00:00 - Rood alarmsignaal - Mogelijk apparaat defect
(foutcode 1011).
NTE|13||02 feb 2012 00:00 - Rood alarmsignaal - Mogelijk defect van het apparaat
(foutcode 1007).
NTE|14||02 feb 2012 00:00 - Rood alarmsignaal - Mogelijk defect van het apparaat
(foutcode 1009).
NTE|15||02 feb 2012 00:00 - Rood alarmsignaal - Apparaat in Veiligheidsmodus.
Ter bescherming van de patiënt is het apparaat naar de veiligheidsmodus
overgeschakeld.
NTE|16||02 feb 2012 00:00 - Geel alarmsignaal - Rechtsventriculaire automatische
drempel gedetecteerd als > geprogrammeerde amplitude of opgeschort.
NTE|17||02 feb 2012 00:00 - Geel alarmsignaal - Atriale automatische drempel
gedetecteerd als > geprogrammeerde amplitude of opgeschort.
NTE|18||02 feb 2012 00:00 - Rood alarmsignaal - Shocklead-impedantiemetingen
buiten bereik.
NTE|19||02 feb 2012 00:00 - Rood alarmsignaal - Lage shock-lead impedantie
gedetecteerd tijdens poging tot toedienen van een shock
NTE|20||02 feb 2012 00:00 - Rood alarmsignaal - Hoge shock-lead impedantie
gedetecteerd tijdens poging tot toedienen van een shock
NTE|21||02 feb 2012 00:00 - Rood alarmsignaal - Hoog voltage gedetecteerd op
shock-lead tijdens laden
NTE|22||02 feb 2012 00:00 - Rood alarmsignaal - Bescherming elektrocauterisatie
is actief.
NTE|23||02 feb 2012 00:00 - Geel alarmsignaal - VT-episode plaatsgevonden (V>A).
NTE|24||02 feb 2012 00:00 - Geel alarmsignaal - Bradymodus van apparaat is uit.
```

Er wordt geen bradytherapie afgegeven.

NTE|25||02 feb 2012 00:00 - Geel alarmsignaal - Linksventriculaire stimulatielead-impedantie buiten bereik.
 NTE|26||02 feb 2012 00:00 - Geel alarmsignaal - Atriale stimulatielead-impedantie buiten bereik.
 NTE|27||02 feb 2012 00:00 - Geel alarmsignaal - Rechtsventriculaire intrinsieke amplitude buiten bereik.
 NTE|28||02 feb 2012 00:00 - Geel alarmsignaal - Intrinsieke amplitude buiten bereik.
 NTE|29||02 feb 2012 00:00 - Geel alarmsignaal - Linksventriculaire intrinsieke amplitude buiten bereik.
 NTE|30||02 feb 2012 00:00 - Geel alarmsignaal - Atriale intrinsieke amplitude buiten bereik.
 NTE|31||02 feb 2012 00:00 - Rood alarmsignaal - Rechtsventriculaire stimulatielead-impedantie buiten bereik.
 NTE|32||02 feb 2012 00:00 - Rood alarmsignaal - Stimulatielead-impedantie buiten bereik.
 NTE|33||02 feb 2012 00:00 - Geel alarmsignaal - Ventriculaire shocktherapie afgegeven voor het converteren van aritmie.
 NTE|34||02 feb 2012 00:00 - Geel alarmsignaal - Versnelde ventriculaire aritmie-episode.
 NTE|35||02 feb 2012 00:00 - Rood alarmsignaal - V-tachymode is ingesteld op andere waarde dan Monitor + Therapie
 NTE|36||02 feb 2012 00:00 - Rood alarmsignaal - Kennisgeving van leadcontrole vanwege abrupte verandering van rechtsventriculaire stimulatielead-impedantie in de laatste 7 dagen.
 NTE|37||02 feb 2012 00:00 - Rood alarmsignaal - Kennisgeving van leadcontrole vanwege episode met mogelijk rechtsventriculair niet-fysiologisch signaal.
 NTE|38||02 feb 2012 00:00 - Geel alarmsignaal - Automatische drempel van het linkerventrikel gedetecteerd als > dan geprogrammeerde amplitude, of uitgesteld.
 OBX|1|ST|739536^MDC_IDC_EPISODE_ID^MDC|1|MRI-16|||||F
 OBX|2|DTM|739552^MDC_IDC_EPISODE_DTM^MDC|1|200101020304|||||F
 OBX|3|CWE|739568^MDC_IDC_EPISODE_TYPE^MDC|1|754888
 ^MDC_IDC_ENUM_EPISODE_TYPE_Epis_Other^MDC|||||F
 OBX|4|CWE|739600^MDC_IDC_EPISODE_VENDOR_TYPE^MDC|1|||||F
 OBX|5|NM|739712^MDC_IDC_EPISODE_DURATION^MDC|1|100|s|||||F
 OBX|6|ST|739680^MDC_IDC_EPISODE_DETECTION_THERAPY_DETAILS
 ^MDC|1|MRI Beschermingsmodus|||||F
 OBX|7|ST|739536^MDC_IDC_EPISODE_ID^MDC|2|LVAT-15|||||F
 OBX|8|DTM|739552^MDC_IDC_EPISODE_DTM^MDC|2|200101020304|||||F
 OBX|9|CWE|739568^MDC_IDC_EPISODE_TYPE^MDC|2|754888
 ^MDC_IDC_ENUM_EPISODE_TYPE_Epis_Other^MDC|||||F
 OBX|10|CWE|739600^MDC_IDC_EPISODE_VENDOR_TYPE^MDC|2|||||F
 OBX|11|NM|739712^MDC_IDC_EPISODE_DURATION^MDC|2|100|s|||||F
 OBX|12|ST|739680^MDC_IDC_EPISODE_DETECTION_THERAPY_DETAILS^MDC|2|LV Auto|||||F
 OBX|13|ST|739536^MDC_IDC_EPISODE_ID^MDC|3|RVAT-14|||||F
 OBX|14|DTM|739552^MDC_IDC_EPISODE_DTM^MDC|3|200101020304|||||F
 OBX|15|CWE|739568^MDC_IDC_EPISODE_TYPE^MDC|3|754888
 ^MDC_IDC_ENUM_EPISODE_TYPE_Epis_Other^MDC|||||F
 OBX|16|CWE|739600^MDC_IDC_EPISODE_VENDOR_TYPE^MDC|3|||||F
 OBX|17|NM|739712^MDC_IDC_EPISODE_DURATION^MDC|3|100|s|||||F
 OBX|18|ST|739680^MDC_IDC_EPISODE_DETECTION_THERAPY_DETAILS^MDC|3|RV Auto|||||F
 OBX|19|ST|739536^MDC_IDC_EPISODE_ID^MDC|4|APM-13|||||F
 OBX|20|DTM|739552^MDC_IDC_EPISODE_DTM^MDC|4|200101020304|||||F
 OBX|21|CWE|739568^MDC_IDC_EPISODE_TYPE^MDC|4|754886
 ^MDC_IDC_ENUM_EPISODE_TYPE_Epis_PeriodicEGM^MDC|||||F
 OBX|22|CWE|739600^MDC_IDC_EPISODE_VENDOR_TYPE^MDC|4|771085
 ^MDC_IDC_ENUM_EPISODE_VENDOR_TYPE_BSX-Epis_APMRT^MDC|||||F
 OBX|23|ST|739680^MDC_IDC_EPISODE_DETECTION_THERAPY_DETAILS

```

^MDC|4|EGM gepresenteerd|||||F
OBX|24|ST|739536^MDC_IDC_EPISODE_ID^MDC|5|PTM-12|||||F
OBX|25|DTM|739552^MDC_IDC_EPISODE_DTM^MDC|5|200101020304|||||F
OBX|26|CWE|739568^MDC_IDC_EPISODE_TYPE^MDC|5|754887
^MDC_IDC_ENUM_EPISODE_TYPE_Epis_PatientActivated^MDC|||||F
OBX|27|CWE|739600^MDC_IDC_EPISODE_VENDOR_TYPE^MDC|5|771080
^MDC_IDC_ENUM_EPISODE_VENDOR_TYPE_BSX-Epis_PTM^MDC|||||F
OBX|28|NM|739648^MDC_IDC_EPISODE_VENTRICULAR_INTERVAL_AT_DETECTION
^MDC|5|30000|ms|||||F
OBX|29|NM|739712^MDC_IDC_EPISODE_DURATION^MDC|5|100|s|||||F
OBX|30|ST|739680^MDC_IDC_EPISODE_DETECTION_THERAPY_DETAILS^MDC|5|PTM|||||F
OBX|31|ST|739536^MDC_IDC_EPISODE_ID^MDC|6|RAAT-11|||||F
OBX|32|DTM|739552^MDC_IDC_EPISODE_DTM^MDC|6|200101020304|||||F
OBX|33|CWE|739568^MDC_IDC_EPISODE_TYPE^MDC|6|754888
^MDC_IDC_ENUM_EPISODE_TYPE_Epis_Other^MDC|||||F
OBX|34|CWE|739600^MDC_IDC_EPISODE_VENDOR_TYPE^MDC|6|||||F
OBX|35|NM|739712^MDC_IDC_EPISODE_DURATION^MDC|6|100|s|||||F
OBX|36|ST|739680^MDC_IDC_EPISODE_DETECTION_THERAPY_DETAILS^MDC|6|RA Auto|||||F
OBX|37|ST|739536^MDC_IDC_EPISODE_ID^MDC|7|RYTHMIQ-10|||||F
OBX|38|DTM|739552^MDC_IDC_EPISODE_DTM^MDC|7|200101020304|||||F
OBX|39|CWE|739568^MDC_IDC_EPISODE_TYPE^MDC|7|754888
^MDC_IDC_ENUM_EPISODE_TYPE_Epis_Other^MDC|||||F
OBX|40|CWE|739600^MDC_IDC_EPISODE_VENDOR_TYPE^MDC|7|771084
^MDC_IDC_ENUM_EPISODE_VENDOR_TYPE_BSX-Epis_RMS^MDC|||||F
OBX|41|NM|739648
^MDC_IDC_EPISODE_VENTRICULAR_INTERVAL_AT_DETECTION^MDC|7|30000|ms|||||F
OBX|42|NM|739712^MDC_IDC_EPISODE_DURATION^MDC|7|100|s|||||F
OBX|43|ST|739680^MDC_IDC_EPISODE_DETECTION_THERAPY_DETAILS^MDC|7|RYTHMIQ|||||F
OBX|44|ST|739536^MDC_IDC_EPISODE_ID^MDC|8|RMS-9|||||F
OBX|45|DTM|739552^MDC_IDC_EPISODE_DTM^MDC|8|200101020304|||||F
OBX|46|CWE|739568^MDC_IDC_EPISODE_TYPE^MDC|8|754888
^MDC_IDC_ENUM_EPISODE_TYPE_Epis_Other^MDC|||||F
OBX|47|CWE|739600^MDC_IDC_EPISODE_VENDOR_TYPE^MDC|8|771084
^MDC_IDC_ENUM_EPISODE_VENDOR_TYPE_BSX-Epis_RMS^MDC|||||F
OBX|48|NM|739648
^MDC_IDC_EPISODE_VENTRICULAR_INTERVAL_AT_DETECTION^MDC|8|30000|ms|||||F
OBX|49|NM|739712^MDC_IDC_EPISODE_DURATION^MDC|8|100|s|||||F
OBX|50|ST|739680^MDC_IDC_EPISODE_DETECTION_THERAPY_DETAILS^MDC|8|RMS|||||F
OBX|51|ST|739536^MDC_IDC_EPISODE_ID^MDC|9|V-8|||||F
OBX|52|DTM|739552^MDC_IDC_EPISODE_DTM^MDC|9|200101020304|||||F
OBX|53|CWE|739568^MDC_IDC_EPISODE_TYPE^MDC|9|754881
^MDC_IDC_ENUM_EPISODE_TYPE_Epis_VF^MDC|||||F
OBX|54|CWE|739600^MDC_IDC_EPISODE_VENDOR_TYPE^MDC|9|771073
^MDC_IDC_ENUM_EPISODE_VENDOR_TYPE_BSX-Epis_VF^MDC|||||F
OBX|55|CWE|739584^MDC_IDC_EPISODE_TYPE_INDUCED^MDC|9|755329
^MDC_IDC_ENUM_EPISODE_TYPE_INDUCED_YES^MDC|||||F
OBX|56|NM|739648
^MDC_IDC_EPISODE_VENTRICULAR_INTERVAL_AT_DETECTION^MDC|9|30000|ms|||||F
OBX|57|NM|739712^MDC_IDC_EPISODE_DURATION^MDC|9|100|s|||||F
OBX|58|ST|739680
^MDC_IDC_EPISODE_DETECTION_THERAPY_DETAILS^MDC|9|VF ATPx1, 0, 1J, 0, 2J, 31Jx2|||||F
OBX|59|ST|739536^MDC_IDC_EPISODE_ID^MDC|10|PMT-7|||||F
OBX|60|DTM|739552^MDC_IDC_EPISODE_DTM^MDC|10|200101020304|||||F
OBX|61|CWE|739568^MDC_IDC_EPISODE_TYPE^MDC|10|754888
^MDC_IDC_ENUM_EPISODE_TYPE_Epis_Other^MDC|||||F
OBX|62|CWE|739600^MDC_IDC_EPISODE_VENDOR_TYPE^MDC|10|771079
^MDC_IDC_ENUM_EPISODE_VENDOR_TYPE_BSX-Epis_PMT^MDC|||||F
OBX|63|NM|739648^MDC_IDC_EPISODE_VENTRICULAR_INTERVAL_AT_DETECTION
^MDC|10|30000|ms|||||F

```


OBX|64|NM|739712^MDC_IDC_EPISODE_DURATION^MDC|10|100|s|||||F
OBX|65|ST|739680^MDC_IDC_EPISODE_DETECTION_THERAPY_DETAILS^MDC|10|PMT|||||F
OBX|66|ST|739536^MDC_IDC_EPISODE_ID^MDC|11|V-6|||||F
OBX|67|DTM|739552^MDC_IDC_EPISODE_DTM^MDC|11|200101020304|||||F
OBX|68|CWE|739568^MDC_IDC_EPISODE_TYPE^MDC|11|754882
^MDC_IDC_ENUM_EPISODE_TYPE_Epis_VT^MDC|||||F
OBX|69|CWE|739600^MDC_IDC_EPISODE_VENDOR_TYPE^MDC|11|771075
^MDC_IDC_ENUM_EPISODE_VENDOR_TYPE_BSX-Epis_VT-1^MDC|||||F
OBX|70|CWE|739584^MDC_IDC_EPISODE_TYPE_INDUCED^MDC|11|755329
^MDC_IDC_ENUM_EPISODE_TYPE_INDUCED_YES^MDC|||||F
OBX|71|NM|739648^MDC_IDC_EPISODE_VENTRICULAR_INTERVAL_AT_DETECTION
^MDC|11|30000|ms|||||F
OBX|72|NM|739712^MDC_IDC_EPISODE_DURATION^MDC|11|100|s|||||F
OBX|73|ST|739680^MDC_IDC_EPISODE_DETECTION_THERAPY_DETAILS
^MDC|11|VT-1 ATPx1, 0,1J, 0,2J, 31Jx2|||||F
OBX|74|ST|739536^MDC_IDC_EPISODE_ID^MDC|12|ATR-5|||||F
OBX|75|DTM|739552^MDC_IDC_EPISODE_DTM^MDC|12|200101020304|||||F
OBX|76|CWE|739568^MDC_IDC_EPISODE_TYPE^MDC|12|754883
^MDC_IDC_ENUM_EPISODE_TYPE_Epis_ATAF^MDC|||||F
OBX|77|CWE|739600^MDC_IDC_EPISODE_VENDOR_TYPE^MDC|12|771078
^MDC_IDC_ENUM_EPISODE_VENDOR_TYPE_BSX-Epis_ATR^MDC|||||F
OBX|78|NM|739616^MDC_IDC_EPISODE_ATRIAL_INTERVAL_AT_DETECTION^MDC|12|20000|ms|||||F
OBX|79|NM|739712^MDC_IDC_EPISODE_DURATION^MDC|12|100|s|||||F
OBX|80|ST|739680^MDC_IDC_EPISODE_DETECTION_THERAPY_DETAILS^MDC|12|ATR|||||F
OBX|81|ST|739536^MDC_IDC_EPISODE_ID^MDC|13|V-4|||||F
OBX|82|DTM|739552^MDC_IDC_EPISODE_DTM^MDC|13|200101020304|||||F
OBX|83|CWE|739568^MDC_IDC_EPISODE_TYPE^MDC|13|754882
^MDC_IDC_ENUM_EPISODE_TYPE_Epis_VT^MDC|||||F
OBX|84|CWE|739600^MDC_IDC_EPISODE_VENDOR_TYPE^MDC|13|771077
^MDC_IDC_ENUM_EPISODE_VENDOR_TYPE_BSX-Epis_NSVT^MDC|||||F
OBX|85|CWE|739584^MDC_IDC_EPISODE_TYPE_INDUCED^MDC|13|755329
^MDC_IDC_ENUM_EPISODE_TYPE_INDUCED_YES^MDC|||||F
OBX|86|NM|739648^MDC_IDC_EPISODE_VENTRICULAR_INTERVAL_AT_DETECTION
^MDC|13|30000|ms|||||F
OBX|87|NM|739712^MDC_IDC_EPISODE_DURATION^MDC|13|100|s|||||F
OBX|88|ST|739680^MDC_IDC_EPISODE_DETECTION_THERAPY_DETAILS^MDC|13|NietAanhV|||||F
OBX|89|ST|739536^MDC_IDC_EPISODE_ID^MDC|14|V-3|||||F
OBX|90|DTM|739552^MDC_IDC_EPISODE_DTM^MDC|14|200101020304|||||F
OBX|91|CWE|739568^MDC_IDC_EPISODE_TYPE^MDC|14|754882
^MDC_IDC_ENUM_EPISODE_TYPE_Epis_VT^MDC|||||F
OBX|92|CWE|739600^MDC_IDC_EPISODE_VENDOR_TYPE^MDC|14|771074
^MDC_IDC_ENUM_EPISODE_VENDOR_TYPE_BSX-Epis_VT^MDC|||||F
OBX|93|CWE|739584^MDC_IDC_EPISODE_TYPE_INDUCED^MDC|14|755329
^MDC_IDC_ENUM_EPISODE_TYPE_INDUCED_YES^MDC|||||F
OBX|94|NM|739648^MDC_IDC_EPISODE_VENTRICULAR_INTERVAL_AT_DETECTION
^MDC|14|30000|ms|||||F
OBX|95|NM|739712^MDC_IDC_EPISODE_DURATION^MDC|14|100|s|||||F
OBX|96|ST|739680^MDC_IDC_EPISODE_DETECTION_THERAPY_DETAILS
^MDC|14|VT ATPx1, 0,1J, 0,2J, 31Jx2|||||F
OBX|97|ST|739536^MDC_IDC_EPISODE_ID^MDC|15|PBR-2|||||F
OBX|98|DTM|739552^MDC_IDC_EPISODE_DTM^MDC|15|200101020304|||||F
OBX|99|CWE|739568^MDC_IDC_EPISODE_TYPE^MDC|15|754888
^MDC_IDC_ENUM_EPISODE_TYPE_Epis_Other^MDC|||||F
OBX|100|CWE|739600^MDC_IDC_EPISODE_VENDOR_TYPE^MDC|15|||||F
OBX|101|NM|739616^MDC_IDC_EPISODE_ATRIAL_INTERVAL_AT_DETECTION
^MDC|15|20000|ms|||||F
OBX|102|NM|739712^MDC_IDC_EPISODE_DURATION^MDC|15|100|s|||||F
OBX|103|ST|739680^MDC_IDC_EPISODE_DETECTION_THERAPY_DETAILS^MDC|15|PBR|||||F
OBX|104|ST|739536^MDC_IDC_EPISODE_ID^MDC|16|V-1|||||F

OBX|105|DTM|739552^MDC_IDC_EPISODE_DTM^MDC|16|200101020304|||||F
OBX|106|CWE|739568^MDC_IDC_EPISODE_TYPE^MDC|16|754888
^MDC_IDC_ENUM_EPISODE_TYPE_Epis_Other^MDC|||||F
OBX|107|CWE|739600^MDC_IDC_EPISODE_VENDOR_TYPE^MDC|16|||||F
OBX|108|CWE|739584^MDC_IDC_EPISODE_TYPE_INDUCED^MDC|16|755329
^MDC_IDC_ENUM_EPISODE_TYPE_INDUCED_YES^MDC|||||F
OBX|109|NM|739648^MDC_IDC_EPISODE_VENTRICULAR_INTERVAL_AT_DETECTION
^MDC|16|30000|ms|||||F
OBX|110|NM|739712^MDC_IDC_EPISODE_DURATION^MDC|16|100|s|||||F
OBX|111|ST|739680^MDC_IDC_EPISODE_DETECTION_THERAPY_DETAILS
^MDC|16|Cmnd v Therapie afgegeven|||||F
OBX|112|ED|18750-0^Cardiac Electrophysiology Report^LN||Application^PDF^
^Base64^{encoded PDF included here}|||||F||201001151330-0500
OBX|113|ED|18750-0^Cardiac Electrophysiology Report^LN|4|Application^PDF^
^Base64^{encoded PDF included here}|||||F||201001151330-0500
OBX|114|CWE|720897^MDC_IDC_DEV_TYPE^MDC||753665^MDC_IDC_ENUM_DEV_TYPE_IPG^MDC|||||F
OBX|115|ST|720898^MDC_IDC_DEV_MODEL^MDC|N119|||||F
OBX|116|ST|720899^MDC_IDC_DEV_SERIAL^MDC||900141|||||F
OBX|117|CWE|720900^MDC_IDC_DEV_MFG^MDC||753732^MDC_IDC_ENUM_MFG_BSX^MDC|||||F
OBX|118|DTM|720901^MDC_IDC_DEV_IMPLANT_DT^MDC||20120513|||||F
OBX|119|ST|720961^MDC_IDC_LEAD_MODEL^MDC|1|12345|||||F
OBX|120|ST|720962^MDC_IDC_LEAD_SERIAL^MDC|1|6789|||||F
OBX|121|CWE|720963^MDC_IDC_LEAD_MFG^MDC|1|753731^MDC_IDC_ENUM_MFG_BIO^MDC|||||F
OBX|122|CWE|720965^MDC_IDC_LEAD_POLARITY_TYPE^MDC|1|753793
^MDC_IDC_ENUM_LEAD_POLARITY_TYPE_UNI^MDC|||||F
OBX|123|DTM|720964^MDC_IDC_LEAD_IMPLANT_DT^MDC|1|201205|||||F
OBX|124|CWE|720966^MDC_IDC_LEAD_LOCATION^MDC|1|753858
^MDC_IDC_ENUM_LEAD_LOCATION_CHAMBER_LV^MDC|||||F
OBX|125|CWE|720967^MDC_IDC_LEAD_LOCATION_DETAIL_1^MDC|1|753922
^MDC_IDC_ENUM_LEAD_LOCATION_DETAIL_Apex^MDC|||||F
OBX|126|CWE|720968^MDC_IDC_LEAD_LOCATION_DETAIL_2^MDC|1|753925
^MDC_IDC_ENUM_LEAD_LOCATION_DETAIL_VenaCava^MDC|||||F
OBX|127|ST|720961^MDC_IDC_LEAD_MODEL^MDC|2|12345|||||F
OBX|128|ST|720962^MDC_IDC_LEAD_SERIAL^MDC|2|6789|||||F
OBX|129|CWE|720963^MDC_IDC_LEAD_MFG^MDC|2|753731^MDC_IDC_ENUM_MFG_BIO^MDC|||||F
OBX|130|CWE|720965^MDC_IDC_LEAD_POLARITY_TYPE^MDC|2|753793
^MDC_IDC_ENUM_LEAD_POLARITY_TYPE_UNI^MDC|||||F
OBX|131|DTM|720964^MDC_IDC_LEAD_IMPLANT_DT^MDC|2|201205|||||F
OBX|132|CWE|720966^MDC_IDC_LEAD_LOCATION^MDC|2|753858
^MDC_IDC_ENUM_LEAD_LOCATION_CHAMBER_LV^MDC|||||F
OBX|133|CWE|720967^MDC_IDC_LEAD_LOCATION_DETAIL_1^MDC|2|753922
^MDC_IDC_ENUM_LEAD_LOCATION_DETAIL_Apex^MDC|||||F
OBX|134|CWE|720968^MDC_IDC_LEAD_LOCATION_DETAIL_2^MDC|2|753925
^MDC_IDC_ENUM_LEAD_LOCATION_DETAIL_VenaCava^MDC|||||F
OBX|135|ST|720961^MDC_IDC_LEAD_MODEL^MDC|3|12345|||||F
OBX|136|ST|720962^MDC_IDC_LEAD_SERIAL^MDC|3|6789|||||F
OBX|137|CWE|720963^MDC_IDC_LEAD_MFG^MDC|3|753731^MDC_IDC_ENUM_MFG_BIO^MDC|||||F
OBX|138|CWE|720965^MDC_IDC_LEAD_POLARITY_TYPE^MDC|3|753793
^MDC_IDC_ENUM_LEAD_POLARITY_TYPE_UNI^MDC|||||F
OBX|139|DTM|720964^MDC_IDC_LEAD_IMPLANT_DT^MDC|3|201205|||||F
OBX|140|CWE|720966^MDC_IDC_LEAD_LOCATION^MDC|3|753858
^MDC_IDC_ENUM_LEAD_LOCATION_CHAMBER_LV^MDC|||||F
OBX|141|CWE|720967^MDC_IDC_LEAD_LOCATION_DETAIL_1^MDC|3|753922
^MDC_IDC_ENUM_LEAD_LOCATION_DETAIL_Apex^MDC|||||F
OBX|142|CWE|720968^MDC_IDC_LEAD_LOCATION_DETAIL_2^MDC|3|753925
^MDC_IDC_ENUM_LEAD_LOCATION_DETAIL_VenaCava^MDC|||||F
OBX|143|ST|720961^MDC_IDC_LEAD_MODEL^MDC|4|12345|||||F
OBX|144|ST|720962^MDC_IDC_LEAD_SERIAL^MDC|4|6789|||||F
OBX|145|CWE|720963^MDC_IDC_LEAD_MFG^MDC|4|753731^MDC_IDC_ENUM_MFG_BIO^MDC|||||F

OBX|185|DTM|721933^MDC_IDC_MSMT_LEADCHNL_LV_DTM_START^MDC||19990102|||||F
OBX|186|DTM|721934^MDC_IDC_MSMT_LEADCHNL_LV_DTM_END^MDC||20121211|||||F
OBX|187|CWE|721987^MDC_IDC_MSMT_LEADCHNL_LV_LEAD_CHANNEL_STATUS^MDC||754241
^MDC_IDC_ENUM_CHANNEL_STATUS_CheckLead^MDC|||||F
OBX|188|NM|722063^MDC_IDC_MSMT_LEADCHNL_LV_SENSING_INTR_AMPL_MEAN
^MDC||25.0|mV||>|||F|||20121211
OBX|189|CWE|722112^MDC_IDC_MSMT_LEADCHNL_RA_SENSING_POLARITY^MDC||754305
^MDC_IDC_ENUM_POLARITY_UNI^MDC|||||F
OBX|190|CWE|722113^MDC_IDC_MSMT_LEADCHNL_RV_SENSING_POLARITY^MDC||754306
^MDC_IDC_ENUM_POLARITY_BI^MDC|||||F
OBX|191|CWE|722115^MDC_IDC_MSMT_LEADCHNL_LV_SENSING_POLARITY^MDC|||||OFF|||F
OBX|192|NM|722176^MDC_IDC_MSMT_LEADCHNL_RA_PACING_THRESHOLD_AMPLITUDE
^MDC|||V||NAV|||F|||20121211
OBX|193|NM|722177^MDC_IDC_MSMT_LEADCHNL_RV_PACING_THRESHOLD_AMPLITUDE
^MDC||3.0|V||>|||F|||20121211
OBX|194|NM|722179^MDC_IDC_MSMT_LEADCHNL_LV_PACING_THRESHOLD_AMPLITUDE
^MDC||0.0|V||>|||F|||20121210
OBX|195|NM|722240^MDC_IDC_MSMT_LEADCHNL_RA_PACING_THRESHOLD_PULSEWIDTH
^MDC||ms||NAV|||F|||19990102
OBX|196|NM|722241^MDC_IDC_MSMT_LEADCHNL_RV_PACING_THRESHOLD_PULSEWIDTH
^MDC||0.4|ms|||F|||19990102
OBX|197|NM|722243^MDC_IDC_MSMT_LEADCHNL_LV_PACING_THRESHOLD_PULSEWIDTH
^MDC||0.4|ms|||F|||19990102
OBX|198|CWE|722304^MDC_IDC_MSMT_LEADCHNL_RA_PACING_THRESHOLD_MEASUREMENT_METHOD
^MDC||754369^MDC_IDC_ENUM_MEASUREMENT_METHOD_ProgrammerManual^MDC|||||F
OBX|199|CWE|722305^MDC_IDC_MSMT_LEADCHNL_RV_PACING_THRESHOLD_MEASUREMENT_METHOD
^MDC||754369^MDC_IDC_ENUM_MEASUREMENT_METHOD_ProgrammerManual^MDC|||||F
OBX|200|CWE|722307^MDC_IDC_MSMT_LEADCHNL_LV_PACING_THRESHOLD_MEASUREMENT_METHOD
^MDC||754369^MDC_IDC_ENUM_MEASUREMENT_METHOD_ProgrammerManual^MDC|||||F
OBX|201|CWE|722368^MDC_IDC_MSMT_LEADCHNL_RA_PACING_THRESHOLD_POLARITY^MDC||754305
^MDC_IDC_ENUM_POLARITY_UNI^MDC|||||F
OBX|202|CWE|722369^MDC_IDC_MSMT_LEADCHNL_RV_PACING_THRESHOLD_POLARITY^MDC||754306
^MDC_IDC_ENUM_POLARITY_BI^MDC|||||F
OBX|203|CWE|722371^MDC_IDC_MSMT_LEADCHNL_LV_PACING_THRESHOLD_POLARITY^MDC||754306
^MDC_IDC_ENUM_POLARITY_BI^MDC|||||F
OBX|204|NM|722432^MDC_IDC_MSMT_LEADCHNL_RA_IMPEDANCE_VALUE
^MDC||200|ohms||<|||F|||20121211
OBX|205|NM|722433^MDC_IDC_MSMT_LEADCHNL_RV_IMPEDANCE_VALUE
^MDC||2000|ohms||>|||F|||20121211
OBX|206|NM|722435^MDC_IDC_MSMT_LEADCHNL_LV_IMPEDANCE_VALUE
^MDC||201|ohms|||||F|||20121209
OBX|207|CWE|722496^MDC_IDC_MSMT_LEADCHNL_RA_IMPEDANCE_POLARITY^MDC||754305
^MDC_IDC_ENUM_POLARITY_UNI^MDC|||||F
OBX|208|CWE|722497^MDC_IDC_MSMT_LEADCHNL_RV_IMPEDANCE_POLARITY^MDC||754305
^MDC_IDC_ENUM_POLARITY_UNI^MDC|||||F
OBX|209|CWE|722499^MDC_IDC_MSMT_LEADCHNL_LV_IMPEDANCE_POLARITY^MDC||754306
^MDC_IDC_ENUM_POLARITY_BI^MDC|||||F
OBX|210|DTM|722560^MDC_IDC_MSMT_LEADHVCHNL_DTM_START^MDC|1|20121109|||||F
OBX|211|NM|722624^MDC_IDC_MSMT_LEADHVCHNL_IMPEDANCE^MDC|1|ohms||NAV|||F
OBX|212|CWE|722688^MDC_IDC_MSMT_LEADHVCHNL_MEASUREMENT_TYPE^MDC|1|754433
^MDC_IDC_ENUM_HVCHNL_MEASUREMENT_TYPE_LowVoltage^MDC|||||F
OBX|213|CWE|722752^MDC_IDC_MSMT_LEADHVCHNL_STATUS^MDC|1|754241
^MDC_IDC_ENUM_CHANNEL_STATUS_CheckLead^MDC|||||F
OBX|214|NM|729344^MDC_IDC_SET_CRT_LVRV_DELAY^MDC||-100|ms|||||F
OBX|215|CWE|729408^MDC_IDC_SET_CRT_PACED_CHAMBERS^MDC||755265
^MDC_IDC_ENUM_CRT_PACED_CHAMBERS_RV_Only^MDC|||||F
OBX|216|NM|729536^MDC_IDC_SET_LEADCHNL_RA_SENSING_SENSITIVITY^MDC||0.5|mV|||||F
OBX|217|NM|729537^MDC_IDC_SET_LEADCHNL_RV_SENSING_SENSITIVITY^MDC||0.9|mV|||||F
OBX|218|NM|729539^MDC_IDC_SET_LEADCHNL_LV_SENSING_SENSITIVITY^MDC||1.0|mV|||||F

OBX|219|CWE|729600^MDC_IDC_SET_LEADCHNL_RA_SENSING_POLARITY^MDC|||||OFF|||F
 OBX|220|CWE|729601^MDC_IDC_SET_LEADCHNL_RV_SENSING_POLARITY^MDC||754305
 ^MDC_IDC_ENUM_POLARITY_UNI^MDC|||||F
 OBX|221|CWE|729676^MDC_IDC_SET_LEADCHNL_LV_SENSING_ANODE_LOCATION^MDC||754498
 ^MDC_IDC_ENUM_ELECTRODE_LOCATION_RV^MDC|||||F
 OBX|222|CWE|729740^MDC_IDC_SET_LEADCHNL_LV_SENSING_ANODE_ELECTRODE^MDC|||||OFF|||F
 OBX|223|CWE|729804^MDC_IDC_SET_LEADCHNL_LV_SENSING_CATHODE_LOCATION^MDC|||||OFF|||F
 OBX|224|CWE|729868^MDC_IDC_SET_LEADCHNL_LV_SENSING_CATHODE_ELECTRODE^MDC||754561
 ^MDC_IDC_ENUM_ELECTRODE_NAME_Tip^MDC|||||F
 OBX|225|CWE|729920^MDC_IDC_SET_LEADCHNL_RA_SENSING_ADAPTATION_MODE^MDC||754625
 ^MDC_IDC_ENUM_SENSING_ADAPTATION_MODE_AdaptiveSensing^MDC|||||F
 OBX|226|CWE|729921^MDC_IDC_SET_LEADCHNL_RV_SENSING_ADAPTATION_MODE^MDC||754625
 ^MDC_IDC_ENUM_SENSING_ADAPTATION_MODE_AdaptiveSensing^MDC|||||F
 OBX|227|CWE|729923^MDC_IDC_SET_LEADCHNL_LV_SENSING_ADAPTATION_MODE^MDC||754626
 ^MDC_IDC_ENUM_SENSING_ADAPTATION_MODE_FixedSensing^MDC|||||F
 OBX|228|NM|729984^MDC_IDC_SET_LEADCHNL_RA_PACING_AMPLITUDE^MDC||5.1|V|||||F
 OBX|229|NM|729985^MDC_IDC_SET_LEADCHNL_RV_PACING_AMPLITUDE^MDC||5.0|V|||||F
 OBX|230|NM|729987^MDC_IDC_SET_LEADCHNL_LV_PACING_AMPLITUDE^MDC||2.8|V|||||F
 OBX|231|NM|730048^MDC_IDC_SET_LEADCHNL_RA_PACING_PULSEWIDTH^MDC||100.0|ms|||||F
 OBX|232|NM|730049^MDC_IDC_SET_LEADCHNL_RV_PACING_PULSEWIDTH^MDC||200.0|ms|||||F
 OBX|233|NM|730051^MDC_IDC_SET_LEADCHNL_LV_PACING_PULSEWIDTH^MDC||300.0|ms|||||F
 OBX|234|CWE|730112^MDC_IDC_SET_LEADCHNL_RA_PACING_POLARITY^MDC||754305
 ^MDC_IDC_ENUM_POLARITY_UNI^MDC|||||F
 OBX|235|CWE|730113^MDC_IDC_SET_LEADCHNL_RV_PACING_POLARITY^MDC||754305
 ^MDC_IDC_ENUM_POLARITY_UNI^MDC|||||F
 OBX|236|CWE|730188^MDC_IDC_SET_LEADCHNL_LV_PACING_ANODE_LOCATION^MDC||754498
 ^MDC_IDC_ENUM_ELECTRODE_LOCATION_RV^MDC|||||F
 OBX|237|CWE|730252^MDC_IDC_SET_LEADCHNL_LV_PACING_ANODE_ELECTRODE^MDC||754564
 ^MDC_IDC_ENUM_ELECTRODE_NAME_Ring2^MDC|||||F
 OBX|238|CWE|730316^MDC_IDC_SET_LEADCHNL_LV_PACING_CATHODE_LOCATION^MDC||754500
 ^MDC_IDC_ENUM_ELECTRODE_LOCATION_LV^MDC|||||F
 OBX|239|CWE|730380^MDC_IDC_SET_LEADCHNL_LV_PACING_CATHODE_ELECTRODE^MDC||754566
 ^MDC_IDC_ENUM_ELECTRODE_NAME_Ring4^MDC|||||F
 OBX|240|CWE|730432^MDC_IDC_SET_LEADCHNL_RA_PACING_CAPTURE_MODE^MDC||754690
 ^MDC_IDC_ENUM_PACING_CAPTURE_MODE_FixedPacing^MDC|||||F
 OBX|241|CWE|730433^MDC_IDC_SET_LEADCHNL_RV_PACING_CAPTURE_MODE^MDC||754691
 ^MDC_IDC_ENUM_PACING_CAPTURE_MODE_MonitorCapture^MDC|||||F
 OBX|242|CWE|730435^MDC_IDC_SET_LEADCHNL_LV_PACING_CAPTURE_MODE^MDC||754690
 ^MDC_IDC_ENUM_PACING_CAPTURE_MODE_FixedPacing^MDC|||||F
 OBX|243|CWE|730752^MDC_IDC_SET_BRADY_MODE^MDC||754760^MDC_IDC_ENUM_BRADY_MODE_DDD
 ^MDC|||||F
 OBX|244|NM|730880^MDC_IDC_SET_BRADY_LOWRATE^MDC||100|{beats}/min|||||F
 OBX|245|ST|731072^MDC_IDC_SET_BRADY_SENSOR_TYPE^MDC||Accelerometer.+MV|||||F
 OBX|246|NM|731136^MDC_IDC_SET_BRADY_MAX_TRACKING_RATE^MDC||130|{beats}/min|||||F
 OBX|247|NM|731200^MDC_IDC_SET_BRADY_MAX_SENSOR_RATE^MDC||180|{beats}/min|||||F
 OBX|248|NM|731265^MDC_IDC_SET_BRADY_SAV_DELAY_HIGH^MDC||102|ms|||||F
 OBX|249|NM|731266^MDC_IDC_SET_BRADY_SAV_DELAY_LOW^MDC||101|ms|||||F
 OBX|250|NM|731329^MDC_IDC_SET_BRADY_PAV_DELAY_HIGH^MDC||104|ms|||||F
 OBX|251|NM|731330^MDC_IDC_SET_BRADY_PAV_DELAY_LOW^MDC||103|ms|||||F
 OBX|252|CWE|731392^MDC_IDC_SET_BRADY_AT_MODE_SWITCH_MODE^MDC||754763
 ^MDC_IDC_ENUM_BRADY_MODE_DDIR^MDC|||||F
 OBX|253|NM|731456^MDC_IDC_SET_BRADY_AT_MODE_SWITCH_RATE^MDC||130|{beats}/min|||||F
 OBX|254|CWE|731520^MDC_IDC_SET_TACHYTHERAPY_VSTAT^MDC||754817
 ^MDC_IDC_ENUM_THERAPY_STATUS_On^MDC|||||F
 OBX|255|CWE|731648^MDC_IDC_SET_ZONE_TYPE^MDC|1|754945^MDC_IDC_ENUM_ZONE_TYPE_Zone_VF
 ^MDC|||||F
 OBX|256|CWE|731712^MDC_IDC_SET_ZONE_VENDOR_TYPE^MDC|1|771139
 ^MDC_IDC_ENUM_ZONE_VENDOR_TYPE_BSx-Zone_VF^MDC|||||F
 OBX|257|CWE|731776^MDC_IDC_SET_ZONE_STATUS^MDC|1|755009

```

^MDC_IDC_ENUM_ZONE_STATUS_Active^MDC|||||F
OBX|258|NM|731840^MDC_IDC_SET_ZONE_DETECTION_INTERVAL^MDC|1|462|ms|||||F
OBX|259|CWE|732097^MDC_IDC_SET_ZONE_TYPE_ATP_1^MDC|1|755073
^MDC_IDC_ENUM_ATP_TYPE_Burst^MDC|||||F
OBX|260|NM|732161^MDC_IDC_SET_ZONE_NUM_ATP_SEQS_1^MDC|1|1|||||F
OBX|261|NM|732225^MDC_IDC_SET_ZONE_SHOCK_ENERGY_1^MDC|1|21.1|J|||||F
OBX|262|NM|732289^MDC_IDC_SET_ZONE_NUM_SHOCKS_1^MDC|1|1|||||F
OBX|263|NM|732226^MDC_IDC_SET_ZONE_SHOCK_ENERGY_2^MDC|1|31.1|J|||||F
OBX|264|NM|732290^MDC_IDC_SET_ZONE_NUM_SHOCKS_2^MDC|1|1|||||F
OBX|265|NM|732227^MDC_IDC_SET_ZONE_SHOCK_ENERGY_3^MDC|1|41.1|J|||||F
OBX|266|NM|732291^MDC_IDC_SET_ZONE_NUM_SHOCKS_3^MDC|1|6|||||F
OBX|267|CWE|731648^MDC_IDC_SET_ZONE_TYPE^MDC|2|754946^MDC_IDC_ENUM_ZONE_TYPE_Zone_VT
^MDC|||||F
OBX|268|CWE|731712^MDC_IDC_SET_ZONE_VENDOR_TYPE^MDC|2|771137
^MDC_IDC_ENUM_ZONE_VENDOR_TYPE_BSX-Zone_VT^MDC|||||F
OBX|269|CWE|731776^MDC_IDC_SET_ZONE_STATUS^MDC|2|755009
^MDC_IDC_ENUM_ZONE_STATUS_Active^MDC|||||F
OBX|270|NM|731840^MDC_IDC_SET_ZONE_DETECTION_INTERVAL^MDC|2|463|ms|||||F
OBX|271|CWE|732097^MDC_IDC_SET_ZONE_TYPE_ATP_1^MDC|2|755073
^MDC_IDC_ENUM_ATP_TYPE_Burst^MDC|||||F
OBX|272|NM|732161^MDC_IDC_SET_ZONE_NUM_ATP_SEQS_1^MDC|2|2|||||F
OBX|273|CWE|732098^MDC_IDC_SET_ZONE_TYPE_ATP_2^MDC|2|755074
^MDC_IDC_ENUM_ATP_TYPE_Ramp^MDC|||||F
OBX|274|NM|732162^MDC_IDC_SET_ZONE_NUM_ATP_SEQS_2^MDC|2|3|||||F
OBX|275|NM|732225^MDC_IDC_SET_ZONE_SHOCK_ENERGY_1^MDC|2|22.2|J|||||F
OBX|276|NM|732289^MDC_IDC_SET_ZONE_NUM_SHOCKS_1^MDC|2|1|||||F
OBX|277|NM|732226^MDC_IDC_SET_ZONE_SHOCK_ENERGY_2^MDC|2|32.2|J|||||F
OBX|278|NM|732290^MDC_IDC_SET_ZONE_NUM_SHOCKS_2^MDC|2|1|||||F
OBX|279|NM|732227^MDC_IDC_SET_ZONE_SHOCK_ENERGY_3^MDC|2|42.2|J|||||F
OBX|280|NM|732291^MDC_IDC_SET_ZONE_NUM_SHOCKS_3^MDC|2|5|||||F
OBX|281|CWE|731648^MDC_IDC_SET_ZONE_TYPE^MDC|3|754946^MDC_IDC_ENUM_ZONE_TYPE_Zone_VT
^MDC|||||F
OBX|282|CWE|731712^MDC_IDC_SET_ZONE_VENDOR_TYPE^MDC|3|771138
^MDC_IDC_ENUM_ZONE_VENDOR_TYPE_BSX-Zone_VT-1^MDC|||||F
OBX|283|CWE|731776^MDC_IDC_SET_ZONE_STATUS^MDC|3|755009
^MDC_IDC_ENUM_ZONE_STATUS_Active^MDC|||||F
OBX|284|NM|731840^MDC_IDC_SET_ZONE_DETECTION_INTERVAL^MDC|3|465|ms|||||F
OBX|285|CWE|732097^MDC_IDC_SET_ZONE_TYPE_ATP_1^MDC|3|755074
^MDC_IDC_ENUM_ATP_TYPE_Ramp^MDC|||||F
OBX|286|NM|732161^MDC_IDC_SET_ZONE_NUM_ATP_SEQS_1^MDC|3|4|||||F
OBX|287|CWE|732098^MDC_IDC_SET_ZONE_TYPE_ATP_2^MDC|3|755076
^MDC_IDC_ENUM_ATP_TYPE_RampScan^MDC|||||F
OBX|288|NM|732162^MDC_IDC_SET_ZONE_NUM_ATP_SEQS_2^MDC|3|5|||||F
OBX|289|NM|732225^MDC_IDC_SET_ZONE_SHOCK_ENERGY_1^MDC|3|23.2|J|||||F
OBX|290|NM|732289^MDC_IDC_SET_ZONE_NUM_SHOCKS_1^MDC|3|1|||||F
OBX|291|NM|732226^MDC_IDC_SET_ZONE_SHOCK_ENERGY_2^MDC|3|33.2|J|||||F
OBX|292|NM|732290^MDC_IDC_SET_ZONE_NUM_SHOCKS_2^MDC|3|1|||||F
OBX|293|NM|732227^MDC_IDC_SET_ZONE_SHOCK_ENERGY_3^MDC|3|43.2|J|||||F
OBX|294|NM|732291^MDC_IDC_SET_ZONE_NUM_SHOCKS_3^MDC|3|2|||||F
OBX|295|DTM|737489^MDC_IDC_STAT_DTM_START^MDC|||20120522|||||F
OBX|296|DTM|737490^MDC_IDC_STAT_DTM_END^MDC|||20120522|||||F
OBX|297|DTM|737505^MDC_IDC_STAT_BRADY_DTM_START^MDC|||20120522|||||F
OBX|298|DTM|737506^MDC_IDC_STAT_BRADY_DTM_END^MDC|||20120522|||||F
OBX|299|NM|737520^MDC_IDC_STAT_BRADY_RA_PERCENT_PACED^MDC||0%|||||F
OBX|300|NM|737536^MDC_IDC_STAT_BRADY_RV_PERCENT_PACED^MDC||0%|||||F
OBX|301|DTM|737777^MDC_IDC_STAT_CRT_DTM_START^MDC|||20120522|||||F
OBX|302|DTM|737778^MDC_IDC_STAT_CRT_DTM_END^MDC|||20120522|||||F
OBX|303|NM|737792^MDC_IDC_STAT_CRT_LV_PERCENT_PACED^MDC||0%|||||F
OBX|304|CWE|737952^MDC_IDC_STAT_EPISODE_TYPE^MDC|1|754882

```

^MDC_IDC_ENUM_EPISODE_TYPE_Epis_VT^MDC|||||F
OBX|305|CWE|737984^MDC_IDC_STAT_EPISODE_VENDOR_TYPE^MDC|1|771077
^MDC_IDC_ENUM_EPISODE_VENDOR_TYPE_BSX-Epis_NSVT^MDC|||||F
OBX|306|NM|738000^MDC_IDC_STAT_EPISODE_RECENT_COUNT^MDC|1|0|||||F
OBX|307|DTM|738017^MDC_IDC_STAT_EPISODE_RECENT_COUNT_DTM_START^MDC|1|20120522|||||F
OBX|308|DTM|738018^MDC_IDC_STAT_EPISODE_RECENT_COUNT_DTM_END^MDC|1|20120522|||||F
OBX|309|CWE|737952^MDC_IDC_STAT_EPISODE_TYPE^MDC|1|754882
^MDC_IDC_ENUM_EPISODE_TYPE_Epis_VT^MDC|||||F
OBX|310|CWE|737984^MDC_IDC_STAT_EPISODE_VENDOR_TYPE^MDC|1|||||F
OBX|311|NM|738000^MDC_IDC_STAT_EPISODE_RECENT_COUNT^MDC|1|0|||||F
OBX|312|DTM|738017^MDC_IDC_STAT_EPISODE_RECENT_COUNT_DTM_START^MDC|1|20120522|||||F
OBX|313|DTM|738018^MDC_IDC_STAT_EPISODE_RECENT_COUNT_DTM_END^MDC|1|20120522|||||F
OBX|314|CWE|737952^MDC_IDC_STAT_EPISODE_TYPE^MDC|2|754884
^MDC_IDC_ENUM_EPISODE_TYPE_Epis_SVT^MDC|||||F
OBX|315|CWE|737984^MDC_IDC_STAT_EPISODE_VENDOR_TYPE^MDC|2|771076
^MDC_IDC_ENUM_EPISODE_VENDOR_TYPE_BSX-Epis_SVT^MDC|||||F
OBX|316|NM|738000^MDC_IDC_STAT_EPISODE_RECENT_COUNT^MDC|2|0|||||F
OBX|317|DTM|738017^MDC_IDC_STAT_EPISODE_RECENT_COUNT_DTM_START^MDC|2|20120522|||||F
OBX|318|DTM|738018^MDC_IDC_STAT_EPISODE_RECENT_COUNT_DTM_END^MDC|2|20120522|||||F
OBX|319|CWE|737952^MDC_IDC_STAT_EPISODE_TYPE^MDC|4|754883
^MDC_IDC_ENUM_EPISODE_TYPE_Epis_ATAF^MDC|||||F
OBX|320|CWE|737984^MDC_IDC_STAT_EPISODE_VENDOR_TYPE^MDC|4|771078
^MDC_IDC_ENUM_EPISODE_VENDOR_TYPE_BSX-Epis_ATR^MDC|||||F
OBX|321|NM|738000^MDC_IDC_STAT_EPISODE_RECENT_COUNT^MDC|4|0|||||F
OBX|322|DTM|738017^MDC_IDC_STAT_EPISODE_RECENT_COUNT_DTM_START^MDC|4|20120522|||||F
OBX|323|DTM|738018^MDC_IDC_STAT_EPISODE_RECENT_COUNT_DTM_END^MDC|4|20120522|||||F
OBX|324|CWE|737952^MDC_IDC_STAT_EPISODE_TYPE^MDC|5|754888
^MDC_IDC_ENUM_EPISODE_TYPE_Epis_Other^MDC|||||F
OBX|325|CWE|737984^MDC_IDC_STAT_EPISODE_VENDOR_TYPE^MDC|5|||||F
OBX|326|NM|738000^MDC_IDC_STAT_EPISODE_RECENT_COUNT^MDC|5|0|||||F
OBX|327|DTM|738017^MDC_IDC_STAT_EPISODE_RECENT_COUNT_DTM_START^MDC|5|20120522|||||F
OBX|328|DTM|738018^MDC_IDC_STAT_EPISODE_RECENT_COUNT_DTM_END^MDC|5|20120522|||||F
OBX|329|CWE|737952^MDC_IDC_STAT_EPISODE_TYPE^MDC|6|754881
^MDC_IDC_ENUM_EPISODE_TYPE_Epis_VF^MDC|||||F
OBX|330|CWE|737984^MDC_IDC_STAT_EPISODE_VENDOR_TYPE^MDC|6|771073
^MDC_IDC_ENUM_EPISODE_VENDOR_TYPE_BSX-Epis_VF^MDC|||||F
OBX|331|NM|738000^MDC_IDC_STAT_EPISODE_RECENT_COUNT^MDC|6|1|||||F
OBX|332|DTM|738017^MDC_IDC_STAT_EPISODE_RECENT_COUNT_DTM_START^MDC|6|20120522|||||F
OBX|333|DTM|738018^MDC_IDC_STAT_EPISODE_RECENT_COUNT_DTM_END^MDC|6|20120522|||||F
OBX|334|CWE|737952^MDC_IDC_STAT_EPISODE_TYPE^MDC|7|754882
^MDC_IDC_ENUM_EPISODE_TYPE_Epis_VT^MDC|||||F
OBX|335|CWE|737984^MDC_IDC_STAT_EPISODE_VENDOR_TYPE^MDC|7|771074
^MDC_IDC_ENUM_EPISODE_VENDOR_TYPE_BSX-Epis_VT^MDC|||||F
OBX|336|NM|738000^MDC_IDC_STAT_EPISODE_RECENT_COUNT^MDC|7|2|||||F
OBX|337|DTM|738017^MDC_IDC_STAT_EPISODE_RECENT_COUNT_DTM_START^MDC|7|20120522|||||F
OBX|338|DTM|738018^MDC_IDC_STAT_EPISODE_RECENT_COUNT_DTM_END^MDC|7|20120522|||||F
OBX|339|CWE|737952^MDC_IDC_STAT_EPISODE_TYPE^MDC|8|754882
^MDC_IDC_ENUM_EPISODE_TYPE_Epis_VT^MDC|||||F
OBX|340|CWE|737984^MDC_IDC_STAT_EPISODE_VENDOR_TYPE^MDC|8|771075
^MDC_IDC_ENUM_EPISODE_VENDOR_TYPE_BSX-Epis_VT-1^MDC|||||F
OBX|341|NM|738000^MDC_IDC_STAT_EPISODE_RECENT_COUNT^MDC|8|3|||||F
OBX|342|DTM|738017^MDC_IDC_STAT_EPISODE_RECENT_COUNT_DTM_START^MDC|8|20120522|||||F
OBX|343|DTM|738018^MDC_IDC_STAT_EPISODE_RECENT_COUNT_DTM_END^MDC|8|20120522|||||F
OBX|344|CWE|737952^MDC_IDC_STAT_EPISODE_TYPE^MDC|9|754884
^MDC_IDC_ENUM_EPISODE_TYPE_Epis_Monitor^MDC|||||F
OBX|345|CWE|737984^MDC_IDC_STAT_EPISODE_VENDOR_TYPE^MDC|9|||||F
OBX|346|NM|738000^MDC_IDC_STAT_EPISODE_RECENT_COUNT^MDC|9|4|||||F
OBX|347|DTM|738017^MDC_IDC_STAT_EPISODE_RECENT_COUNT_DTM_START^MDC|9|20120522|||||F
OBX|348|DTM|738018^MDC_IDC_STAT_EPISODE_RECENT_COUNT_DTM_END^MDC|9|20120522|||||F

Остаряла версия. Да не се използва.
Zastaralá verze. Nepoužívat.
Forældet version. Må ikke anvendes.
Version überholt. Nicht verwenden.
Version obsolete. Μην την χρησιμοποιείτε.
Αεγονud versioon. Ärge kasutage.
Παλιά έκδοση. Μην την χρησιμοποιείτε.
Outdated version. Do not use.
Version obsoleta. Ne utilizar.
Version périmée. Ne pas utiliser.
Zastarjela verzija. Nemojte upotrebljavati.
Úreлт útγάfa. Notið ekki.
Versione obsoleta. Non utilizzare.
Pasenusi versija. Neizmantot.
Elavult verzió. Ne használj!
Wersja przeterminowana. Nie używać.
Dit is een verouderde versie. Niet gebruiken.
Utdatert versjon. Skal ikke brukes.
Wersja przeterminowana. Nie używać.
Versão obsoleta. Não utilize.
Zastaraná verzia. Nepoužívat.
Zastarela različica. A nu se utiliza.
Vanhentunut versio. Älä käytä.
Föråldrad version. Använd ej.
Güncel olmayan sürüm. Kullanmayın.

OVERZICHT

HOOFDSTUK 5

In dit hoofdstuk worden de volgende onderwerpen beschreven:

- “Overzicht HL7” op pagina 5-2

Остаряла версия. Да не се използва.
Zastaralá verze. Nepoužívat.
Forældet version. Må ikke anvendes.
Version überholt. Nicht verwenden.
Aegunud versioón. Myn þyn Χρησιμοποιείτε.
Παλιά έκδοση. Μην την Χρησιμοποιείτε.
Outdated version. Do not use.
Version obsolete. Ne utilizar.
Zastarjela verzija. Nemojte upotrebljavati.
Úrelt útgáfa. Notið ekki.
Versione obsolete. Non utilizzare.
Zastarjela verzija. Neizmantot.
Pasenusi versija. Nenaudokite.
Elavult verzió. Ne használja!
Dit is een verouderde versie. Niet gebruiken.
Utdatert versjon. Skal ikke brukes.
Wersja przeterminowana. Nie używać.
Versão obsoleta. Não utilize.
Versione expirată. A nu se utiliza.
Zastaraná verzia. Nepoužívat.
Zastarela različica. Ne uporabite.
Vanhentunut versio. Älä käytä.
Föråldrad version. Använd ej.
Güncel olmayan sürüm. Kullanmayın.

OVERZICHT HL7

Het Boston Scientific LATITUDE-systeem voor patiëntbewaking op afstand genereert ORU-berichten (Observation Result Unsolicited) met de HL7-standaard op basis van de specificaties en definities in dit document. Deze berichten worden gebruikt om patiëntgegevens over te brengen naar EMR-systemen (Electronic Medical Record).

Dit document is bedoeld voor klanten van Boston Scientific LATITUDE die gebruikmaken van een EMR-systeem om patiëntgegevens te volgen en te beheren.

OPMERKING: *Er wordt aangenomen dat de lezers van deze paragraaf bekend zijn met terminologie, specificatiesyntaxis, gegevenstypen, berichtstructuren en semantiek voor ORU-berichten met de HL7 2.x-standaard. Voor meer informatie over HL7-berichtgeving gaat u naar www.hl7.org.*

Остаряла версия. Да не се използва.
Zastaralá verze. Nepoužívat.
Forældet version. Må ikke anvendes.
Version überholt. Nicht verwenden.
Aegunud versioon. Ärge kasutage.
Παλιά έκδοση. Μην την χρησιμοποιείτε.
Outdated version. Do not use.
Versión obsoleta. No utilizar.
Zastarjela verzija. Nemojte upotrebljavati.
Úreлт útgáfa. Notið ekki.
Versione obsoleta. Ne pas utiliser.
Pasenusi versija. Nenaudokite.
Elavult verzió. Ne használja!
Dit is een verouderde versie. Niet gebruiken.
Utdatert versjon. Neizmantot.
Wersja przeterminowana. Nie używać.
Versão obsoleta. Não utilize.
Versiune expirată. A nu se utiliza.
Zastaraná verzia. Nepoužívat.
Zastarela različica. Ne uporabite.
Vanhentunut versio. Älä käytä.
Föråldrad version. Använd ej.
Güncel olmayan sürüm. Kullanmayın.

LATITUDE HL7-BERICHTENSPECIFICATIE

HOOFDSTUK 6

In dit hoofdstuk worden de volgende onderwerpen beschreven:

- “Latitude HL7-berichtenspecificatie” op pagina 6-2
- “MSH-segmentstructuur” op pagina 6-2
- “PID-segmentstructuur” op pagina 6-4
- “NTE-segmentstructuur” op pagina 6-5
- “PV1-segmentstructuur” op pagina 6-6
- “PV2-segmentstructuur” op pagina 6-7
- “OBR-segmentstructuur” op pagina 6-7
- “OBX-segmentstructuur” op pagina 6-9
- “ZUX-segmentstructuur” op pagina 6-10

LATITUDE HL7-BERICHTENSPECIFICATIE

Het HL7-bestand voor LATITUDE is gebaseerd op HL7-standaard 2.3.1 voor ORU-berichten. In deze internationale standaard wordt een universeel model beschreven voor de interoperabiliteit van medische elektronische gegevens.

Basisconcepten van HL7-berichten voor LATITUDE: (ASCII-teken die in deze publicatie worden weergegeven als scheidingstekens zijn slechts voorbeelden en kunnen worden gewijzigd.)

1. Een LATITUDE-bericht bestaat uit segmenten
2. De eerste drie letters van een segment vormen de segmenttypecode
3. Een LATITUDE-bericht bestaat altijd uit deze segmenttypen: MSH; PID; NTE1; PV1; OBR1; OBX (veel); ZU1; ZU2
4. Segmenten zijn ASCII-tekenreeksen die bestaan uit meerdere gescheiden reeksen
5. Een reeks wordt gescheiden door het verticale streepje (|, bijvoorbeeld ASCII 0x7C) aan het einde
6. De numerieke posities van de reeksen binnen het segment worden gebruikt om de reeksen te vinden en ernaar te verwijzen
7. De segmenttypecode wordt niet meegeteld bij de nummering van de reeks
8. Met uitzondering van het segmenttype MSH is de eerste reeks altijd een getal. Dit getal en de drieletterige segment-id die er direct voor staat, worden gebruikt om het segment te identificeren. Voorbeelden zijn NTE.1, OBR.3 en OBX.75
9. Bepaalde reeksen kunnen subreeksen bevatten:
 - Items in een subreeks worden gescheiden door een dakje (^, bijvoorbeeld ASCII 0x5E)
 - Het aantal subreeksen en de maximale lengte van de subreeksen worden gedefinieerd in de reeksdefinitie
 - In lege subreeksen wordt een dakje gebruikt als plaatsaanduiding
 - De subreeks eindigt met een reeksscheidingsteken (|)
10. Berichtsegmenten eindigen met een LF- of CR-teken.

Patiëntgegevens in een LATITUDE-bericht worden in vier observatierapporten ingedeeld: Laatste opvraging, Implantaat, Laatste poliklinische leadtest en Leadinformatie. Een observatierapport bestaat uit één OBR-segment gevolgd door meerdere OBX-segmenten.

Het bericht bevat ook nuttige samengevatte follow-upgegevens, waaronder extra informatie uit het Quick Notes-rapport van LATITUDE.

Bekijk de afbeelding links voor meer informatie.

MSH-SEGMENTSTRUCTUUR

Het MSH-segment bevat informatie over de verzender en ontvanger van het bericht, het type bericht, een tijdstempel, enzovoort. Het is het eerste segment in elk ORU-bericht.

| ELE- MENT- NAAM | SEQ | SUB SEQ | DT | LEN | GE- BRUIK | CARD | TBL # | ITEM # | VAST | VOOR- BEEL- DWAARDE |
|---|-----|------------|-----|-----|--------------|--------|-------|--------|------|--|
| Veld- schei- dingste- ken | 1 | | ST | 1 | R | [1..1] | | 00001 | J | |
| Code- ringste- kens | 2 | | ST | 4 | R | [1..1] | | 00002 | J | ^~\& |
| Ver- zend- toepas- sing | 3 | | HD | 180 | R | [1..1] | | 00003 | J | LATI- TUDE |
| Verzen- dende instel- ling | 4 | | HD | 180 | R | [1..1] | | 00004 | J | BOS- TON SCIEN- TIFIC |
| Ontvan- gende instel- ling | 6 | | HD | 180 | RE | [0..1] | | 00006 | | Naam van kliniek |
| Datum/ tijd van bericht | 7 | | TS | 26 | R | [1..1] | | 00007 | | 20060- 51015 0057 +0000 |
| Bericht- type | 9 | | MSG | 15 | R | [1..1] | | 00009 | | |
| Bericht- code | | 1 | Id | 3 | R | [1..1] | 0076 | | J | ORU |
| Trigge- revent | | 2 | Id | 3 | R | [1..1] | 0003 | | J | R01 |
| Bericht- contro- le-id | 10 | | ST | 20 | R | [1..1] | | 00010 | | 25001- 44 |
| Verwer- kings-id | 11 | | Id | 1 | R | [1..1] | 0103 | 00011 | | P |
| Versie- id | 12 | | Id | 5 | R | [1..1] | 0104 | 00012 | J | 2.3.1 |
| Type ont- van- gstbe- vesti- ging | 15 | | Id | 2 | R | [1..1] | 0155 | 00015 | J | NE |
| Tekens- et | 18 | | Id | 6 | R | [1..1] | 0211 | 00692 | | 8859/1 UNICO- DE Zie opmer- king a. |
| Hoofd- taal | 19 | | CE | 60 | R | [0..1] | | 00693 | | Zie opmer- king b. |
| Taal-id | | 1 | Id | 2 | R | [0..1] | | | | NL |

| | | | | | | | | | | |
|---------------|--|---|----|----|---|--------|--|--|--|------------|
| Naam van taal | | 2 | ST | 50 | R | [0..1] | | | | Nederlands |
| Codeersysteem | | 3 | ST | 6 | R | [0..1] | | | | ISO639 |

- a. De tekensetcode zal 8859/1 of UNICODE zijn, maar niet allebei. Boston Scientific behoudt zich het recht voor om de tekenset die wordt gebruikt in het HL7-bericht te wijzigen. Het systeem dat dit HL7-bericht ontvangt, moet MSH.18 controleren om de tekenset te identificeren die in dit HL7-bericht wordt gebruikt.
- b. Als de hoofdtaal leeg is, neem dan EN^English^ISO639 aan. Anders zal de taal van het bericht worden geïdentificeerd.

PID-SEGMENTSTRUCTUUR

Het PID-segment bevat patiëntgegevens zoals naam, id-codes, postcode, enzovoort. Deze informatie wordt gebruikt voor patiëntkoppeling.

| ELEMENT-NAAM | SEQ | SUB SEQ | DT | LEN | GE-BRUIK | CARD | TBL # | ITEM # | VAST | VOOR-BEELD-WAARDE |
|-----------------------------|-----|---------|-----|-----|----------|--------|-------|--------|------|---|
| Ingestelde id — PID | 1 | | SI | 1 | R | [1..1] | | 00104 | J | 1 |
| Patiënt-id | 2 | | CX | 20 | R | [1..1] | | 00105 | | |
| Id | | 1 | ST | 20 | R | [1..1] | | | | 42347-93618 Zie opmerking a. |
| Patiëntcode-lijst | 3 | | CX | 20 | R | [1..1] | | 00106 | | |
| Lijst met id's | | 1 | ST | 20 | R | [1..2] | | | | 42347-93618~ab-c1234-56 Zie opmerkingen a, b en c. |
| Naam patiënt | 5 | | XPN | 140 | R | [0..1] | | 00108 | | Zie opmerking d. |
| Achternaam plus voorvoegsel | | 1 | CM | 40 | RE | [0..1] | | | | Jansen |
| Voor-naam | | 2 | ST | 40 | RE | [0..1] | | | | Jan |
| Middelste initiaal of naam | | 3 | ST | 40 | RE | [0..1] | | | | Jimmy |
| Achtervoegsel | | 4 | ST | 20 | RE | [0..1] | | | | Jr. |
| Weergavecode voor naam | | 8 | Id | 1 | O | [0..1] | 0465 | | | |

| | | | | | | | | | | |
|---|----|---|-----|-----|----|--------|------|-------|--|-----------------------|
| Aanvullende patiëntnaam | 5 | | XPN | 140 | R | [0..1] | | 00108 | | Zie opmerking d. |
| Aanvullende achternaam plus voorvoegsel | | 1 | CM | 40 | RE | [0..1] | | | | Smit |
| Aanvullende voor-naam | | 2 | ST | 40 | RE | [0..1] | | | | Jack |
| Aanvullende middelste initiaal of naam | | 3 | ST | 40 | RE | [0..1] | | | | Jackie |
| Aanvullend achtervoegsel | | 4 | ST | 20 | RE | [0..1] | | | | Sr. |
| Weergavecode voor naam | | 8 | Id | 1 | O | [0..1] | 0465 | | | P |
| Geboortedatum | 7 | | TS | 26 | RE | [0..1] | | 00110 | | 19271-209 |
| Geslacht | 8 | | IS | 1 | RE | [0..1] | 0001 | 00111 | | M Zie opmerking e. |
| Postcode | 11 | 5 | ST | 10 | RE | [0..1] | | | | 55408 |

- Zowel de patiënt-id (reeks 2) als de patiëntcodelijst (reeks 3) bevat een uniek patiëntnummer dat wordt gegenereerd en onderhouden door LATITUDE.
- LATITUDE stelt klinieken in staat om (optioneel) hun eigen patiënt-id's toe te voegen aan het LATITUDE-systeem. Optionele patiënt-id's worden deel van het geëxporteerde HL7-bericht. Indien deze door de kliniek gedefinieerde patiëntcodes worden gebruikt, worden deze als tekst weergegeven in de patiëntcodelijst (reeks 3) na een tildesymbool (~).
- In deze tabel worden alle patiënt-id-elementen gedefinieerd die worden gebruikt in het PID-segment. Omdat elk patiëntendossier uniek is, bevatten berichten mogelijk niet alle patiënt-id-elementen die hierboven zijn gedefinieerd.
- Waar beschikbaar, zal het bericht aanvullende patiëntnaam informatie bevatten, zoals staat vermeld in de tabel. De ideografische en fonetische namen worden als een HL7-lijst in de PID.5-reeks opgenomen. De items die in de tabel vermeld staan, vertegenwoordigen de maximale set aan informatie die kan worden verzonden.
- De waarde "U" wordt weergegeven als het geslacht van de patiënt niet bekend is.

NTE-SEGMENTSTRUCTUUR

Het NTE-segment bevat waarschuwingen en events die bij een specifieke patiënt zijn voorgekomen. Er kunnen maximaal vier NTE-segmenten in één HL7-bericht voor LATITUDE staan.

| ELE- MENT- NAAM | SEQ | SUB SEQ | DT | LEN | GE- BRUIK | CARD | TBL # | ITEM # | VAST | VOOR- BEEL- DWAA- RDE |
|-----------------------|-----|------------|----|-----|--------------|--------|-------|--------|------|--------------------------------|
| Ingestelde id — NTE | 1 | | SI | 1 | R | [1..1] | | 00096 | | 1 |

| | | | | | | | | | | |
|--------------------|---|--|----|-------|---|--------|--|-------|---|---|
| Bron van opmerking | 2 | | Id | 8 | R | [1..1] | | 00097 | J | LATI-TUDE |
| Opmerking | 3 | | FT | 65536 | R | [1..*] | | 00098 | | Zie beschrijving van inhoud in opmerking a. |

- a. Elk follow-upbericht van een apparaat kan maximaal vier NTE-segmenten bevatten. De ingestelde id en de beschrijving voor deze segmenten zijn als volgt:
- Ingestelde id 1 - Dit NTE-segment bevat een rapport dat bestaat uit een verzameling alarmsignalen die bij een specifieke patiënt zijn opgetreden. Er kan meer dan één waarschuwing gerelateerd zijn aan de betreffende combinatie van patiënt en arts. De alarmsignalen worden zodanig gerangschikt dat alle rode alarmsignalen eerst verschijnen, gevolgd door gele alarmsignalen. Secundair wordt binnen elk waarschuwingstype van nieuw tot oud gesorteerd. Er kunnen maximaal 255 alarmsignalen worden weergegeven.
 - Ingestelde id 2 - Dit NTE-segment bevat informatie over het ontslag van de patiënt in diens LATITUDE-patiëntendossier. Het bevat informatie over wie het ontslag heeft uitgevoerd en wanneer het werd uitgevoerd.
 - Ingestelde id 3 - Dit NTE-segment bevat een rapport dat bestaat uit een verzameling events (opgeslagen episodes) die voor een specifieke patiënt in de upload zijn opgenomen. Er kan meer dan één event samengaan met het gegeven patiënt/arts-paar. Events worden gesorteerd van nieuw tot oud en er kunnen maximaal 255 events worden vermeld. De laatste regel van dit segment bevat de totalen van elk type episode.
 - Ingestelde id 4 - Dit NTE-segment bevat informatie over het apparaat als het zich in een toestand bevindt die aandacht vereist. Het bevat een waarschuwingsverklaring en informatie over de toestand. Als dit NTE-segment aanwezig is, moet het worden behandeld als een bericht met hoge prioriteit dat wordt getoond aan de eindgebruiker.
- b. Niet elk HL7-bericht voor LATITUDE bevat alle vier de NTE-segmenten.

PV1-SEGMENTSTRUCTUUR

Het segment PV1 (patiëntenbezoek) bevat informatie over de behandelend arts van de patiënt.

| ELEMENT-NAAM | SEQ | SUB SEQ | DT | LEN | GE-BRUIK | CARD | TBL # | ITEM # | VAST | VOOR-BEELD-WAARDE |
|-----------------------------|-----|---------|-----|-----|----------|--------|-------|--------|------|------------------------------|
| Ingestelde id — PV1 | 1 | | SI | 4 | R | [1..1] | | 00131 | J | 1 |
| Patiënt-klasse | 2 | | IS | 1 | R | [0..1] | | 00132 | J | R |
| Behandelend arts | 7 | | XCN | 60 | RE | [1..1] | | 00137 | | |
| Id-nummer (ST) | | 1 | ST | 10 | RE | [1..1] | | | | JHopkins Zie opmerking a. |
| Achternaam plus voorvoegsel | | 2 | CM | 40 | RE | [1..1] | | | | Hopkins |
| Voor-naam | | 3 | ST | 40 | RE | [0..1] | | | | Jan |

| | | | | | | | | | | |
|----------------------------------|--|---|----|----|----|--------|--|--|--|-----|
| Middelste initiaal of naam | | 4 | ST | 1 | RE | [0..1] | | | | L |
| achtervoegsel | | 5 | ST | 20 | RE | [0..1] | | | | Sr. |

- Het identificatienummer van de behandelend arts is de LATITUDE-aanmeldnaam van de arts.
- Berichten bevatten mogelijk niet alle elementen van de naam van de arts die hierboven staan vermeld.

PV2-SEGMENTSTRUCTUUR

Het segment PV2 (patiëntenbezoek 2) bevat informatie over de LATITUDE-groep van de patiënt.

| ELEMENT-NAAM | SEQ | SUB SEQ | DT | LEN | GE-BRUIK | CARD | TBL # | ITEM # | VAST | VOOR-BEELD-WAARDE |
|---|-----|---------|-----|-----|----------|--------|-------|--------|------|-----------------------|
| Naam van klinische organisatie | 23 | | XON | 90 | O | [0..1] | | 00724 | N | |
| Naam van organisatie (groep) | | 1 | ST | 87 | RE | [0..1] | | | N | Cardiologie |
| Identificatienummer (primaire of secundaire patiëntengroep) | | 3 | NM | 1 | RE | [0..1] | | | N | 1 Zie opmerking b. |

- Het PV2-segment is optioneel en is mogelijk niet aanwezig in het HL7-bestand.
- De waarde is 1 als het HL7-bestand is gekoppeld aan de primaire LATITUDE-groep; de waarde is 2 als het is gekoppeld aan de secundaire LATITUDE-groep.

OBR-SEGMENTSTRUCTUUR

OBR-segmenten zijn de headers voor afzonderlijke OBX-segmenten voor opgevraagde informatie. Deze bevatten gegevens als tijdstempels, een rapportcode en een unieke door het systeem gegenereerde code.

| ELEMENT-NAAM | SEQ | SUB SEQ | DT | LEN | GE-BRUIK | CARD | TBL # | ITEM # | VAST | VOOR-BEELD-WAARDE |
|---------------------|-----|---------|----|-----|----------|-------|-------|--------|------|--------------------------------|
| Ingestelde id — OBR | 1 | | SI | 4 | R | [1:1] | | 00237 | J | 1 t/m 4 Zie opmerking a |
| Bestelnummer vuller | 3 | | EI | 22 | R | [1:1] | | 00217 | | |
| Entiteitcode | | 1 | ST | 15 | R | [1:1] | | | | Unieke code Zie opmerking b |

| | | | | | | | | | | |
|---|----|---|-----|-----|----|-------|------|-------|---|--|
| Universele service-id | 4 | | CE | 200 | R | [1:1] | | 00238 | | |
| Code | | 1 | ST | 50 | R | [1:1] | | | | Boston-Scientific- Laatste opvraging Zie opmerking a |
| Tekst | | 2 | ST | 50 | R | [1:1] | | | | Laatste opvraging Zie opmerking a |
| Nummer observatiedatum/-tijd | 7 | | TS | 26 | R | [1:1] | | 00241 | | 20060-42908-000 5 +0000 |
| Nummer observatie-einddatum/-tijd | 8 | | TS | 26 | RE | [0:1] | | 00242 | | 20060-42908-000 5 +0000 |
| Bestellende provider | 16 | | XCN | 120 | RE | [0:1] | | 00226 | | |
| Identificatienummer | 1 | | ST | 50 | RE | [0:1] | | | | bijvoorbeeld JHopkins, Cardiologie, enz. Zie opmerking c |
| Plaatserveld 1 | 18 | | ST | 2 | R | [1:1] | | 00253 | J | DR Zie opmerking d |
| Resultaatrapport/ Statusverandering – datum/ tijd + | 22 | | TS | 26 | RE | [0:1] | | 00255 | | 20060-42908-000 5 +0000 |
| Resultatenstatus + | 25 | | Id | 1 | R | [1:1] | 0123 | 00258 | J | F |

- Het ORU-bericht van LATITUDE bevat vier OBR-segmenten (OBR staat voor 'observatierapport'). Elk van deze segmenten heeft een andere ingestelde id en universele service-id (zie bovenstaande tabel). Elk OBR bevat meerdere OBX-records met contextspecifieke observaties. Bijzonderheden over de specifieke OBX-observaties worden genoemd in de paragraaf OBX-segmentstructuur in dit document.
- LATITUDE genereert één unieke code en legt deze vast als Bestelnummer vuller (OBR.3) in alle vier de OBR's. De code blijft ongewijzigd als observaties opnieuw worden verzonden.
- Bestellende provider (OBR.16) is de LATITUDE-aanmeldingsnaam van ofwel de verantwoordelijke arts, dan wel de naam van de patiëntgroep.
- Plaatserveld 1 (OBR.18) is een waarde die wordt gebruikt om het type observatie dat wordt verzonden, aan te geven. Het staat altijd ingesteld op DR, wat staat voor 'diagnostisch rapport'.

Groep-id's observatierapport

| Ingestelde id | Naam | Beschrijving | Universele service-id-code | Universele service-id-tekst |
|---------------|--------------------------------|--|------------------------------------|-----------------------------|
| 1 | Laatste opvraging | Deze OBR bevat observaties van de vorige monitoringssessie op afstand. | BostonScientific–Laatste opvraging | Laatste opvraging |
| 2 | Implantatie | Deze OBR bevat observaties die gemaakt zijn ten tijde van implantatie van de PG. | BostonScientific–Implantatie | Implantatie |
| 3 | Laatste poliklinische leadtest | Deze OBR bevat observaties van de laatste poliklinische leadtest. | Boston Scientific–LaatsteInOffice | Lead Test: In-Office |
| 4 | Leadinformatie | Deze OBR bevat informatie over de geïmplanteerde leads. | BostonScientific–Leads | Lead informatie |

OBX-SEGMENTSTRUCTUUR

OBX-segmenten bevatten gegevens die zijn verzameld gedurende de meest recente apparaatopvraging.

| ELE-MENT-NAAM | SEQ | SUB SEQ | DT | LEN | GE-BRUIK | CARD | TBL # | ITEM # | VAST | VOOR-BEEL-DWAA-RDE |
|-----------------------------|-----|---------|----|------|----------|--------|-------|--------|------|-------------------------------------|
| Ingestelde id – OBX | 1 | | SI | 4 | R | [1..1] | | 00569 | | Opeenvolgend geheel getal vanaf 1 |
| Waardetype | 2 | | Id | 2 | R | [1..1] | 0125 | 00570 | | ST, NM, DT of ED Zie opmerking a |
| Observatiecode | 3 | | CE | 590 | R | [1..1] | | 00571 | | |
| Code | | 1 | ST | 80 | R | [1..1] | | | | Zie opmerking b |
| Tekst | | 2 | ST | 256 | R | [1..1] | | | | Zie opmerking b |
| Naam van code-rings-systeem | | 3 | ST | 20 | R | [1..1] | | | J | GDT-LATI-TUDE |
| Observatiewaarde | 5 | | -- | 4000 | RE | [0..1] | | | | Zie opmerking c |
| Eenheden | 6 | | CE | 60 | RE | [0..1] | | | | |
| Code | | 1 | ST | 20 | RE | [0..1] | | | | Zie opmerking d |

| | | | | | | | | | | |
|------------------------------|----|--|----|----|---|--------|------|-------|---|--|
| Resultaatstatus observatie | 11 | | Id | 1 | R | [1..1] | 0085 | 00579 | J | F |
| Datum/tijd van de observatie | 14 | | TS | 26 | C | [0..1] | | 00582 | | 20060-31717-000 0 +0000 Zie opmerking e |

- Waardetype (OBX.2) geeft de indeling van de gerapporteerde gegevens aan: ST staat voor 'string' (tekenreeks); NM staat voor 'number' (getal); DT staat voor 'date' (datum); ED staat voor 'encapsulated data' (geïntegreerde gegevens).
- Alle observaties worden gecodeerd met de specifieke termen van LATITUDE. Deze termen zijn gedefinieerd in de paragraaf Definities van HL7-termen voor Latitude in dit document.
- Observatiewaarde (OBX.5) geeft de gerapporteerde gegevens aan in de indeling die is bepaald in OBX.2. De maximumlengte van deze tekenreeks is 4000 tekens, maar dit kan meer zijn met een Gepresenteerd EGM rapport in PDF-indeling.
- OBX.6 bevat de meeteenheid voor de gegevens in OBX.5, indien van toepassing. Meeteenheden en decimaalscheidingstekens zijn gelokaliseerd.
- Datum/tijd van de observatie (OBX.14) bevat alleen een waarde indien de tijdstempel van een bepaalde observatie verschilt van de tijdstempel die is gerapporteerd bij OBR.7. Deze waarde is vereist voor observatiegroepen OBR-1 en OBR-3, maar is niet aanwezig bij de groepen OBR-2 en OBR-4.

ZUX-SEGMENTSTRUCTUUR

De Z-segmenten zijn aangepaste segmenten die gebruikt worden voor het overdragen van specifieke LATITUDE-informatie.

| ELEMENT-NAAM | SEQ | SUB SEQ | DT | LEN | GE-BRUIK | CARD | TBL # | ITEM # | FAST | VOOR-BEELD-WAARDE |
|--------------|-----|---------|----|-----|----------|--------|-------|--------|------|--|
| Segmenttype | 1 | | ST | 3 | R | [1..1] | | | J | ZU1 of ZU2 Zie opmerking a |
| Waarde | 2 | | ST | 200 | R | [1..1] | | | | URL of type verslag Zie opmerking a |

- De twee Z-segmenten die gebruikt worden, zijn:
 - ZU1 - Deze waarde bevat de URL-tekenreeks waarmee een systeemgebruiker naar de patiënt kan koppelen in LATITUDE. Bijv. <https://www.test.bostonscientific.com/access/physician/patientDetails?id=987654321>
 - ZU2 - De waarde bevat de beschrijving en de versie van het LATITUDE-bericht. Bijv. Overzichtsrapport apparaat, versie 6

DEFINITIES VAN HL7-TERMEN VOOR LATITUDE

HOOFDSTUK 7

In dit hoofdstuk worden de volgende onderwerpen beschreven:

- “Definities van HL7-terminen voor Latitude” op pagina 7-2
- “OBX-terminen die worden gebruikt in de groep OBR–1 (Gegevens laatste opvraging)” op pagina 7-2
- “OBX-terminen die worden gebruikt in de groep OBR–2 (Implantatiegegevens)” op pagina 7-9
- “OBX-terminen die worden gebruikt in de groep OBR–3 (Gegevens laatste poliklinische leadtest)” op pagina 7-10
- “OBX-terminen die worden gebruikt in de groep OBR–4 (Leadinformatiegegevens)” op pagina 7-11

DEFINITIES VAN HL7-TERMEN VOOR LATITUDE

Alle observaties die in de OBX-segmenten staan, zijn gecodeerd met specifieke LATITUDE-terminen. De onderstaande tabellen geven een volledig overzicht van de OBX-terminen die worden gebruikt in de vier OBR-groepen. Niet alle termen zijn voor alle apparaten relevant. Daarom zullen niet alle berichten al deze termen bevatten.

OBX-TERMEN DIE WORDEN GEBRUIKT IN DE GROEP OBR-1 (GEGEVENS LAATSTE OPVRAGING)

Niet ieder bericht bevat alle termen

| GDT-code | Naam van de term | Beschrijving | Gegevens- type | Een- heid |
|-----------|--|---|-------------------|--------------|
| GDT-00001 | Bron resultaat | De resultatenbron geeft de bron van de gegevens aan (bijvoorbeeld externe opvraging) | ST | |
| GDT-00002 | Device Fabrikant | De bedrijfsnaam van de fabrikant van het apparaat | ST | |
| GDT-00003 | Type apparaat | Het type apparaat | ST | |
| GDT-00004 | Naam van het apparaat | De naam die door de fabrikant aan een apparaat gegeven is | ST | |
| GDT-00005 | Device modelnaam | De modelnaam van het apparaat | ST | |
| GDT-00006 | Device model nummer | Het modelnummer van het apparaat | ST | |
| GDT-00007 | Serienummer van het apparaat | Het serienummer van het apparaat | ST | |
| GDT-00008 | Batterijmeter | Het percentage dat de levensduur van de batterij aangeeft | NM | % |
| GDT-00009 | Batterijstatus | Geeft een waarschuwing of melding over de huidige status van de batterij | ST | |
| GDT-00010 | Voltagecontrole | De meting van het batterijvoltage die door het geïmplanteerde apparaat is uitgevoerd. | ST | V |
| GDT-00011 | Laadtijd | De laadtijd van de laatste condensatorreformatie. | NM | s |
| GDT-00012 | Laatste reformatie | De datum van de laatste condensatorreformatie in het geïmplanteerde apparaat. | DT | |
| GDT-00013 | VF-episodes | Totale ventrikelfibrillatie-episodes: het aantal episodes in de hoogste tachyzone dat is gedetecteerd sinds de datum van "Tellers sinds". | ST | |
| GDT-00014 | <ul style="list-style-type: none"> • VT Episodes • Tachy-episodes • VT Episodes (V>A) | VT Episodes: VT-zonearitmieën die zijn gedetecteerd sinds de datum van "Tellers sinds" | ST | |
| GDT-00015 | VT-1-episodes | VT-1-episodes: VT-1-zonearitmieën die zijn gedetecteerd sinds de datum van "Tellers sinds". De naam van de term wordt weergegeven als VT Episodes of als Tachy-episodes, afhankelijk van het geïmplanteerde apparaat. | ST | |
| GDT-00016 | <ul style="list-style-type: none"> • Niet-aanhoudende ventriculaire episodes • Niet-aanhoudende episodes | Totale niet-aanhoudende episodes van ventriculaire tachycardie: het aantal niet-aanhoudende VT-episodes dat is gedetecteerd sinds de datum van "Tellers sinds" | ST | |

| | | | | |
|-----------|--|---|----|-----|
| GDT-00017 | <ul style="list-style-type: none"> ATR mode switches ATR Episodes | ATR mode switches: het aantal modeswitches dat sinds de datum van Tellers sinds is gedetecteerd. | NM | |
| GDT-00018 | Afib-episodes | Atriumfibrillatie-episodes: atriumfibrillatie-episodes die zijn gedetecteerd sinds de datum van Tellers sinds. | NM | |
| GDT-00019 | <ul style="list-style-type: none"> SVT Episodes SVT Episodes (V≤A) | Supraventriculaire (atriale) tachycardie-episodes: SVT (AT)-episodes die zijn gedetecteerd sinds de datum van Tellers sinds. | NM | |
| GDT-00020 | Atriaal percentage gestim. | Rechtsatriaal stimulatiepercentage: het percentage van alle rechtsatriale events die zijn gedetecteerd sinds de datum van "Tellers sinds", en die werden gestimuleerd. | NM | % |
| GDT-00021 | RV percentage gestim. | Rechtsventriculair stimulatiepercentage: het percentage van alle rechtsventriculaire events die zijn gedetecteerd sinds de datum van "Tellers sinds", en die werden gestimuleerd. | NM | % |
| GDT-00022 | LV percentage gestim. | Linksventriculair stimulatiepercentage: het percentage van alle linksventriculaire events die zijn gedetecteerd sinds de datum van "Tellers sinds", en die werden gestimuleerd. | NM | % |
| GDT-00023 | Rechter Atriale Lead Status | De huidige status van de rechtsatriale lead, zoals bepaald door het apparaat op basis van analyse van de leadamplitude en -impedantie. | ST | |
| GDT-00024 | RA Intrinsieke amplitude | Rechtsatriale intrinsieke amplitude (P-golf) gemeten tijdens een intrinsieke amplitudetest. | ST | mV |
| GDT-00025 | RA-stimulatie-impedantie | Rechtsatriale leadimpedantie gemeten tijdens een leadimpedantietest. | ST | Ohm |
| GDT-00026 | Rechter Ventriculaire Lead Status | De huidige status van de rechtsventriculaire lead, zoals bepaald door het apparaat op basis van analyse van de leadamplitude en -impedantie. | ST | |
| GDT-00027 | RV intrinsieke amplitude | Rechtsventriculaire intrinsieke amplitude (R-golf) gemeten tijdens een intrinsieke amplitudetest. | ST | mV |
| GDT-00028 | RV stimulatie-imp. | Rechtsventriculaire leadimpedantie gemeten tijdens een leadimpedantietest. | ST | Ohm |
| GDT-00029 | <ul style="list-style-type: none"> LV-leadstatus Linker Ventriculaire Lead Status | De huidige status van de linksventriculaire lead, zoals bepaald door het apparaat op basis van analyse van de leadamplitude en -impedantie. | ST | |
| GDT-00030 | LV intrinsieke amplitude | Linksventriculaire intrinsieke amplitude (R-golf) gemeten tijdens een intrinsieke amplitudetest. | ST | mV |
| GDT-00031 | LV stimulatie-imp. | Linksventriculaire leadimpedantie gemeten tijdens een leadimpedantietest. | ST | Ohm |
| GDT-00032 | <ul style="list-style-type: none"> Status van shockvector Impedantiestatus elektrode | De huidige status van de shockvector, zoals bepaald door het apparaat op basis van analyse van de impedantie. | ST | |
| GDT-00033 | Shock-impedantie | Dagelijkse gemeten waarde voor shock-impedantie | ST | Ohm |
| GDT-00034 | <ul style="list-style-type: none"> VTachymodus Therapie | Ventriculaire therapiemodus. | ST | |
| GDT-00035 | A tachymode | Atriale tachytherapiemodus. | ST | |
| GDT-00036 | Brady mode | Brady mode (d.w.z. stimulatiemodus): de manier waarop een apparaat ondersteuning voor frequentie en ritme biedt. | ST | |

| | | | | |
|-----------|---|---|----|-------------------|
| GDT-00037 | Basisfrequentie | De basisfrequentie (LRL) is de frequentie waarbij het geïmplanteerde apparaat bij afwezigheid van gedetecteerde intrinsieke activiteit het atrium en/of ventrikel stimuleert. | NM | min ⁻¹ |
| GDT-00038 | Maximale trackingfrequentie | Maximale trackingfrequentie: in de DDI- en I(R)-modi is de maximale trackingfrequentie (MTR) de maximale frequentie waarbij synchroon (1:1) met niet-refractaire gedetecteerde atriale slagen ventriculaire stimulatie kan plaatsvinden. | NM | min ⁻¹ |
| GDT-00039 | Maximale sensorfrequentie | De snelste door de sensor aangestuurde stimulatiefrequentie die in een frequentieadaptief stimulatiesysteem kan worden bereikt. | NM | min ⁻¹ |
| GDT-00040 | Gevoeligheid RA | Rechtsatriale gevoeligheid: De parameter Atriale gevoeligheid geeft het kleinste signaal aan dat gedetecteerd zal worden in het rechteratrium. De waarde kan een numerieke waarde zijn die wordt uitgedrukt in mV, een teksttekenreeks van (Nominaal, Minder, Ten minste), of een combinatie van deze twee. | ST | mV |
| GDT-00041 | Gevoeligheid RV | Rechtsventriculaire gevoeligheid: De parameter Gevoeligheid rechtsventriculair geeft het kleinste signaal aan dat zal worden gedetecteerd in het rechterventrikel. De waarde kan een numerieke waarde zijn die wordt uitgedrukt in mV, een teksttekenreeks van (Nominaal, Minder, Ten minste), of een combinatie van deze twee. | ST | mV |
| GDT-00042 | Gevoeligheid LV | Linksventriculaire gevoeligheid: De parameter Gevoeligheid linksventriculair geeft het kleinste signaal aan dat zal worden gedetecteerd in het linkerventrikel. De waarde kan een numerieke waarde zijn die wordt uitgedrukt in mV, een teksttekenreeks van (Nominaal, Minder, Ten minste), of een combinatie van deze twee. | ST | mV |
| GDT-00043 | Gestimuleerde AV-vertraging | De waarde van de instelling 'AV-interval'. | ST | ms |
| GDT-00044 | Gedet. AV-offset | Gedetecteerde AV-offset: Het AV-interval wordt verkort door de geprogrammeerde "Gedet. AV-offset" na een gedetecteerd atriaal event. Bij COGNIS- en TELIGEN-apparaten en nieuwere apparaten kan er een waarde worden weergegeven, zelfs als deze niet van toepassing is voor de huidige geprogrammeerde modus. | ST | ms |
| GDT-00045 | AV Hysterese Search-interval | Aantal gestimuleerde AV-cycli tussen A-V-frequentiezoekacties | ST | cycli |
| GDT-00046 | AV-Search hysterese AV toename | Het percentage stijging van AV-interval dat toegepast moet worden op de volgende cardiale cyclus als de AV-zoekfunctie actief is. Let op: deze waarde wordt uitgevoerd voor gebruik met oudere apparaten. GDT-00218 wordt uitgevoerd voor gebruik met COGNIS-, TELIGEN-, PROGENY- en INGENIO-apparaten. | NM | % |
| GDT-00047 | <ul style="list-style-type: none"> • A-refractair (PVARP) • A-refractaire periode | De post-ventriculaire atriale refractaire periode (PVARP) is de tijdsperiode na een ventriculair event, gestimuleerd of gedetecteerd, wanneer de activiteit in het atrium de cardiale cyclus niet reset, noch een ventriculaire stimulatie triggert. | ST | ms |
| GDT-00048 | RV-refractaire periode (RVRP) | De rechtsventriculaire refractaire periode is de tijdsperiode na een rechtsventriculair event (gestimuleerd of gedetecteerd), waarbinnen gedetecteerde elektrische activiteit in het rechterventrikel de timingscycli niet reset. | ST | ms |
| GDT-00049 | LV-refractaire periode (LVRP) | De linksventriculaire refractaire periode (LVRP) wordt gedefinieerd als de tijdsperiode na een linksventriculair event, gestimuleerd of gedetecteerd, als intrinsieke LV-events niet gebruikt worden om de timingscycli te resetten. | NM | ms |

| | | | | |
|-----------|---|--|----|-------------------|
| GDT-00050 | Besch. periode LV | Linksventriculaire protectieperiode (LVPP): LVPP is de periode na een linksventriculair event, gestimuleerd of gedetecteerd, waarin het apparaat het linkerventrikel niet zal stimuleren. | NM | ms |
| GDT-00051 | Ventriculaire stimulatiekamer | Stimulatiekamer: deze parameter bepaalt de ventriculaire stimulatieconfiguratie: stimulatie links, stimulatie rechts of biventriculaire stimulatie. | ST | |
| GDT-00052 | Ventriculaire stimulatiekamer LV offset | Verloop tussen de toediening van RV- en LV-stimulatiepuls. Het verloop wordt toegepast op de LV-stimulatiepuls, op basis van de timing van de RV-stimulatiepuls. Het verloop kan een negatieve of positieve waarde hebben. | NM | ms |
| GDT-00053 | Stimulatieoutput – RA | De combinatie van de rechtsatriale amplitude en de rechtsatriale pulsduur. | ST | |
| GDT-00054 | Stimulatieoutput – RV | De combinatie van de rechtsventriculaire amplitude en de rechtsventriculaire pulsduur. | ST | |
| GDT-00055 | Stimulatieoutput – LV | De combinatie van de linksventriculaire amplitude en de linksventriculaire pulsduur. | ST | |
| GDT-00056 | ATR mode switch modus | ATR mode switch modus: niet-volgende verandering van stimulatiemodus als de patiënt atriale tachyarritmie ervaart. | ST | |
| GDT-00057 | Frequentie ATR mode switch | De atriale tachyresponsfrequentie is de stimulatiefrequentie waarbij de modus overschakelt naar een nieuwe therapie-instelling. | ST | min ⁻¹ |
| GDT-00058 | AFib-zone | AFib-frequentiedrempel: De frequentie waarboven een A-A-interval geassocieerd wordt in de AFib-zone. | ST | min ⁻¹ |
| GDT-00059 | AFib-zone ATP1 Type | ATP-therapie voor de eerste therapieset | ST | |
| GDT-00060 | AFib-zone ATP1 Aantal bursts | Het geprogrammeerde aantal atriale antitachystimulatiebursts dat door een geïmplanteerd apparaat voor de eerste geprogrammeerde atriale therapieset afgegeven wordt in de AFib-zone. | ST | |
| GDT-00061 | AFib-zone ATP2 Type | ATP-therapie voor de tweede geprogrammeerde therapieset. | ST | |
| GDT-00062 | AFib-zone ATP2 Aantal bursts | Het geprogrammeerde aantal atriale antitachystimulatiebursts dat door een geïmplanteerd apparaat voor de tweede geprogrammeerde atriale therapieset afgegeven wordt in de AFib-zone. | ST | |
| GDT-00063 | AFib-zone Shock 1 Energie | AFib Shock 1-energie: De hoeveelheid afgegeven energie bij de eerste shock van de AFib-zone. | ST | J |
| GDT-00064 | AFib-zone Shock 2 Energie | AFib Shock 2-energie: De hoeveelheid afgegeven energie bij de tweede shock van de AFib-zone. | ST | J |
| GDT-00065 | AFib-zone Shock 3 Energie | AFib Shock 3-energie: De hoeveelheid afgegeven energie bij de derde shock van de AFib-zone. | ST | J |
| GDT-00066 | SVT-zone | SVT (AT)-frequentiedrempel: De frequentie waarboven een A-A-interval geassocieerd wordt in de SVT-zone (d.w.z. AT-zone). | NM | min ⁻¹ |
| GDT-00067 | SVT-zone ATP1 Type | Het type atriale antitachystimulatiebursts dat door een geïmplanteerd apparaat voor de eerste geprogrammeerde atriale therapieset afgegeven wordt in de SVT-zone (d.w.z. AT-zone). | ST | |
| GDT-00068 | SVT-zone ATP1 Aantal bursts | Het aantal atriale antitachystimulatiebursts dat door een geïmplanteerd apparaat voor de eerste geprogrammeerde atriale therapieset afgegeven wordt in de SVT-zone (d.w.z. AT-zone). | ST | |

| | | | | |
|-----------|--|--|----|-------------------|
| GDT-00069 | SVT-zone ATP2 Type | Het type atriale antitachystimulatiebursts dat afgegeven wordt in de SVT-zone (d.w.z. AT-zone) door een geïmplanteerd apparaat voor de tweede geprogrammeerde atriale therapieset. | ST | |
| GDT-00070 | SVT-zone ATP2 Aantal bursts | Het aantal atriale antitachystimulatiebursts dat afgegeven wordt in de SVT-zone (d.w.z. AT-zone) door een geïmplanteerd apparaat voor de tweede geprogrammeerde atriale therapieset. | ST | |
| GDT-00071 | SVT-zone Shock 1 Energie | SVT (AT) Shock 1-energie: De hoeveelheid afgegeven energie bij de eerste shock van de SVT-zone (d.w.z. AT-zone). | ST | J |
| GDT-00072 | SVT-zone Shock 2 Energie | SVT (AT) Shock 2-energie: De hoeveelheid afgegeven energie bij de tweede shock van de SVT-zone (d.w.z. AT-zone). | ST | J |
| GDT-00073 | SVT-zone Shock 3 Energie | SVT (AT) Shock 3-energie: De hoeveelheid afgegeven energie bij de derde shock van de SVT-zone (d.w.z. AT-zone). | ST | J |
| GDT-00074 | <ul style="list-style-type: none"> • VF zone • Schokzone | VF-frequentiedrempel: de frequentie waarboven een R-R-interval geclassificeerd wordt in de VF-zone. | NM | min ⁻¹ |
| GDT-00075 | <ul style="list-style-type: none"> • VF Shock 1 Energie • Shockenergie schokzone | VF Shock 1-energie: de hoeveelheid afgegeven energie bij de eerste shock van de VF-zone. | NM | J |
| GDT-00076 | VF Shock 2 Energie | VF Shock 2-energie: de hoeveelheid afgegeven energie bij de tweede shock van de VF-zone. | NM | J |
| GDT-00077 | VF Max Shock Energie | Maximale VF-shockenergie: de hoeveelheid energie die bij elke resterende shock na de tweede shock van de VF-zone afgegeven wordt. | NM | J |
| GDT-00078 | VF Aantal extra shocks | Aantal extra VF-shocks: het aantal extra maximale energieshocks in de VF-zone, dat geprogrammeerd staat om toegediend te worden. | NM | |
| GDT-00079 | <ul style="list-style-type: none"> • VT-zone • Tachy Detectie Frequentie • Conditionele schokzone | VT-frequentiedrempel: de frequentie waarboven een R-R-interval geclassificeerd wordt in de VT-zone. | NM | min ⁻¹ |
| GDT-00080 | VT-zone ATP1-type | Het type ventriculaire antitachystimulatiebursts dat door een geïmplanteerd apparaat voor de eerste geprogrammeerde ventriculaire therapieset afgegeven wordt in de VT-zone. | ST | |
| GDT-00081 | VT-zone ATP1 Aantal bursts | Het aantal ventriculaire antitachystimulatiebursts dat door een geïmplanteerd apparaat voor de eerste geprogrammeerde ventriculaire therapieset afgegeven wordt in de VT-zone. | ST | |
| GDT-00082 | VT-zone ATP2-type | Het type ventriculaire antitachystimulatiebursts dat door een geïmplanteerd apparaat voor de tweede geprogrammeerde ventriculaire therapieset afgegeven wordt in de VT-zone. | ST | |
| GDT-00083 | VT-zone ATP2 Aantal bursts | Het aantal ventriculaire antitachystimulatiebursts dat door een geïmplanteerd apparaat voor de tweede geprogrammeerde ventriculaire therapieset afgegeven wordt in de VT-zone. | ST | |
| GDT-00084 | <ul style="list-style-type: none"> • VT Shock 1-energie • Shockenergie conditionele schokzone | VT Shock 1-energie: de hoeveelheid afgegeven energie bij de eerste shock van de VT-zone. | ST | J |
| GDT-00085 | VT Shock 2 Energie | VT Shock 2-energie: de hoeveelheid afgegeven energie bij de tweede shock van de VT-zone. | ST | J |

| | | | | |
|-----------|--|--|----|-------------------|
| GDT-00086 | VJ Max Shock Energie | Maximale VT-shockenergie: de hoeveelheid energie die bij elke resterende shock na de tweede shock van de VT-zone afgegeven wordt. | ST | J |
| GDT-00087 | VT Aantal extra max. energeshocks | Aantal extra VT-shocks: het aantal extra maximale energeshocks in de VT-zone, dat geprogrammeerd staat om toegediend te worden. | NM | |
| GDT-00088 | VT-1 zone | VT-1-frequentiedrempel: de frequentie waarboven een R-R-interval geïdentificeerd wordt in de VT-1-zone. | NM | min ⁻¹ |
| GDT-00089 | VT-1 ATP1-type | Het type ventriculaire antitachystimulatiebursts dat door een geïmplanteerd apparaat voor de eerste ventriculaire therapieset afgegeven wordt in de VT-1-zone. | ST | |
| GDT-00090 | VT-1 ATP1 Aantal bursts | Het aantal ventriculaire antitachystimulatiebursts dat door een geïmplanteerd apparaat voor de eerste ventriculaire therapieset afgegeven wordt in de VT-1-zone. | ST | |
| GDT-00091 | VT-1 ATP2-type | Het type ventriculaire antitachystimulatiebursts dat door een geïmplanteerd apparaat voor de tweede ventriculaire ATP-therapieset afgegeven wordt in de VT-1-zone. | ST | |
| GDT-00092 | VT-1 ATP2 Aantal bursts | Het aantal ventriculaire antitachystimulatiebursts dat door een geïmplanteerd apparaat voor de tweede ventriculaire ATP-therapieset afgegeven wordt in de VT-1-zone. | ST | |
| GDT-00093 | VT-1 Shock 1 Energie | VT-1 Shock 1-energie: de hoeveelheid afgegeven energie bij de eerste shock van de VT-1-zone. | ST | J |
| GDT-00094 | VT-1 Shock 2 Energie | VT-1 Shock 2-energie: de hoeveelheid afgegeven energie bij de tweede shock van de VT-1-zone. | ST | J |
| GDT-00095 | VT-1 Max Shock Energie | Maximale VT-1-shockenergie: de hoeveelheid energie die bij elke resterende shock na de tweede shock van de VT-1-zone wordt afgegeven. | ST | J |
| GDT-00096 | VT-1 Aantal extra max. energeshocks | Aantal extra VT-1-shocks: het aantal shocks dat in de VT-1-zone geprogrammeerd is voor toediening. | NM | |
| GDT-00097 | Tellers sinds | De begindatum vanaf wanneer de tellerwaarden berekend zijn. | ST | |
| GDT-00108 | Device implantatiedatum | Implantatiedatum van het apparaat <i>OPMERKING: De observatiewaarde moet voldoen aan de DT-indeling of "N/G" weergeven</i> | DT | |
| GDT-00119 | RV stimulatie drempel | De minimale elektrische stimulatie (outputpuls van de pacemaker) die nodig is om een rechtsventriculaire depolarisatie consistent te beginnen. | ST | |
| GDT-00190 | <ul style="list-style-type: none"> Reverse Mode Switch RYTHMIQ™ | De alternatieve manier waarop een apparaat ondersteuning voor frequentie en ritme biedt. | ST | |
| GDT-00191 | <ul style="list-style-type: none"> RA-leadconfiguratie Leadconfiguratie (Stim/Detect) - RA | De configuratie van de RA-lead voor stimulatie en detectie. | ST | |
| GDT-00192 | <ul style="list-style-type: none"> RV-leadconfiguratie Leadconfiguratie (Stim/Detect) - RV | De configuratie van de RV-lead voor stimulatie en detectie. | ST | |

| | | | | |
|-----------|--|---|----|-------------------|
| GDT-00193 | <ul style="list-style-type: none"> • LV-leadconfiguratie • Leadconfiguratie (Stim/Detect) - LV | De configuratie van de LV-lead voor stimulatie en detectie. | ST | |
| GDT-00196 | ATR Minimum duur | Minimale duur van de atriale tachycardiereactie: De kortste duur van atriale tachycardieresponseepisodes sinds de datum van Tellers sinds. | ST | |
| GDT-00197 | ATR Maximum duur | Maximale duur van de atriale tachycardierespons: De langste duur van atriale tachycardieresponseepisodes sinds de datum van Tellers sinds. | ST | |
| GDT-00200 | Magneetfrequentie | De verwachte frequentie indien een magneet bij het apparaat zou worden gehouden; dit is een indicatie van de resterende levensduur van de batterij. | NM | min ⁻¹ |
| GDT-00201 | Minuut Volume | Deze parameter geeft de MV-sensormodus aan voor frequentieadapterende stimulatie. De mogelijke waarden zijn Aan, Uit, Passief of Alleen ATR. | ST | |
| GDT-00207 | Accelerometer | Deze parameter geeft de XL-sensormodus aan voor frequentieadapterende stimulatie. De mogelijke waarden zijn Aan, Uit, Passief of Alleen ATR. | ST | |
| GDT-00212 | MRI Beschermingsmodus | Telt het aantal keer dat MRI-beveiliging is gestart sinds de laatste reset van het geïmplanteerde apparaat. | NM | |
| GDT-00213 | RA stimulatiedrempel | De minimale elektrische stimulatie (outputpuls van de pacemaker) die nodig is om een rechtsatriale depolarisatie consistent te beginnen. | ST | |
| GDT-00216 | <ul style="list-style-type: none"> • Ventriculaire Tachy EGM-opslag • Tachy EGM-opslag | Parameter om te bepalen of tachy-EGM-opslag is in- of uitgeschakeld. Alleen bradyapparaten. | ST | |
| GDT-00217 | VF zone ATP | Geeft aan of ATP-therapie is geactiveerd in de VF-zone. | ST | |
| GDT-00218 | AV-Search hysteresis AV-interval | Het AV-interval dat moet worden toegepast als een AV-zoekfunctie actief is voor het apparaat. Let op: deze waarde wordt uitgevoerd voor gebruik met toekomstige COGNIS-, TELIGEN-, PROGENY- en INGENIO-apparaten. GDT-00046 wordt uitgevoerd voor gebruik met oudere apparaten. | NM | ms |
| GDT-00219 | LV stimulatiedrempel | De minimale elektrische stimulatie (outputpuls van de pacemaker) die nodig is om een linksventriculaire depolarisatie consistent te beginnen. | ST | |
| GDT-00220 | Teller voor behandelde episodes sinds implantatie | Het totale aantal behandelde episodes van de S-ICD sinds het huidige apparaat werd geïmplantieerd. | NM | |
| GDT-00221 | Teller voor behandelde episodes sinds laatste reset | Het totale aantal behandelde episodes van de S-ICD sinds de datum van Tellers sinds. | NM | |
| GDT-00222 | Teller voor niet-behandelde episodes sinds implantatie | Het totale aantal niet-behandelde episodes van de S-ICD sinds het huidige apparaat werd geïmplantieerd. | NM | |
| GDT-00223 | Teller voor niet-behandelde episodes sinds laatste reset | Het totale aantal niet-behandelde episodes van de S-ICD sinds de datum van Tellers sinds. | NM | |

| | | | | |
|-----------|---|--|----|---|
| GDT-00224 | Aantal afgegeven schokken sinds implantatie | Het totale aantal afgegeven shocks van de S-ICD sinds het huidige apparaat werd geïmplantéerd. | NM | |
| GDT-00225 | Aantal afgegeven schokken sinds laatste reset | Het totale aantal afgegeven shocks van de S-ICD sinds de datum van Tellers sinds. | NM | |
| GDT-00226 | Gain-instelling | S-ECG-gain-instelling van de S-ICD. | ST | |
| GDT-00227 | Detectie-configuratie | Detectieconfiguratie-instelling van de S-ICD. | ST | |
| GDT-00228 | Post-shock stimulatie | Instelling van de S-ICD voor het in- of uitschakelen van stimulatie nadat de shock is afgegeven. | ST | |
| GDT-00229 | Shockpolariteit | Waarde voor schokpolariteit van de S-ICD. | ST | |
| GDT-00230 | SMART Charge-duur | Waarde voor SMART Charge-duur van de S-ICD. | NM | s |
| GDT-00231 | SMART Charge-intervallen | Waarde voor SMART Charge-interval van de S-ICD. | NM | |
| GDT-01000 | Gepresenteerd EGM rapport | Het gepresenteerde EGM-rapport voor de huidige opvraging heeft een PDF-indeling. | ED | |

OBX-TERMINEN DIE WORDEN GEBRUIKT IN DE GROEP OBR-2 (IMPLANTATIEGEGEVENS)

Niet ieder bericht bevat alle termen

| GDT-code | Naam van de term | Beschrijving | Gegevens-type | Eenheid |
|-----------|------------------------------|--|---------------|---------|
| GDT-00001 | Bron resultaat | De resultatenbron geeft de bron van de gegevens aan (bijvoorbeeld implantatie). | ST | |
| GDT-00002 | Device Fabrikant | De bedrijfsnaam van de fabrikant van het apparaat. | ST | |
| GDT-00003 | Type apparaat | Het type apparaat. | ST | |
| GDT-00004 | Naam van het apparaat | De naam die door de fabrikant aan een apparaat is gegeven. | ST | |
| GDT-00005 | Device modelnaam | De modelnaam van het apparaat. | ST | |
| GDT-00006 | Device modelnummer | Het modelnummer van het apparaat. | ST | |
| GDT-00007 | Serienummer van het apparaat | Het serienummer van het apparaat | ST | |
| GDT-00098 | RA Intrinsieke amplitude | Rechtsatriale intrinsieke amplitude (P-golf) gemeten tijdens een intrinsieke amplitudetest. | ST | mV |
| GDT-00099 | RA-stimulatie-impedantie | Rechtsatriale leadimpedantie gemeten tijdens een leadimpedantietest. | ST | Ohm |
| GDT-00100 | RA stimulatiedrempel | De minimale elektrische stimulatie (outputpuls van de pacemaker) die nodig is om een rechtsatriale depolarisatie consistent te beginnen. | ST | |
| GDT-00101 | RV intrinsieke amplitude | Rechtsventriculaire intrinsieke amplitude (R-golf) gemeten tijdens een intrinsieke amplitudetest. | ST | mV |
| GDT-00102 | RV stimulatie-imp. | Rechtsventriculaire leadimpedantie gemeten tijdens een leadimpedantietest. | ST | Ohm |
| GDT-00103 | RV stimulatiedrempel | De minimale elektrische stimulatie (stimulatieoutputpuls) die nodig is om een | ST | |

| | | | | |
|-----------|--------------------------|--|----|-----|
| | | rechtsventriculaire depolarisatie consistent te beginnen. | | |
| GDT-00104 | LV intrinsieke amplitude | Linksventriculaire intrinsieke amplitude (R-golf) gemeten tijdens een intrinsieke amplitudetest. | ST | mV |
| GDT-00105 | LV stimulatie-imp. | Linksventriculaire leadimpedantie gemeten tijdens een leadimpedantietest. | ST | Ohm |
| GDT-00106 | LV stimulatierempel | De minimale elektrische stimulatie (stimulatieoutputpuls) die nodig is om een linksventriculaire depolarisatie consistent te beginnen. | ST | |
| GDT-00107 | Shockimpedantie | Laatst afgegeven ventriculaire shockleadimpedantie: De shockimpedantie van de laatste afgegeven ventriculaire shock. | ST | Ohm |
| GDT-00108 | Device implantatiedatum | Implantatiedatum van het apparaat <i>OPMERKING: De observatiewaarde moet voldoen aan de DT-indeling of "N/R" weergeven.</i> | DT | |

OBX-TERMEN DIE WORDEN GEBRUIKT IN DE GROEP OBR-3 (GEGEVENS LAATSTE POLIKLINISCHE LEADTEST)

Niet ieder bericht bevat alle termen

| GDT-code | Naam van de term | Beschrijving | Gegevens-type | Eenheid |
|-----------|------------------------------|--|---------------|---------|
| GDT-00001 | Bron resultaat | De resultatenbron geeft de bron van de gegevens aan (bijvoorbeeld Lead Test: In-Office). | ST | |
| GDT-00002 | Device Fabrikant | De bedrijfsnaam van de fabrikant van het apparaat. | ST | |
| GDT-00003 | Type apparaat | Het type apparaat. | ST | |
| GDT-00004 | Naam van het apparaat | De naam die door de fabrikant aan een apparaat is gegeven. | ST | |
| GDT-00005 | Device modelnaam | De modelnaam van het apparaat. | ST | |
| GDT-00006 | Device modelnummer | Het modelnummer van het apparaat. | ST | |
| GDT-00007 | Serienummer van het apparaat | Het serienummer van het apparaat. | ST | |
| GDT-00108 | Device implantatiedatum | Implantatiedatum van het apparaat <i>OPMERKING: De observatiewaarde moet voldoen aan de DT-indeling of "N/R" weergeven.</i> | DT | |
| GDT-00109 | RA Intrinsieke amplitude | Rechtsatriale intrinsieke amplitude (P-golf) gemeten tijdens een intrinsieke amplitudetest. | ST | mV |
| GDT-00110 | RA-stimulatie-impedantie | Rechtsatriale leadimpedantie gemeten tijdens een leadimpedantietest. | ST | Ohm |
| GDT-00111 | RA stimulatierempel | De minimale elektrische stimulatie (outputpuls van de pacemaker) die nodig is om een rechtsatriale depolarisatie consistent te beginnen. | ST | |
| GDT-00112 | RV intrinsieke amplitude | Rechtsventriculaire intrinsieke amplitude (R-golf) gemeten tijdens een intrinsieke amplitudetest. | ST | mV |
| GDT-00113 | RV stimulatie-imp. | Rechtsventriculaire leadimpedantie gemeten tijdens een leadimpedantietest. | ST | Ohm |
| GDT-00114 | RV stimulatierempel | De minimale elektrische stimulatie (stimulatieoutputpuls) die nodig is om een rechtsventriculaire depolarisatie consistent te beginnen. | ST | |

| | | | | |
|-----------|--------------------------|--|----|-----|
| GDT-00115 | LV intrinsieke amplitude | Linksventriculaire intrinsieke amplitude (R-golf) gemeten tijdens een intrinsieke amplitudetest. | ST | mV |
| GDT-00116 | LV stimulatie-imp. | Linksventriculaire leadimpedantie gemeten tijdens een leadimpedantietest. | ST | Ohm |
| GDT-00117 | LV stimulatierempel | De minimale elektrische stimulatie (stimulatieoutputpuls) die nodig is om een linksventriculaire depolarisatie consistent te beginnen. | ST | |
| GDT-00118 | Shock-impedantie | Laatst afgegeven ventriculaire shockleadimpedantie: De shockimpedantie van de laatste afgegeven ventriculaire shock. | ST | Ohm |

OBX-TERMEN DIE WORDEN GEBRUIKT IN DE GROEP OBR-4 (LEADINFORMATIEGEGEVENS)

Niet ieder bericht bevat alle termen

| GDT-code | Naam van de term (Zie opmerking a.) | Beschrijving | Gegevens- type | Een- heid |
|-----------|--|------------------------------------|-------------------|--------------|
| GDT-00120 | Lead 1: Implantatiedatum | De implantatiedatum van deze lead. | DT | |
| GDT-00121 | Lead 1: Fabrikant | De fabrikant van deze lead. | ST | |
| GDT-00122 | Lead 1: Modelnummer | Het model van deze lead. | ST | |
| GDT-00123 | Lead 1: Serienummer | Het serienummer van deze lead. | ST | |
| GDT-00124 | Lead 1: Polariteit | De polariteit van deze lead. | ST | |
| GDT-00125 | Lead 1: Positie | De positie van deze lead. | ST | |
| GDT-00126 | Lead 1: Status | De status van deze lead. | ST | |
| GDT-00130 | Lead 2: Implantatiedatum | De implantatiedatum van deze lead. | DT | |
| GDT-00131 | Lead 2: Fabrikant | De fabrikant van deze lead. | ST | |
| GDT-00132 | Lead 2: Modelnummer | Het model van deze lead. | ST | |
| GDT-00133 | Lead 2: Serienummer | Het serienummer van deze lead. | ST | |
| GDT-00134 | Lead 2: Polariteit | De polariteit van deze lead. | ST | |
| GDT-00135 | Lead 2: Positie | De positie van deze lead. | ST | |
| GDT-00136 | Lead 2: Status | De status van deze lead. | ST | |
| GDT-00140 | Lead 3: Implantatiedatum | De implantatiedatum van deze lead. | DT | |
| GDT-00141 | Lead 3: Fabrikant | De fabrikant van deze lead. | ST | |
| GDT-00142 | Lead 3: Modelnummer | Het model van deze lead. | ST | |
| GDT-00143 | Lead 3: Serienummer | Het serienummer van deze lead. | ST | |
| GDT-00144 | Lead 3: Polariteit | De polariteit van deze lead. | ST | |
| GDT-00145 | Lead 3: Positie | De positie van deze lead. | ST | |
| GDT-00146 | Lead 3: Status | De status van deze lead. | ST | |
| GDT-00150 | Lead 4: Implantatiedatum | De implantatiedatum van deze lead. | DT | |
| GDT-00151 | Lead 4: Fabrikant | De fabrikant van deze lead. | ST | |
| GDT-00152 | Lead 4: Modelnummer | Het model van deze lead. | ST | |

| | | | | |
|-----------|--------------------------|------------------------------------|----|--|
| GDT-00153 | Lead 4: Serienummer | Het serienummer van deze lead. | ST | |
| GDT-00154 | Lead 4: Polariteit | De polariteit van deze lead. | ST | |
| GDT-00155 | Lead 4: Positie | De positie van deze lead. | ST | |
| GDT-00156 | Lead 4: Status | De status van deze lead. | ST | |
| GDT-00160 | Lead 5: Implantatiedatum | De implantatiedatum van deze lead. | DT | |
| GDT-00161 | Lead 5: Fabrikant | De fabrikant van deze lead. | ST | |
| GDT-00162 | Lead 5: Modelnummer | Het model van deze lead. | ST | |
| GDT-00163 | Lead 5: Serienummer | Het serienummer van deze lead. | ST | |
| GDT-00164 | Lead 5: Polariteit | De polariteit van deze lead. | ST | |
| GDT-00165 | Lead 5: Positie | De positie van deze lead. | ST | |
| GDT-00166 | Lead 5: Status | De status van deze lead. | ST | |
| GDT-00170 | Lead 6: Implantatiedatum | De implantatiedatum van deze lead. | DT | |
| GDT-00171 | Lead 6: Fabrikant | De fabrikant van deze lead. | ST | |
| GDT-00172 | Lead 6: Modelnummer | Het model van deze lead. | ST | |
| GDT-00173 | Lead 6: Serienummer | Het serienummer van deze lead. | ST | |
| GDT-00174 | Lead 6: Polariteit | De polariteit van deze lead. | ST | |
| GDT-00175 | Lead 6: Positie | De positie van deze lead. | ST | |
| GDT-00176 | Lead 6: Status | De status van deze lead. | ST | |
| GDT-00180 | Lead 7: Implantatiedatum | De implantatiedatum van deze lead. | DT | |
| GDT-00181 | Lead 7: Fabrikant | De fabrikant van deze lead. | ST | |
| GDT-00182 | Lead 7: Modelnummer | Het model van deze lead. | ST | |
| GDT-00183 | Lead 7: Serienummer | Het serienummer van deze lead. | ST | |
| GDT-00184 | Lead 7: Polariteit | De polariteit van deze lead. | ST | |
| GDT-00185 | Lead 7: Positie | De positie van deze lead. | ST | |
| GDT-00186 | Lead 7: Status | De status van deze lead. | ST | |

a. Lead.x kan zichtbaar of onzichtbaar zijn, afhankelijk van de versie van het systeem.

VOORBEELD VAN HL7-BESTAND

HOOFDSTUK 8

In dit hoofdstuk worden de volgende onderwerpen beschreven:

- “Voorbeeld van HL7-bestand” op pagina 8-2
- “Voorbeeldbericht 1 — S-ICD-Apparaat” op pagina 8-2
- “Voorbeeldbericht 2 — Overige Apparaten (Niet S-ICD)” op pagina 8-3

Остаряла версия. Да не се използва.
Zastaralá verze. Nepoužívat.
Forældet version. Må ikke anvendes.
Version überholt. Nicht verwenden.
Version obsolete. Mην την χρησιμοποιείτε.
Παλιά έκδοση. Μην την χρησιμοποιείτε.
Outdated version. Do not use.
Version obsolete. Ne utilizar.
Zastarjela verzija. Nemojte upotrebljavati.
Úreлт útгáfa. Notið ekki.
Versione obsoleta. Non utilizzare.
Pasenusi versija. Nenaudokite.
Elavult verzió. Ne használja!
Dit is een verouderde versie. Niet gebruiken.
Utdatert versjon. Neizmantot.
Wersja przeterminowana. Nie używać.
Versão obsoleta. Não utilize.
Zastaraná verzia. Nepoužívat.
Zastarela različica. A nu se utiliza.
Vanhentunut versio. Älä käytä.
Föråldrad version. Använd ej.
Güncel olmayan sürüm. Kullanmayın.


```
201501260412-0600|201501260412-0600|||||
DR|||201501260412-0600|||FOBX|1|ST|GDT-00121^Fabrikant^
GDT-LATITUDE||BOSTON SCIENTIFIC|||||F
OBX|2|ST|GDT-00122^Modelnummer^GDT-LATITUDE||1030|||||F
OBX|3|ST|GDT-00123^Serienummer^GDT-LATITUDE||A123456|||||FZU1|
http://bsci.bossci.com:9443/clinic/emr/patient?id=497ZU2|
Versie overzichtsrapport apparaat 6
```

VOORBEELDBERICHT 2 — OVERIGE APPARATEN (NIET S-ICD)

```
MSH|^~\&|LATITUDE|BOSTON SCIENTIFIC|Aubrey St
Clinic_Netherlands|20100513144637+0000||ORU^R01|2500029|P|2.3.1|||NE|||UNICODE|NL
^Nederlands^ISO639|
PID|1|7066860|7066860~SBr2531||Brady^Scott_2NL^^|19490329|M|||^^^1000 AA|||||
NTE|1|LATITUDE|\br|Mijn alarmeringen.\br\-----\br\05 mei
2010-Lage linksventriculaire intrinsieke amplitude gedetecteerd op 05 mei 2010.
Plan een controle bij de arts om de LV-stimulatielead te evalueren.\br|
NTE|2|LATITUDE|Van Controlelijst in LATITUDE verwijderd door Garcia,
Bryce NL (BGa1228) op 13 mei 2010 om 16:46 CEST|
NTE|3|LATITUDE|\br\Events sinds laatste controle(06 jan 2010)\br\-----
\br|
PV1|1|R|||BGa1228^Garcia^Bryce_NL^^|
OBR|1||2500151|BostonScientific-LaatsteUitlezing^Laatste
opvraging||20100506083715+0000|20100506083715+0000|||||BGa1228||DR|||201005060837
15+0000|||F|
OBX|1|ST|GDT-00001^Resultatenbron^GDT-LATITUDE|Uitlezing op afstand|||||F|
OBX|2|ST|GDT-00002^Fabrikant van apparaat^GDT-LATITUDE|BOSTON SCIENTIFIC|||||F|
OBX|3|ST|GDT-00003^Type apparaat^GDT-LATITUDE|CRT-D|||||F|
OBX|4|ST|GDT-00004^Naam van het apparaat^GDT-LATITUDE|1030|||||F|
OBX|5|ST|GDT-00005^Modelnaam van apparaat^GDT-LATITUDE|COGNIS 100-D|||||F|
OBX|6|ST|GDT-00006^Modelnummer van het apparaat^GDT-LATITUDE|P107|||||F|
OBX|7|ST|GDT-00007^Serienummer van het apparaat^GDT-LATITUDE|715276|||||F|
OBX|8|DT|GDT-00108^Implantatiedatum van apparaat^GDT-LATITUDE|20090506|||||F|
OBX|9|NM|GDT-00008^Batterijmeter^GDT-LATITUDE|0%|||||F|
OBX|10|ST|GDT-00009^De batterijstatus^GDT-LATITUDE|OK Geschatte tijd tot explantatie:
N.G.|||||F|
OBX|11|NM|GDT-00011^Laadtijd^GDT-LATITUDE|N.G. s|||||F|
OBX|12|DT|GDT-00012^Laatste condensator reformatie^GDT-LATITUDE|N.G.|||||F|
OBX|13|ST|GDT-00097^Tellers sinds^GDT-LATITUDE|20100106|||||F|
OBX|14|ST|GDT-00013^VF-episodes^GDT-LATITUDE|0|||||F|
OBX|15|ST|GDT-00014^VT Episodes^GDT-LATITUDE|0|||||F|
OBX|16|ST|GDT-00015^VT-1-episodes^GDT-LATITUDE|0|||||F|
OBX|17|ST|GDT-00016^Niet-aanhoudende ventriculaire episodes^GDT-LATITUDE|0|||||F|
OBX|18|NM|GDT-00020^Atriaal percentage gestim.^GDT-LATITUDE|0%|||||F|
OBX|19|NM|GDT-00021^RV percentage gestim.^GDT-LATITUDE|0%|||||F|
OBX|20|NM|GDT-00022^LV percentage gestim.^GDT-LATITUDE|0%|||||F|
OBX|21|ST|GDT-00023^Rechter atriale leadstatus^GDT-LATITUDE|OK|||||F|
OBX|22|ST|GDT-00024^RA Intrinsieke amplitude^GDT-LATITUDE||mV|||||F|
OBX|23|ST|GDT-00025^RA-stimulatie-impedantie^GDT-LATITUDE||Ohm|||||F|
OBX|24|ST|GDT-00026^Rechtsventriculaire leadstatus^GDT-LATITUDE|OK|||||F|
OBX|25|ST|GDT-00027^RV intrinsieke amplitude^GDT-LATITUDE||mV|||||F|
OBX|26|ST|GDT-00028^RV stimulatie-imp.^GDT-LATITUDE||Ohm|||||F|
OBX|27|ST|GDT-00029^LV leadstatus^GDT-LATITUDE|OK|||||F|
OBX|28|ST|GDT-00030^LV intrinsieke amplitude^GDT-LATITUDE||mV|||||F|
OBX|29|ST|GDT-00031^LV stimulatie-imp.^GDT-LATITUDE||Ohm|||||F|
OBX|30|ST|GDT-00032^Status van shockvector^GDT-LATITUDE|OK|||||F|
OBX|31|ST|GDT-00033^Shock-impedantie^GDT-LATITUDE||Ohm|||||F|
OBX|32|ST|GDT-00034^V tachymode^GDT-LATITUDE|Monitor + Therapie|||||F|
OBX|33|ST|GDT-00036^Brady mode^GDT-LATITUDE|DDDR|||||F|
```

```

OBX|34|NM|GDT-00037^Basisfrequentie^GDT-LATITUDE||100|min-1||||F||
OBX|35|NM|GDT-00038^Maximale trackingfreq.^GDT-LATITUDE||110|min-1||||F||
OBX|36|NM|GDT-00039^Maximale sensorfrequentie^GDT-LATITUDE||110|min-1||||F||
OBX|37|ST|GDT-00040^Gevoeligheid RA^GDT-LATITUDE||AGC 0,25|mV||||F||
OBX|38|ST|GDT-00041^Gevoeligheid RV^GDT-LATITUDE||AGC 0,6|mV||||F||
OBX|39|ST|GDT-00042^Gevoeligheid LV^GDT-LATITUDE||AGC 1,0|mV||||F||
OBX|40|ST|GDT-00043^Gestimuleerde AV-vertraging^GDT-LATITUDE||30 - 300|ms||||F||
OBX|41|ST|GDT-00044^Gedetecteerde AV-offset^GDT-LATITUDE||-60|ms||||F||
OBX|42|ST|GDT-00047^A-refractair (PVARP)^GDT-LATITUDE||150 - 450|ms||||F||
OBX|43|ST|GDT-00048^RV refractaire periode (RVRP)^GDT-LATITUDE||150 - 450|ms||||F||
OBX|44|NM|GDT-00049^LV-refractaire periode (LVRP)^GDT-LATITUDE||250|ms||||F||
OBX|45|NM|GDT-00050^Besch. periode LV^GDT-LATITUDE||400|ms||||F||
OBX|46|ST|GDT-00051^Ventriculaire stimulatiekamer^GDT-LATITUDE||BiV||||F||
OBX|47|NM|GDT-00052^Ventriculaire stimulatiekamer LV offset^GDT-LATITUDE||0|ms||||F||
OBX|48|ST|GDT-00053^Stimulatieoutput - RA^GDT-LATITUDE||3,5 V @ 0,4 ms||||F||
OBX|49|ST|GDT-00054^Stimulatieoutput - RV^GDT-LATITUDE||3,5 V @ 0,4 ms||||F||
OBX|50|ST|GDT-00055^Stimulatieoutput - LV^GDT-LATITUDE||3,5 V @ 0,4 ms||||F||
OBX|51|ST|GDT-00191^Leadconfiguratie (Stim/Detect) - RA^GDT-LATITUDE||Bipolair||||F||
OBX|52|ST|GDT-00192^Leadconfiguratie (Stim/Detect) - RV^GDT-LATITUDE||Bipolair||||F||
OBX|53|ST|GDT-00193^Leadconfiguratie (Stim/Detect) - LV^GDT-LATITUDE|||||F||
OBX|54|ST|GDT-00056^ATR mode switch modus^GDT-LATITUDE||DDI||||F||
OBX|55|ST|GDT-00057^Frequentie ATR mode switch^GDT-LATITUDE||170|min-1||||F||
OBX|56|NM|GDT-00074^VF zone^GDT-LATITUDE||180|min-1||||F||
OBX|57|NM|GDT-00075^VF Shock 1 Energie^GDT-LATITUDE||41|J||||F||
OBX|58|NM|GDT-00076^VF Shock 2 Energie^GDT-LATITUDE||41|J||||F||
OBX|59|NM|GDT-00077^VF Max Shockenergie^GDT-LATITUDE||41|J||||F||
OBX|60|NM|GDT-00078^VF Aantal extra shocks^GDT-LATITUDE||6||||F||
OBX|61|NM|GDT-00079^VT zone^GDT-LATITUDE||160|min-1||||F||
OBX|62|ST|GDT-00080^VT-zone ATP1 Type^GDT-LATITUDE||Uit||||F||
OBX|63|ST|GDT-00081^VT-zone ATP1 Aantal bursts^GDT-LATITUDE||Uit||||F||
OBX|64|ST|GDT-00082^VT-zone ATP2 Type^GDT-LATITUDE||Uit||||F||
OBX|65|ST|GDT-00083^VT-zone ATP2 Aantal bursts^GDT-LATITUDE||Uit||||F||
OBX|66|ST|GDT-00084^VT Shock 1 Energie^GDT-LATITUDE||0,1|J||||F||
OBX|67|ST|GDT-00085^VT Shock 2 Energie^GDT-LATITUDE||0,1|J||||F||
OBX|68|ST|GDT-00086^VT Max Shock Energie^GDT-LATITUDE||41|J||||F||
OBX|69|NM|GDT-00087^VT Aantal extra max energeshocks^GDT-LATITUDE||4||||F||
OBX|70|NM|GDT-00088^VT-1 zone^GDT-LATITUDE||140|min-1||||F||
OBX|71|ST|GDT-00089^VT-1 ATP1 Type^GDT-LATITUDE||Uit||||F||
OBX|72|ST|GDT-00090^VT-1 ATP1 Aantal bursts^GDT-LATITUDE||Uit||||F||
OBX|73|ST|GDT-00091^VT-1 ATP2 Type^GDT-LATITUDE||Uit||||F||
OBX|74|ST|GDT-00092^VT-1 ATP2 Aantal bursts^GDT-LATITUDE||Uit||||F||
OBX|75|ST|GDT-00093^VT-1 Shock 1 Energie^GDT-LATITUDE||0,1|J||||F||
OBX|76|ST|GDT-00094^VT-1 Shock 2 Energie^GDT-LATITUDE||0,1|J||||F||
OBX|77|ST|GDT-00095^VT-1 Max Shockenergie^GDT-LATITUDE||41|J||||F||
OBX|78|NM|GDT-00096^VT-1 Aantal extra max energeshocks^GDT-LATITUDE||3||||F||
OBR|2||2500151|BostonScientific-
Implantatie^Implantatie||20090506|20090506|||||BGa1228||DR||20090506||F|
OBX|1|ST|GDT-00001^Resultatenbron^GDT-LATITUDE||Implantatie||||F||
OBX|2|ST|GDT-00002^Fabrikant van apparaat^GDT-LATITUDE||BOSTON SCIENTIFIC||||F||
OBX|3|ST|GDT-00003^Type apparaat^GDT-LATITUDE||CRT-D||||F||
OBX|4|ST|GDT-00004^Naam van het apparaat^GDT-LATITUDE||D||||F||
OBX|5|ST|GDT-00005^Modelnaam van apparaat^GDT-LATITUDE||COGNIS 100-D||||F||
OBX|6|ST|GDT-00006^Modelnummer van het apparaat^GDT-LATITUDE||P107||||F||
OBX|7|ST|GDT-00007^Serienummer van het apparaat^GDT-LATITUDE||715276||||F||
OBX|8|DT|GDT-00108^Implantatiedatum van apparaat^GDT-LATITUDE||20090506||||F||
OBX|9|ST|GDT-00098^RA Intrinsieke amplitude^GDT-LATITUDE||mV||||F||
OBX|10|ST|GDT-00099^RA-stimulatie-impedantie^GDT-LATITUDE||Ohm||||F||
OBX|11|ST|GDT-00100^RA stimulatiedrempel^GDT-LATITUDE||V @ ms||||F||
OBX|12|ST|GDT-00101^RV intrinsieke amplitude^GDT-LATITUDE||mV||||F||

```

```

OBX|13|ST|GDT-00102^RV  stimulatie-imp.^GDT-LATITUDE|||Ohm||||F||
OBX|14|ST|GDT-00103^RV  stimulatiedrempelwaarde^GDT-LATITUDE||V @ ms||||F||
OBX|15|ST|GDT-00104^LV  intrinsieke amplitude^GDT-LATITUDE||mV||||F||
OBX|16|ST|GDT-00105^LV  stimulatie-imp.^GDT-LATITUDE|||Ohm||||F||
OBX|17|ST|GDT-00106^LV  stimulatiedrempel^GDT-LATITUDE||V @ ms||||F||
OBX|18|ST|GDT-00107^Shock-impedantie^GDT-LATITUDE|||Ohm||||F||
OBR|3||2500151|Boston Scientific-LaatstOpPraktijk^Leadtest: in
praktijk|||||BGal228||DR||||F|
OBX|1|ST|GDT-00001^Resultatenbron^GDT-LATITUDE||Leadtest: in praktijk||||F||
OBX|2|ST|GDT-00002^Fabrikant van apparaat^GDT-LATITUDE||BOSTON SCIENTIFIC||||F||
OBX|3|ST|GDT-00003^Type apparaat^GDT-LATITUDE||CRT-D||||F||
OBX|4|ST|GDT-00004^Naam van het apparaat^GDT-LATITUDE|||||F||
OBX|5|ST|GDT-00005^Modelnaam van apparaat^GDT-LATITUDE||COGNIS 100-D||||F||
OBX|6|ST|GDT-00006^Modelnummer van het apparaat^GDT-LATITUDE||P107||||F||
OBX|7|ST|GDT-00007^Serienummer van het apparaat^GDT-LATITUDE||715276||||F||
OBX|8|DT|GDT-00108^Implantatiedatum van apparaat^GDT-LATITUDE||20090506||||F||
OBX|9|ST|GDT-00109^RA  Intrinsieke amplitude^GDT-LATITUDE||<0,1|mV||||F||
OBX|10|ST|GDT-00110^RA  stimulatie-impedantie^GDT-LATITUDE||<200|Ohm||||F||
OBX|11|ST|GDT-00111^RA  stimulatiedrempel^GDT-LATITUDE||N.G.||||F||
OBX|12|ST|GDT-00112^RV  intrinsieke amplitude^GDT-LATITUDE||<0,1|mV||||F||
OBX|13|ST|GDT-00113^RV  stimulatie-imp.^GDT-LATITUDE||<200|Ohm||||F||
OBX|14|ST|GDT-00114^RV  stimulatiedrempelwaarde^GDT-LATITUDE||N.G.||||F||
OBX|15|ST|GDT-00115^LV  intrinsieke amplitude^GDT-LATITUDE||<0,1|mV||||F||
OBX|16|ST|GDT-00116^LV  stimulatie-imp.^GDT-LATITUDE||<200|Ohm||||F||
OBX|17|ST|GDT-00117^LV  stimulatiedrempel^GDT-LATITUDE||N.G.||||F||
OBX|18|ST|GDT-00118^Shock-impedantie^GDT-LATITUDE||<20|Ohm||||F||
OBR|4||2500151|BostonScientific
Leads^Leadinformatie||20100513144637+0000|20100513144637+0000|||||BGal228||DR||||
20100513144637+0000||F|
ZU1|https://www.was1.bostonscientific.com:558/access/physician/
patientDetails?id=7066860|
ZU2|Overzichtsrapport van apparaat versie 2|


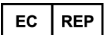


```

Ostaryala wersja
Zastaralá verze
Forældet verze
Version üh
Aegunua
Παλιό έκδοση
Versio
Zastarjena
Úrelt útgáfa.
Versione obsole
Novcojusi
Pasenusi
Elavult verzió.
Dit is een verouderde versie. Niet gebruiken.
Utdatert versjon. Skal ikke brukes.
Wersja przeterminowana. Nie używać.
Versão obsoleta. Não utilize.
Zastarana različica. Ne uporabite.
Vanhentunut versio. Älä käytä.
Föråldrad version. Använd ej.
Güncel olmayan sürüm. Kullanmayın.

Остаряла версия. Да не се използва.
Zastaralá verze. Nepoužívat.
Forældet version. Må ikke anvendes.
Version überholt. Nicht verwenden.
Aegunud versioón. Myn þyn Χρησιμοποιείτε.
Παλιά έκδοση. Μην την Χρησιμοποιείτε.
Outdated version. Do not use.
Versión obsoleta. No utilizar.
Version périmée. Ne pas utiliser.
Zastarjela verzija. Nemojte upotrebljavati.
Úrelt útgáfa. Notið ekki.
Versione obsoleta. Non utilizzare.
Pasenusi versija. Neizmantot.
Elavult verzió. Ne használja!
Wersja przeterminowana. Niet gebruiken.
Versão obsoleta. Não utilize.
Versione expirată. A nu se utiliza.
Zastaraná verzia. Nepoužívat.
Zastarela različica. Ne uporabite.
Vanhentunut versio. Älä käytä.
Föråldrad version. Använd ej.
Güncel olmayan sürüm. Kullanmayın.

SYMBOLEN OP STICKERS

BIJLAGE A

| Symbool | Betekenis |
|---|--|
|  | Fabrikant |
|  | Geautoriseerde vertegenwoordiger in de Europese Gemeenschap |
|  | Adres Australische sponsor |
|  | CE-conformiteitsmerkteken met de identificatie van de op de hoogte gebrachte groep die het gebruik van het merkteken goedkeurt |

Остаряла версия. Да не се използва.
 Zastaralá verze. Nepoužívat.
 Forældet version. Må ikke anvendes.
 Version überholt. Nicht verwenden.
 Version obsolete. Mην την χρησιμοποιείτε.
 Outdated version. Do not use.
 Παλιά έκδοση. Μην την χρησιμοποιείτε.
 Outdated version. No utilizar.
 Versión obsoleta. Ne pas utiliser.
 Zastarjela verzija. Nemojte upotrebljavati.
 Úreлт útgáfa. Notið ekki.
 Versiune obsoleta. Ne utilizare.
 Zastarjela verzija. Neizmantot.
 Úreлт útgáfa. Notið ekki.
 Novcojusi versija. Nenaudokite.
 Pasenusi versija. Ne pas utilizar.
 Elavult verzió. Ne használja!
 Utdatert versjon. Niet gebruiken.
 Wersja przeterminowana. Nie używać.
 Versão obsoleta. Não utilize.
 Zastaraná verzia. Nepoužívat.
 Zastarela različica. Ne uporabite.
 Vanhentunut versio. Älä käytä.
 Föråldrad version. Använd ej.
 Güncel olmayan sürüm. Kullanmayın.

Остаряла версия. Да не се използва.
Zastaralá verze. Nepoužívat.
Forældet version. Må ikke anvendes.
Version überholt. Nicht verwenden.
Aegunud versioön. Myn þyn Χρησιμοποιείτε.
Παλιά έκδοση. Μην την Χρησιμοποιείτε.
Outdated version. Do not use.
Versión obsoleta. No utilizar.
Version périmée. Ne pas utiliser.
Zastarjela verzija. Nemojte upotrebljavati.
Úrelt útgáfa. Notið ekki.
Versione obsoleta. Non utilizzare.
Pasenusi versija. Neizmantot.
Elavult verzió. Ne használja!
Wersja przeterminowana. Niet gebruiken.
Dit is een verouderde versie. Niet gebruiken.
Utdatert versjon. Skal ikke brukes.
Versão obsoleta. Não utilize.
Zastaraná verzia. Nepoužívat.
Zastarela različica. A nu se utiliza.
Vanhentunut versio. Älä käytä.
Föråldrad version. Använd ej.
Güncel olmayan sürüm. Kullanmayın.

Остаряла версия. Да не се използва.
Zastaralá verze. Nepoužívat.
Forældet version. Må ikke anvendes.
Version überholt. Nicht verwenden.
Aegunud versioön. Myn þyn Χρησιμοποιείτε.
Παλιά έκδοση. Μην την χρησιμοποιείτε.
Outdated version. Do not use.
Versión obsoleta. No utilizar.
Version périmée. Ne pas utiliser.
Zastarjela verzija. Nemojte upotrebljavati.
Úrelt útgáfa. Notið ekki.
Versione obsoleta. Non utilizzare.
Pasenusi versija. Neizmantot.
Elavult verzió. Ne használja!
Utdatert versjon. Nenaudokite.
Wersja przeterminowana. Nie używać.
Versão expiratã. A nu se utiliza.
Versiune expirată. Nu se utilizează.
Zastaraná verzia. Nepoužívat.
Zastarela različica. Ne uporabite.
Vanhentunut versio. Älä käytä.
Föråldrad version. Använd ej.
Güncel olmayan sürüm. Kullanmayın.

**Manufacturer**

Boston Scientific Corporation
4100 Hamline Avenue North
St. Paul, MN 55112-5798 USA

EC **REP****Authorized representative in the European Community**

Guidant Europe NV/SA; Boston Scientific
Green Square, Lambroekstraat 5D
1831 Diegem, Belgium

AUS**Australian sponsor address**

Boston Scientific (Australia) Pty Ltd
PO Box 332
BOTANY NSW 1455 Australia
Free Phone 1 800 676 133
Free Fax 1 800 836 666

Cardiac Pacemakers Incorporated
4100 Hamline Avenue North
St. Paul, MN 55112-5798 USA

Manufactured at: Cardiac Pacemakers Incorporated
4100 Hamline Avenue North
St. Paul, MN 55112-5798 USA

www.bostonscientific.com

1.800.CARDIAC (227.3422)

+1.651.582.4000

© 2016 Boston Scientific Corporation or its affiliates.

All rights reserved.

359483-017 NL Europe 2020-03

CE 2797